

T1378



T.C.
AKDENİZ ÜNİVERSİTESİ
TIP FAKÜLTESİ
PATOLOJİ ANABİLİM DALI

+
**AKCİĞER TÜBERKÜLOZUNDA TGF-beta 1 VE
EKSTRASELLÜLER MATRİKS PROTEİNLERİNİN
GRANÜLOM YAPILANMASINDAKİ ROLÜ VE
ANTİTÜBERKÜLOZ TEDAVİ İLE İLİŞKİSİ**

Uzmanlık Tezi

Dr. Nural ÖREN

Tez Danışmanı : Doç.Dr.Gülay ÖZBİLİM

T1378/1-1

'Akdeniz Üniversitesi Araştırma Fonunca 20 01.0103.02 Proje No ile Desteklenmiştir'

"Tezimden Kaynakça Gösterilerek Yararlanılabilir"

AKDENİZ ÜNİVERSİTESİ
REKTÖR İLÇE İSTİMLAK İMZALESİ

Antalya, 2002

TEŞEKKÜR

Uzmanlık eğitimim sırasında bilgi ve becerilerinden faydalandığım saygıdeğer hocalarıma, tezimin hazırlanmasında yardımcılarını esirgemeyen hocam Sayın Doç. Dr. Gülay ÖZBİLİM'e, tezimin istatistiksel çalışmalarındaki yardımcılarından dolayı Dr Hakan Gulkesen'e, immünohistokimyasal boyalarda büyük emek harcayan Uz. Biol Nuran Keleş'e, diğer laboratuvar çalışanlarına ve birlikte çalışmaktan zevk aldığım asistan arkadaşlarımı teşekkür ederim

*Dr. Nural ÖREN
Antalya, 2002*

İÇİNDEKİLER

Sayfa No :

Giriş ve Genel Bilgiler	1	-	21
Gereç ve Yöntem	22	-	27
Bulgular	28	-	58
Tartışma	59	-	73
Sonuçlar	74	-	76
Özet	77	-	78
Kaynaklar	79	-	94

GİRİŞ VE GENEL BİLGİLER

Tarihçe:

Tüberküloz, insanlık tarihinde, tanımlanan en eski hastalıklardan birisidir¹. Bu hastalığın geçmişteki varlığına ait ilk bulgular insan evriminin Neolitik Dönemine (M.Ö. 5000) kadar uzanmaktadır^{1,2}. Bu döneme ait insan iskeletlerinde Pott Hastalığına dair belirtilerin varlığı gözlenmiştir^{1,2}. Benzer bulgular firavunlara ait eski Mısır mumyalarında da saptanmıştır. Mumyalar üzerinde yapılan çalışmalarla, lezyonlardan alınan doku parçalarında “Polymerase chain reaction” (PCR) yöntemi ile Mycobacteriumlara ait DNA parçalarının varlığı gösterilmiştir^{3,4}. Ayrıca, eski Mısırda tedavi amacıyla kurulmuş sanatoryumların varlığını düşündüren bazı bulgular da vardır¹. Tüberkülozun semptomatojisini ilk tanımlayan Hippocrates’tır^{1,5}. Tüberküloz basilinin varlığını gösteren ve onu ilk tanımlayan ise Robert Koch’tur^{1,5}. Tüberküloz Avrupa’da onyedinci yüzyıldan ondokuzuncu yüzyılın erken dönemlerine kadar olan süreçte büyük bir yayılım göstermiştir ve bu dönemde “Büyük Beyaz Veba” olarak anılmıştır¹. 1944 yılında Waksman tarafından streptomisin’in bulunması, bunu takip eden yıllarda diğer antibiyotiklerin keşfedilmesi ve tedavi yöntemlerinin belirlenmesi ile birlikte “Büyük Beyaz Veba”的nın insanlık için korkulacak bir hastalık olmaktan çıkarılması ve hatta tamamen yok edilmesi umutları belirdi⁶. Ancak, toplumlardaki sosyal koşulların düzeltilememesi, “Human immunodeficiency virus” (HIV) enfeksiyonunun yaygınlaşması ve antitüberküloz ilaçlara dirençli basillerin ortaya çıkması gibi nedenlerle son birkaç onyilda tüberküloz olgularında belirgin bir artış gözlandı^{5,6,7}. Tüberküloz hastalığı günümüzde enfeksiyon hastalıklarına

bağlı ölüm sebepleri arasında ilk sırayı almaktadır. Dünya insan populasyonunun yaklaşık yarısının “Mycobacterium tuberculosis” ile enfekte olduğu; her yıl 10 milyon hastalık belirtisi taşıyan yeni olgunun ortaya çıktığı ve her yıl 3 milyon kişinin bu hastalık nedeniyle öldüğü tahmin edilmektedir^{1,8}.

Mycobacteriumların Genel Özellikleri:

Mycobacterium grubu bakteriler aerobik, sporsuz, hareketsiz basillerdir⁹. Biyolojik, biyokimyasal ve genetik yapılarına göre 60' tan fazla türü tanımlanmıştır¹⁰. Enfeksiyon oluşturabilme özellikleri de dikkate alındığında 3 kategoride toplanabilirler¹¹:

- 1) ***Mycobacterium tuberculosis kompleksi***: Bu grupta *M.tuberculosis*, *M.bovis*, *M.africanum* ve *M.microti* yer almır. *M.tuberculosis*, hasta kişilerin öksürmesi sonucu oluşan enfekte damlacıkların solunması ile bulaşır ve en çok akciğerde enfeksiyon oluşturur. *M.bovis* ise hastalıklı hayvanların sütlerinin içilmesi ile bulaşır ve ilk olarak intestinal ve tonsiller lezyonlara yol açar⁹. *M.microti* ile olmuş az sayıda hastalık olgu bildirilmiştir ve Hollanda ile İngiltere başta olmak üzere coğrafi bir bölgede sınırlıdır¹². *M. Africanum* ilk olarak maymunlardan izole edilmiştir¹³. Özellikle Afrika kıtasının bazı bölgelerinde saptanmıştır ve biyokimyasal olarak birçok farklı yapıda olabildiği belirlenmiştir¹⁴. *M.africanum*un biyokimyasal yapısı ve kültürde üreme özellikleri dikkate alındığında *M. Tuberculosis* ile *M bovis* arasında bir tür olarak kabul edilmektedir¹⁵.
- 2) ***Nontüberküloz mycobakterler***: Bu gruptaki bakteriler, fırsatçı patojendirler ve AIDS gibi immunosupressif hastalıklarda enfeksiyon oluştururlar. Bu grupta *M.avium* kompleksi (*M.avium* ve *M.intracellulare*) ve *M.kansashii* yer almır¹¹.

3) *Lepra etkeni (M.leprae)*: Deri ve periferik sinirler tutan, deformitelere yol açan kronik ve ilerleyici bir hastalık oluşturur. Düşük oranda bulaşıcılık riski taşıır ve günümüzde daha çok tropikal bölgelerde endemik olarak görülmektedir.^{9,11}

*M. tuberculosis*in patojenitesinde bakterinin duvarında bulunan bazı moleküllerin önemli rolleri vardır⁹. Hücre duvarında içerdeği lipit yapılar (glikolipitler ve fosfolipitler) bakterinin hidrofobik bir özellik taşımmasını ve aside dirençli olmasını sağlarlar; ayrıca enfeksiyon oluşumunun ilk basamağında bu yüzey molekülleri konakçı hücreleri ile ilk kontağı kurarlar¹⁶.

*M. tuberculosis*in hücre duvarında bulunan, patogenezle ilgili bazı yapılar şunlardır:

1) *Cord faktörü* : Bir yüzey glikolipididir ve in vitro ortamda *M. tuberculosis*in serpentin kordlar halinde üremesine neden olur⁹. Hayvan deneylerinde cord faktörünün öldürücü biçimde toksik etkisi, granülom oluşturucu etkisi, adjuvan aktivitesi, tümör baskılayıcı ve nonspesifik enfeksiyonları önleyici etkileri olduğu gösterilmiştir¹⁶.

Farelere enjeksiyonu granulomatöz tarzda yangısal bir yanıt oluşumuna neden olur ve oluşan granülom hem yabancı cisim (nonimmun) hem de hipersensitivite (immun) tipinde olabilir¹⁷. Ratların kornealarına enjekte edildiğinde, neovaskülarizasyona yolaçtığı ve sonra da granülom oluşumuna neden olduğu izlenmiştir¹⁸. Tavşanlarda kilo kaybı, karaciğer ve akciğerde granülom oluşumu, timus ve dalakta ise atrofi oluşturduğu bildirilmiştir¹⁹.

Farelerde in vivo ortamda; interlökin 1 (IL-1), interferon gamma(IFN-gamma), tümör nekroz faktör alfa (TNF-alfa), granülosit makrofaj-koloni stimüle edici faktör(GM-CSF), in vitro ortamda ise;

TNF-alfa, GM-CSF, kemotaktik faktör, kompleman, nitrik oksid (NO), prostoglandin E-2(PGE-2) indüksiyonu ve proteinaz kinaz C aktivasyonu oluşturduğu gösterilmiştir¹⁶.

Farelerin periton boşluğuna enjeksiyonu ile peritoneal makrofajların lizozomal enzimlerinin aktivasyonuna ve fagositoz yapıcı etkilerinin artmasına neden olduğu belirtilmiştir²⁰.

- 2) **Lipoarabinomannan(LAM)** : Gram negatif bakterilerin endotoksinine benzer yapıda bir heteropolisakkartır. Makrofajların IFN-gamma tarafından aktivasyonunu engeller; makrofajlardan TNF-alfa salınımını uyarır ve bunun sonucu olarak ateş, kilo kaybı ve doku hasarı oluşumuna yol açar; makrofajlardan interlökin-10(IL-10) salınımını artırır ve bu da Mycobacterlerin uyardığı T hücre çoğalmasını baskılar^{9,21}. LAM, makrofajların aktivasyonunu baskılayarak bakterilerin fagositoz yapan hücrelerin içinde yaşamاسını sağlayan bir “virülans faktörü” olarak rol oynar²².
- 3) **Kompleman** : Mycobakterlerin yüzeyinde aktive olarak organizmayı opsonize eder ve makrofaj kompleman reseptörü CR 3 (Mac-1 integrin) tarafından alınımını kolaylaştırır⁹.
- 4) **M.tuberculosis ısı-şok proteinini**: İnsan ısı-şok proteinleri ile aynı yapıdadır ve M.tuberculosis tarafından uyarılan otoimmun reaksiyonlarda rol aldığı düşünülmektedir⁹. Ratlarda Mycobacterial kökenli 65 kD(kilodalton) ısı-şok proteininin artrit oluşturduğu gösterilmiştir²³.

AKCİĞER TÜBERKÜLOZU

Pulmoner enfeksiyon tüberkülozun en sık görülen şekli ve en çok ölüme neden olanıdır. Klinik olarak primer ve sekonder akciğer tüberkülozundan söz edilmektedir.

Primer akciğer tüberkülozu: Klinik olarak primer odağın başlangıç odağı Ghon kompleksi olarak adlandırılır. Ghon kompleksi, genellikle üst ve alt akciğer loblarının birleşim yerinde, subplevral parankimal bir odak ve bunun direne olduğu hilus yerleşimli kazeöz lenf nodlarından oluşur. Primer enfeksiyon genellikle asemptomatik seyreder ve çoğunda fibrozis ve kalsifikasiyon gelişir.

Sekonder akciğer tüberkülozu: Bazı hastalarda mycobacterler ile yeniden enfeksiyon gelişmesi; durağan hastalığın alevlenmesi veya primer hastalıktan doğrudan yaygın hastalığa geçiş görülebilir. Sekonder akciğer tüberkülozunda granülomlar genellikle bir veya her iki akciğerin apeksinde yerlesirler.

İlerleyici akciğer tüberkülozu: Aylar veya yıllarca sürebilen latent lezyonların aktivasyonu sonucunda kaviter fibrokazeöz tüberküloz, milier tüberküloz veya tüberküloz pnömonisi oluşabilir⁹.

Latent enfeksiyonun aktivasyonu immün sistemi normal kişilerde %5'ten daha az sıklıkta izlenir²⁴.

Akciğer Tüberkülozunun Patogenezi

Akciğer tüberkülozu, tüberküloz basili ile enfekte partiküllerin solunması ile başlamaktadır. Bu aşamada etkili olan bazı etmenler vardır²⁵:

- 1) **Enfeksiyöz partiküllerin büyüğlüğü:** İnhale edilen enfeksiyöz partiküllerden sadece 1 ile 3 basil içeren, küçük boyutlu olanlar alveol boşluklarına ulaşabilirler; daha büyük boyutlular ise nazofarinkste veya

bronşiyal sistemin herhangibir yerinde takılarak silier hareket ve öksürük yardımıyla uzaklaştırılırlar.

- 2) ***Inhale edilen basilin virulansı:*** Tüberküloz basillerinin virulansı genetik ve fenotipik yapılarına göre birbirlerinden farklıdır. Ayrıca basilin kuru ortama ve güneş ışığına maruz kalması da enfeksiyon oluşturabilme gücünü azaltır. Nemli ve karanlık ortamlarda kalan basillerin ise enfeksiyon oluşturabilme gücü daha fazladır.
- 3) ***Inhale edilen basil miktarı:*** Solunan partikül miktarı ve dolayısıyla basil miktarı ne kadar fazla olursa, fenotipik olarak enfeksiyon oluşturabilme kapasitesi güçlü basiller ile karşılaşma olasılığı da o kadar yüksek olacaktır.
- 4) ***Alveoler makrofajların basili öldürebilme kapasitesi:*** Alveoler makrofajların tüberküloz basilini öldürebilme güçleri değişkendir. Bazı alveoler makrofajlar daha fazla enzim ve mikrobisidin içerirler.

Alveollere ulaşan basiller, alveoler makrofajlar tarafından fagosite edilirler. Makrofajlar, basilleri öldürebilirler veya bakteri makrofajlar içinde çoğalmasını sürdürür. Alveoler makrofajların bakterinin çoğalmasını engelleme kapasitesi sınırlıdır ve enfeksiyonun kontrol altına alınması için CD4 T lenfositler tarafından alveoler makrofajların immun aktivasyonu gereklidir. Alveoler makrofajların yanısıra dolaşımındaki monositlerden köken alan makrofajlar da bu alana gelirler. Makrofajların parçalanması ile açığa çıkan basiller, hücre artıkları, kompleman 5a (C5a) gibi kemotaktik faktörler makrofajların bu alanda birikmesine neden olurlar. Tüberkülozun bu erken döneminde hücre ölümü ve doku nekrozu oldukça azdır. 2-4 hafta sonra immün yanıt tam olarak gelişir. Oluşan immün yanıt hücre aracılı immünite ve gecikmiş tipte hipersensitivitedir.²⁵

Gecikmiş tipte hipersensitivitenin klasik örneği tüberkülin reaksiyonudur. Daha önce tüberküloza karşı duyarlılanmış kişilerde

tüberküloz basilinin protein-lipopolisakkarit yapılı bir komponentinin cilt içine enjeksiyonundan 8-12 saat sonra gelişen ve 24.-72. saatlerde en üst düzeyine ulaşan, ciltte kızarıklık, kabarıklık ve sertleşme içeren bir alan oluşumu ile belirlenen bir reaksiyondur. Morfolojik olarak granülomatöz bir yangı gelişimi karakteristiktedir.

Tüberküloz basili ile ilk karşılaşmada CD4 T lenfositler bakteriye karşı duyarsızdırular ve basili tanıyabilmeleri için makrofajların yüzeyindeki class II moleküller ile ilişki kurmaları; bir başka deyişle bakterinin makrofajlar tarafından bu lenfositlere "sunulması" gerekdir. Bu ilklaşma sonucunda, CD4 T hücreler basile karşı duyarlılanarak T helper1(TH_1) hücrelere dönüşürler. Bu duyarlı hücreler kan dolaşımına dönerler ve yıllarca T hücre hafiza havuzunda kalırlar. Tüberküloz basili ile tekrar karşılaşıldığında veya tüberkülin testi uygulandığında duyarlı TH_1 hücreler antijen sunan hücrelerle ilişki kurarak blast formuna dönüşürler ve prolifere olurlar. Bu olaylar sırasında TH_1 hücrelerden salınan sitokinler gecikmiş tipte hipersensitivitenin oluşumunda ve tüberküloza karşı oluşan hücresel immün yanıtta önemli roller oynarlar⁹. Bu sitokinlerden bazıları şunlardır:

İnterlökin 12 (IL-12): IL12, ilk bulunduğuanda natural killer (NK) hücreleri uyarıcı etkisi nedeniyle, natural killer stimüle edici faktör (NKSF) olarak isimlendirilmiştir²⁶. 2 subünenin oluşan heterodimerik bir proteindir ve intrasellüler bakteriyel, fungal, viral ve parazitik patojenlere karşı koruyucu immün yanıtta önemli bir rolü vardır^{27,28,29,30,31,32}. Primer olarak monosit/makrofajlar, polimorfonükleer nötrofiller ve dendritik hücreler tarafından enfeksiyöz bir ajanla karşılaşlığında üretilir^{33,34,35}.

IL12, TH_1 yanıtının uyarılmasında; dolayısıyla gecikmiş tip hipersensitivitenin gelişiminde ilk basamakta yer alarak kritik bir rol oynar. Bakteri ile ilk karşılaşmada makrofajlar bakteriyi fagosite ederler ancak

organizmayı öldürebilmeye yetenekleri sınırlıdır. Tüberküloz basilinin fagositozu makrofajlarda IL12 üretimi ve salınımı için güçlü bir uyarıcı etki oluşturur^{29,36}. Salgılanan IL12, duyarsız CD4 helper (TH_0) hücreleri, duyarlı TH_1 hücrelere dönüştürür.

IL12 salınımı, negatif ve pozitif feedback mekanizmaları ile sıkı bir biçimde düzenlenir²⁸.

IL12'nin diğer önemli bir etkisi de T hücreleri ve NK hücrelerden IFN-gamma üretim ve salınımını uyarmasıdır³⁷. Bu etki, gecikmiş tipte hipersensitivitenin sonraki basamaklarının devamı için gereklidir.

İnterferon gamma (IFN-gamma): Gecikmiş tipte hipersensitivitede farklı etkileri olan önemli bir mediatördür. Makrofajların IL12 salınımını artırıcı yönde güçlü etkisi vardır²⁷. Uyarılan makrofajların bakteriyi fagosite etme ve öldürme gücünü artırır^{38,39}. Makrofajların yüzeylerindeki class II moleküllerin ekspresyonunu fazlalaştırır ve抗原呈递细胞 (antigen-presenting cell) sunumlarını kolaylaştırır⁴⁰. Platelet kökenli growth faktör (PDGF), transforming growth faktör-beta (TGF-beta) gibi polipeptid yapılı büyümeye faktörlerinin salınımını gerçekleştirir⁹. IFN-gammanın makrofajların öldürücü etkisini artırması nedeniyle, tüberküloz tedavisinde kullanılabileceği ileri sürülmüştür⁴¹.

Makrofajların, granülom yapısının temellerinden olan epiteloid hücrelere ve mültinükleer dev hücrelere dönüşmesinde, IFN-gammanın önemli bir rolü vardır⁹. Bu nedenle granüomatöz yanının gelişmesinde ve devamlılığının sağlanması ana mediatörlerden birisi ve belki de en önemlidir.

İnterlökin-2 (IL-2): IL-2 T lenfositlerden salgılanır ve Th hücrelerinin otokrin ve parakrin yolla proliferasyonunu artırır⁹. Tüberküloz enfeksiyonu sırasında, NK hücrelerin tüberküloz basilini öldürücü etkilerini artırır^{42,43}.

IFN-gamma salınımını uyarır ve makrofajların mikrobisidal aktivitesini güçlendirir⁴⁴.

Mycobacterial antijenlere duyarsızlık gösteren olgularda, IL-2'nin defektif oluşunun etkili olduğunu düşündüren çalışmalar vardır⁴⁵.

Tümör nekrozis faktör alfa (TNF-alfa): TNF-alfa, endotel hücrelerini etkileyerek prostasiklin salınımını uyararak vazodilatasyon oluşumuna katkıda bulunur; E-selektin ekspresyonunu artırarak lenfosit ve monositlerin adezyon yeteneğini güçlendirir; IL-8 gibi düşük molekül ağırlıklı kemotaktik faktörlerin salınımını artırır. Tüm bunların sonucu olarak; lenfosit ve monositlerin damar dışına çıkışını kolaylaştırır⁹.

BCG enfeksiyonu ile granülom oluşumunda ve granülomun devamlılığının sağlanması, otokrin ve parakrin etkilerle, merkezi bir rol oynadığı belirtilmiştir^{46,47}.

Deneysel çalışmalarda, makrofajlar içinde *M. Avium* intracellulare kompleksinin çoğalmasını azaltıcı etkisi olduğu gösterilmiştir^{48,49,50}.

Granüomatöz Yangı

Granüomatöz yangının tipik örneği, tüberküloz enfeksiyonudur; ancak, sarkoidozis, kedi tırmığı hastalığı, lenfogranüloma inguinale, lepra, brusella, sifiliz, bazı mikotik enfeksiyonlarda da granüomatöz yangı oluşur. Granüomatöz yanışal yanıt gelişmesi için temel koşul, yangıya neden olan ajanın kolayca parçalanıp yok edilemez olmasıdır. Granülom, yabancı cisim tipi ve immün granülom olmak üzere 2 tiptir. Tüberkülozdada oluşan, immün granülomdur ve hücre aracılı immün yanıtın bir sonucudur. Morfolojik olarak, tüberküloz granülomunda, orta kısmında kazeifikasyon nekrozu, çevresinde makrofajların transformasyonu ile oluşan epiteloid hücreler, Langhans tipi dev hücreler, çoğuluğu lenfositler olan mononükleer yangı hücreleri ve özellikle daha eski granünlarda daha

yogun olmak üzere, granulomu çevreleyen bağ dokusu ve fibroblastlar bulunur⁹.

Granülomun yapısı, durağan bir yapı değildir; oluşumunda ve devamlılığında sitokinlerin etkileri önemlidir⁵¹.

M tuberculosis'in duvarında bulunan, muramil dipeptid ve dallı yağ asidleri gibi bazı maddelerin granulomatöz bir yanıt oluşumunda etkili oldukları belirtilmiştir^{52,53}.

Granülatotöz yanıtın yeterliliği ve granülomların yapılarının düzenli oluşu hastaların iyi прогноз göstermesi açısından önemlidir. Jean Francois Emile ve arkadaşları tarafından, BCG uygulanması ile tüberküloz enfeksiyonu gelişen çocuk hastalarda, oluşan granülomların düzenli yapıda oluşunun iyi прогнозla paralel olduğu gösterilmiştir⁵⁴.

TGF-beta1, ilk olarak in vitro ortamda normal rodent fibroblastları üzerine transforme edici etkisi gösterilerek tanımlanmış ve isimlendirilmiştir. TGF-beta1'in tanımlanmasından sonra, moleküler yapıları TGF-beta1'e benzeyen birçok molekül bulunmuş ve geniş bir TGF grubu tanımlanmıştır⁵⁵.

Biyolojik olarak aktif TGF-beta1, birbirine sistein-sistein disülfit bağı ile bağlı iki adet birbirine eş 12.5 kD monomerden oluşmuş 25 kD'luk homodimerik bir moleküldür⁵⁵.

TGF-beta1, genellikle hücrelerden inaktif (latent) formda salgılanır ve pH değişimleri, farklı ajanların etkisi, özellikle de plazmin gibi moleküller tarafından aktif formuna dönüştürülür⁵⁵.

TGF-beta1, plateletler, endotel hücreleri, lenfositler ve makrofajları da içeren birçok hücre tarafından üretilir ve salgılanır⁹.

TGF-beta 1'in Etkileri

TGF-beta grubunun, hücre proliferasyonu, hücre diferansiasyonu, ECM'in yapılanması, yara iyileşmesi ve immün olaylar gibi birçok konuda farklı etkileri vardır.

Hücre Proliferasyonuna Etkileri

TGF-beta'nın hem hücre kültürü ortamında ve hem de *in vivo* olarak hücre çoğalmasının yönlendirilmesinde etkin olduğunu gösteren birçok kanıt vardır. TGF-beta'nın fibroblastlar ve osteoblastlar gibi mezankimal kökenli hücreler üzerine mitojenik etkisi vardır^{55,56}. Buna karşın, TGF-beta epitelial kökenli hücreler için güçlü bir büyümeyi baskılacak etkendir ve bu yönde etkisi olan "büyümeye baskılacakları" arasında en etkin olanjdır^{55,57}.

TGF-beta'nın mitojenik etkileri bazı embriyonal hücre tiplerinde de gösterilmiştir⁵⁸. Ancak bu etki kültür ortamındaki değişikliklere ve hücrelerin kökenine bağlı olarak zıt yönde olabilmektedir⁵⁹.

Hücre Diferansiyasyonuna Etkileri

Primitif prekürsör hücrelerin matür hücrelere dönüşüm süreci, hücre fizyolojisinde önemli bir kontrol noktasıdır ve bazı neoplazilerin gelişiminde bu diferansiyasyon sürecindeki duraklamanın rol oynadığı düşünülmektedir. TGF-beta'nın bu sürecin yönlendirilmesinde önemli etkileri vardır⁵⁵.

Birçok mezankimal kökenli hücrenin diferansiyasyonunda, TGF-beta etkili bir düzenleyicidir⁵⁵. TGF-beta'nın fare preadipositlerinin olgun adipositlere dönüşümünü mitozu baskılamadan engellediği; yine aynı şekilde, hücrelerin proliferasyonunu engellemeden embriyonik miyoblastların miyositlere farklılaşmasını durdurduğu gösterilmiştir^{60,61,62}.

TGF-beta'nın embriyonik kalp organogenezinde ve akciğerin epitelyal diferansiasyonunda önemli etkileri vardır^{55,63}.

TGF-beta ve ECM Yapılanmasının Düzenlenmesi

ECM, hücreler için sadece durağan ve basit bir destek görevi gören bir yapı değildir; normal hücre fizyolojisinin devamlılığında ve hatta embriyonik ve neoplastik yapılanmada belirgin etkileri vardır.

TGF-beta, ECM'nin düzenlenmesinde yoğun etkileri olduğu bilinen en önemli etmenlerden birisidir. TGF-beta'nın ECM'e etkileri;

- 1) Matriksi oluşturan yapıların ekspresyonunu direkt olarak stimüle etmek
- 2) ECM'i yıkan proteaz düzeylerini azaltmak ve proteaz inhibitörlerini uyarmak yönündedir⁵⁵.

İnsan embriyonik akciğer fibroblast kültür ortamında, TGF-beta varlığında, Tip 1 ve Tip 3 kollajen üretiminin arttığı; fibronektin ve fibronektin reseptörü ekspresyonunun çoğalandığı belirtilmiştir^{64,65,66}.

TGF-beta 1'in doku fibroblastlarında, kollajen Tip 1 ve Tip 4 üretimini artıran en önemli düzenleyici mediatör olduğu gösterilmiştir⁶⁷.

TGF-beta 1'in mezankimal ve epitelyal hücrelerden kondroitin/dermatansülfat proteoglikanlarının ekspresyonunu ve ortama salınmasını artırır⁶⁸. Akciğer Tip II pnömositleri üzerinde de bu yönde etkileri olduğu bilinmektedir⁶⁹. Akciğer Tip II pnömositler üzerindeki diğer bir etkisi de fibronektin ekspresyonunu artırmasıdır⁷⁰.

Bleomisin ile deneyel olara oluşturulan akciğer fibrozisinde, TGF-beta'nın fibrozisi uyarıcı temel etken olduğu belirtilmiştir ve TGF-beta'nın miyofibroblastlar, fibroblastlar ve eozinofillerce üretildiği saptanmıştır⁷¹.

TGF-beta 1'in karaciğer fibrozisini uyarıcı etkileri olduğu; miyokard enfarktüsü sonrası gelişen fibrozis sırasında kollajen düzenlenmesini

sağladığı; progressif muskuler distrofide ECM sentezi ve birikimini artırdığı; pulmoner adenokarsinomda santral fibrozis gelişiminde etkili olduğu bildirilmiştir^{72,73,74,75}

TGF-beta ve Yara İyileşmesi

Yara iyileşmesi, oldukça düzenli bir süreçtir ve infilamasyon, hücre proliferasyonu ve migrasyonu, anjioneogenez ve ECM proteinlerinin üretimini içerir⁷⁶.

TGF-beta 1 yara iyileşmesinde merkezi bir rol oynar. Yara iyileşmesi sırasında makrofajlar, fibroblastlar, keratinositler ve endotel hücreleri TGF-beta üretirler; ancak, özellikle yaralanmanın erken döneminde biriken plateletler TGF-beta'nın temel kaynağıdır⁷⁶.

TGF-beta'nın, yara iyileşmesi sırasında, yangı hücrelerinin kemotaksi, anjioneogenez, ECM birikimi ve granülasyon dokusu oluşumu ve reepitelizasyon gelişmesi olaylarında önemli katkıları vardır^{77,78,79}.

Yara iyileşmesi esnasında, TGF-beta 1, fibroblastlardaki alfa düz kas aktinini artırıcı yönde etki ederek fibroblastların miyofibroblastlara dönüşümüne katkıda bulunur⁸⁰.

TGF-beta 1'in, hipertrofik skar ve keloid oluşumu gibi anormal yara iyileşmesi olaylarına da katıldığı belirlenmiştir⁸¹.

TGF-beta 1 ve İmmün Sistem İlişkisi

TGF-beta 1'in immün sistem üzerinde baskılayıcı yönde etkileri olduğunu gösteren birçok kanıt vardır.

Kültür ortamında, TGF-beta 1'in T hücre reseptörü (TCR) ve IL-2 reseptörü aracılı tirozin fosforilasyonu ve retinoblastom proteininin fosforilasyonunu baskılayarak T lenfositlerin proliferasyonunu engellediği

bildirilmiştir⁸². Buna paralel bir başka çalışmada ise TGF-beta 1'in T hücrelerin DNA üretimini baskıladığı gösterilmiştir⁸³.

HIV ile enfekte kişilerde, sağlıklı kişilere göre periferal kan monositlerinde TGF-beta miktarının artmış olduğu ve bu artışın PPD'ye karşı oluşan yetersiz CD4+ lenfosit yanıtı ile korele olduğu belirlenmiştir. TGF-betayı nötralize edici antikorlarla T hücre yanıtının tekrar sağlandığı gösterilmiştir ve TGF-beta'nın HIV enfeksiyonunda görülen yetersiz immün yanından ve CD4+ lenfosit azlığından sorumlu olabileceği belirtilmiştir⁸⁴.

Kültür ortamında TGF-beta 1'in lenfokinler tarafından aktive edilen killer hücrelerin aktivitesini doza bağımlı biçimde baskıladığı ve bu baskılıyıcı etkinin TNF alfa ile tersine çevrildiği saptanmıştır⁸⁵. Buna benzer bir çalışmada TGF-beta'nın lenfokinlerce aktive edilmiş killer hücrelerin yanısıra sitotoksik T lenfositlerin de çoğalmasını azalttığı belirlenmiştir⁸⁶.

TGF-beta'nın, sitotoksik T lenfositlerin proliferasyonunu baskıladığı ancak aktivitesini değiştirmediğini ileri süren_MACA da vardır⁸⁷.

Bazı tümör hücreleri tarafından üretilen TGF-beta'nın T hücreleri ve özellikle de T helper hücreleri üzerinde baskılıyıcı etkisi olduğu gösterilmiş ve bunun bazı tümörlerdeki CD4+ T helper hücrelerine özel supresyonu açıklayabileceği belirtilmiştir⁸⁸.

İn vitro ortamda TGF-beta'nın T helper hücrelerinin T helper 1 hücrelerine dönüşümünü engellediği de saptanmıştır⁸⁹.

TGF-beta'nın CD3- large granüler lenfosit fonksiyonlarını, olasılıkla tirozin fosforilasyonunu ve IL2 tarafından uyarılan transkripsiyonel kontrol faktörlerini inhibe ederek baskıladığı gözlenmiştir⁹⁰.

TGF-beta'nın, B lenfositler ve timositler üzerinde de proliferasyonu engelleyici yönde etkileri olduğu hücre kültürü ortamlarında yapılan çalışmalarla belirlenmiştir^{91,92}.

Tüberküloz ve TGF-beta İlişkisi

Tüberküloz basilinin hücre duvarına ait bazı yapıların monosit ve makrofajlarda TGF-beta üretimini artırdığını dair birçok kanıt vardır. Ayrıca tüberkülozu hastalarda TGF-beta düzeylerinin yükseldiği gösterilmiştir^{93,94}.

Sağlıklı bireylerden elde edilen periferal kan monosit kültür ortamında, *M.tuberculosis*'e ait PPD'nin, monositlerde TGF-beta1 üretimini artırdığı Zahra Toossi ve arkadaşları tarafından saptanmıştır. Aynı çalışmada, *M.bovis* ait 64 kD ısı-şok proteininin ve bakteriyel lipopolisakkaritin TGF-beta1 üretimine herhangi bir etkisi olmadığı gözlenmiştir⁹⁵.

Bir başka çalışmada, virulan *M.tuberculosis*'ten elde edilen LAM'un kan monosit kültüründe, monositlerde TGF-beta1 üretimini artırıcı etkisi olduğu gösterilmiştir⁹⁶.

M.tuberculosis ile enfekte hastalar ve onların PPD pozitifliği gösteren aynı evde yaşayan yakınlarından elde edilen kan monosit kültürüne, PPD ve *M.tuberculosis* ait 30 kD alfa antijeni uygulanması ile monositlerden TGF-beta1 sekresyonunun hasta kişilerde ev halkına göre belirgin olarak fazla olduğu saptanmıştır; TNF-alfa ve IL-10 düzeylerinde ise değişiklik izlenmemiştir⁹⁷.

Bunlara paralel bir başka çalışmada, *M.avium-intracellulare* kompleksi ile enfekte edilen makrofajlarda, bu bakteriye ait bazı proteinlerin makrofajlarda TGF-beta1 üretimi ve salımını artırdığı belirlenmiştir⁹⁸. Aynı şekilde, monositlerin *M.tuberculosis* ile enfekte

edilmesi ile TGF-beta1 mRNA ekspresyonu ve salinimının arttığı da gösterilmiştir⁹⁹.

Aktif tüberkülozlu hastaların periferal kan kökenli monositlerinde, TGF-beta1'in sağlıklı kişilere göre belirgin olarak fazla miktarda eksprese edildiği ve spontan olarak salgılandığı belirtilmiştir. Aynı araştırmada TGF-beta mRNA ekspresyonunun da arttığı saptanmıştır⁹³.

M. tuberculosis ile enfekte akciğer tüberkülozu olgularında, X ray bulgularına göre geç dönem hastalarda, periferal kan monositlerinde TGF-beta düzeyi, erken dönem hastalarla karşılaştırıldığında daha yüksek; IFN-gamma düzeyi ise daha düşük bulunmuştur. Aynı çalışmada TGF-beta yüksekliği ile M.tuberculosis antijenlerine karşı geç dönem hastalarda belirlenen lenfoproliferatif yanıt düşüklüğünün korele olduğu belirlenmiştir⁹⁴.

Kaviter lezyonu olan akciğer tüberkülozlu olgularla, kaviter lezyonu olmayanların bronkoalveoler lavaj hücrelerindeki TGF-beta1 düzeyinde ise herhangi bir farklılık olmadığı belirtilmiştir¹⁰⁰.

TGF beta'nın makrofajlar, sitokinler ve bakteri çoğalması üzerinde de birçok etkileri olduğu belirlenmiştir.

Catherine Othieno ve arkadaşları tarafından yapılan bir çalışmada, PPD pozitif kişilerden alınarak kültüre edilen periferal kan monositlerinde TGF-beta1 ve IL-10'un IFN gamma üretimini sinerjistik olarak baskıladıkları gösterilmiştir. Ortama TGF-beta1 ve IL-10'u nötralize eden antikorlar eklendiğinde IFN-gamma düzeylerinin tekrar arttığı gözlenmiştir. Ayrıca TGF-beta1'in monositlerden IL-10 salinimini da artırdığı belirlenmiştir¹⁰¹.

Diger bir çalışmada, M.avium ile enfekte edilen makrofaj kültür ortamında, TGF-beta'nın IFN-gamma ve TNF-alfa üretimini baskılıyarak

bu sitokinlerin makrofajlar üzerindeki aktive edici etkilerini ortadan kaldırdığı belirtilmiştir⁹⁸.

Bunlara paralel olarak, *M. tuberculosis* ile enfekte kişilerde, PPD tarafından uyarılan IFN-gamma'nın monositler tarafından üretiminin TGF-beta'nın nötralize edilmesi ile arttığı gösterilmiştir¹⁰¹.

TGF-beta'nın, enfeksiyöz ajanlara karşı vücutun savunulmasında önemli katkıları olan hidrojenperoksit (H_2O_2) ve nitrikoksit (NO) üretimi üzerine de etkileri olduğunu gösteren bazı çalışmalar vardır^{102,103,104,105}.

Warwick-Davies J ve arkadaşları tarafından, insan monosit kültür ortamında, TGF-beta'nın monositlerde H_2O_2 üretiminin baskıladığı ve monositlerin fibronektine tutunma gücünü azalttığı belirtilmiştir¹⁰².

Başka bir çalışmada, parazitler ile enfekte edilen farelerde TNF-alfa geninin aktive olduğu ve TNF-alfa üretiminin arttığı; bunun da IFN-gamma'ya bağlı NO üretiminin artıldığı, TGF-beta'nın ise NO üretiminin baskıladığı gözlenmiştir¹⁰³.

TGF-beta'nın makrofajlar içindeki bakteri çoğalması üzerindeki etkileri, birçok araştırmacı tarafından, çoğu hücre kültürü ortamında yapılan çalışmalarda araştırılmış ve bazları birbiri ile çelişen önemli bulgular elde edilmiştir.

M. avium ile enfekte edilen farelerin dalaklarından elde edilen makrofajlarda ortama antiTGF-beta1 antikoru eklenmesi ile bakteri miktarının azaldığı görülmüştür. Aynı zamanda, enfekte makrofajlarda TNF-alfa reseptörlerinin ekspresyonunda azalma olduğu saptanmış ve antimikroiyal aktivite azalmasında bunun da etkili olabileceği belirtilmiştir¹⁰⁶.

Benzer bir çalışmada, *M. avium* ile enfekte farelerin peritoneal makrofajlarında, TGF-beta1'in *M. avium* çoğalmasını belirgin olarak artırdığı, TGF-beta1 antiserumu ile bakteri miktarının azaldığı

belirlenmiştir. Aynı çalışmada, süperoksit anyonu ve H₂O₂ düzeylerinde herhangi bir farklılık izlenmemiştir¹⁰⁷.

Hirsch CS ve arkadaşları tarafından yapılan bir başka çalışmada; PPD reaktif kişilerde, periferal kan monosit kültüründe TGF-beta'nın nötralizasyonu ile M.tuberculosis ile enfekte monositlerde bakteri miktarının azaldığı belirlenmiştir. Aynı çalışmada, TGF-beta'nın nötralize edilmesinin T hücre blastogenezini etkilemediği saptanmıştır. Ayrıca, TGF-beta'nın nötralizasyonu sonucu IFN-gamma üretiminin de arttığı belirlenmiştir¹⁰⁸.

Diger bir çalışmada; M.tuberculosis ile enfekte monositlerde, TGF-beta1'in nötralizasyonunun bakteri üremesini azalttığı gösterilmiş; TNF-alfa ve IFN-gamma'nın ise bakteri üremesini baskılıyıcı yönde etkileri olduğu gözlenmiştir¹⁰¹.

TGF-beta'nın immun sistemi baskılıyıcı oluşunu ve bakteri çoğalmasını olumsuz yönde etkilediğini gösteren bulgulara zıt yönde, bazı araştırmacılar tarafından ileri sürülmüş bulgular da söz konusudur. Örneğin; Goletti ve arkadaşları tarafından yapılan bir çalışmada, HIV ile enfekte ve PPD pozitif olguların periferal kan monosit kültüründe IL-10 ve TGF-beta'nın nötralizasyonu sonucunda, monositler içinde HIV'nun replikasyonunun arttığı; IL-2, IL-1 beta, ve TNF-alfa'nın inhibisyonunun ise HIV replikasyonunu azalttığı belirtilmiştir¹⁰⁹. Buna karşın; TGF-beta'nın HIV replikasyonu üzerine olan etkisinin kültür ortamının durumuna göre farklılık gösterebileceğini belirleyen bulgular da vardır¹¹⁰.

Diger bir çalışmada; M.avium ile enfekte farelerden elde edilen peritoneal makrofaj kültüründe, IFN-gamma ve TNF-alfa'nın makrofajlardaki bakteri çoğalmasını belirgin olarak baskıladığı, ancak, IL-10 veya TGF-beta'nın bakteri çoğalması üzerinde herhangi bir etkilerinin olmadığı belirtilmiştir⁴⁸. Yine aynı yönde, monositlerdeki bakteri üremesine

IL-10 ve TGF-beta'nın etkili olmadığını belirten başka araştırmacılar da vardır^{96,111}.

TGF-beta ve ECM Elemanlarının Granünlardaki Ekspresyonu

Zahra Toossi ve arkadaşları tarafından yapılan bir çalışmada ana çalışmaya ek olarak, 2 adet akciğer tüberkülozu olgusunda TGF-beta1'in immunohistokimyasal ekspresyonu incelenmiş ve TGF-beta1'in özellikle Langhans tipi dev hücreler ve daha az olarak ta epiteloid histiyositlerin sitoplasmalarında eksprese edildiği görülmüştür⁹³.

Marshall ve arkadaşları tarafından 8 adet tüberküloz ve 6 adet sarkoidoz olgusuna ait cilt biyopsisinde yapılan bir çalışmada; immunohistokimyasal olarak anti human panTGF-beta ekspresyonu incelenmiş ve tüberküloz olgularında TGF-beta ekspresyonu granünlomu çevreleyen ECM te ve fibroblastlarda görülmüş; granünlom içinde ise saptanmamıştır. Sarkoidoz olgularında ise TGF-beta'nın tüm granünlolar boyunca ve granünlomlar içindeki makrofajlarda ve çevredeki fibroblastlarda eksprese edildiği belirlenmiştir. Aynı çalışmada Tip 1 prokollajen ve fibronektinin immunohistokimyasal ekspresyonu da değerlendirilmiştir. Tip 1 prokollajen için, tüberkülozlu olgularda fibroblast morfolojisindeki hücrelerde granünlomun merkezine doğru dağınık olarak; granünlom kenarlarında ise granünlomları birbirinden ayıracak biçimde pozitif boyanma izlenmiştir. Sarkoidoz sipesmenlerinde ise, Tip 1 prokollajen, tüberkülozlu olgulara göre granünlomların merkezinde ve kenarlarındaki hücrelerde daha az belirgin olarak saptanmıştır. Fibronektin ekspresyonu, hem tüberküloz ve hem de sarkoidoz granulomları için, çevredeki matrikste ve fibroblastlarda izlenmiştir¹¹².

7 adet akciğer sarkoidozlu olgunun biyopsi materyallerinin değerlendirildiği bir başka çalışmada, TGF-beta 1 ekspresyonu özellikle

epiteloid hücrelerde ve daha az yoğunlukta da dev hücrelerde saptanmıştır. Ayrıca, alveoler makrofajlar, bronşiol epiteli, Tip II pnömositler ve alveoler septalardaki kapiller damarlarda hastalıksız kontrol olguları da dahil olmak üzere tüm sarkoidoz olgularında pozitif boyanma görülmüştür. Aynı çalışmada, fibronektin, alfa5beta1 fibronektin reseptörü ve TGF-beta 1'i bağlayıcı bir proteoglikan olan decorin de incelenmiş ve fibronektin ile fibronektin reseptörü epithelial histiyositlerde, çevre dokudaki fibroblastlarda ve çok az olarak ta dev hücrelerde saptanmıştır. Çevre akciğer parankiminde ise; fibronektin ekspresyonu, alveoler kapillerlerde ve belirgin olarak ta alveoler makrofajlarda gözlenmiştir. Fibronektin reseptörü ekspresyonu ise, büyük damarları çevreleyen bağ dokusunda ve daha az olarak ta alveoler septalarda izlenmiştir¹¹³.

Sarkoidozlu 25 olguya ait scalen lenf nodüllerinde TGF-beta 1, bazı integrinler ve ECM elemanlarının immunohistokimyasal ekspresyonunun, granülom yapılarının stageleri de dikkate alınarak, değerlendirildiği bir araştırmada; TGF-beta 1'in granülomlardaki epithelial hücrelerde ve dev hücrelerde, matür granülomlarda daha belirgin olmak üzere, granülomların tüm stagelerinde eksprese olduğu belirlenmiştir. Ekspresyon yoğunluğunun, aktif dönemdeki granülomlarda diğer dönemlere göre daha belirgin olduğu saptanmıştır. Ayrıca TGF-beta 1 pozitifliği fibroblastlarda da izlenmiştir. Bu çalışmada, ECM elemanlarından kollajen 1, 3, 4, fibronektin, laminin, vitronektin ve tenaskin ekspresyonu değerlendirilmiştir. İmmatür granülomlarda, fibronektinin granülomların periferinde konsantrik olarak bulunduğu; aktif dönemde, kollajen 4 ve laminin dışındaki ECM elemanlarının granülomların periferinde konsantrik tarzda belirgin olarak ve granülomların içinde ve kenarlarında fibriler yapıda zayıf olarak boyandığı saptanmıştır. Granülomların fibrotik görünümde olduğu ve epitelioid hücrelerin dejeneratif olarak atrofiye uğradığı regresif dönemde ise

kollajen 4 ve laminin dışındaki tüm ECM elemanlarının, granülomların tamamında yaygın ve yoğun olarak var olduğu belirlenmiştir. Ayrıca bu dönemde, diğer dönemlere göre fibroblastların aktif olarak prolifere olduğu ve yine diğer dönemlere göre kollajen 4 ve laminin dışındaki ECM elemanlarının fibroblastlarda daha yoğun bir biçimde eksprese edildiği görülmüştür. Bir başka bulgu olarak, tüm ECM elemanlarının pozitif boyanma açısından, kapillerler de dahil olmak üzere, damarlarla ilişkili olduğu saptanmıştır¹¹⁴.

Maeda ve arkadaşları tarafından, plevra tüberkülozu olgularda TGF-beta 1'in latent formunun bir komponentine karşı bir antikor kullanılarak immunohistokimyasal yöntemle yapılan çalışmada, pozitif boyanma, granülomlar çevresindeki immatür fibrotik alanlarda özellikle de mezotelyal ve fibroblastik hücrelerde izlenmiş; granüлом içinde ve Langhans tipi dev hücrelerde boyanma görülmemiştir. Aynı çalışmada, plevra sıvısında ELISA yöntemi ile ölçülen TGF-beta 1 ve IFN gamma miktarları kontrol olgulara göre belirgin olarak yüksek bulunmuştur¹¹⁵.

Bizim bu çalışmamızdaki amaçlarımız, akciğer tüberkülozunda, granülomlardaki ECM elemanlarının granülomların yapısına katılım oranlarını ve granülomların yapılanmasındaki rollerini belirlemek; TGF-beta 1'in granülomlarda ve akciğerin diğer alanlarındaki ekspresyon dağılımını saptamak; granülomlardaki ECM elemanlarının ekspresyon şiddeti ile TGF-beta-1 arasındaki ilişkiyi incelemek ve bunun granülomlarda ve çevre akciğer dokusundaki basil sayısı, olguların hastalık süreleri ve tedaviye verdikleri yanıt ile olası ilişkisini araştırmak; granülomların yapısal özellikleri ve nekroz miktarı ile tedaviye verilen yanıt arasında herhangi bir bağlantı olup olmadığını belirlemektir.

GEREÇ VE YÖNTEM

Bu çalışmada, Akdeniz Üniversitesi Tıp Fakültesi Patoloji Anabilim Dalında 1985 ile 2000 yılları arasında “akciğer tüberkülozu” tanısı almış olan 43 olguya ait Hematoksilen-Eozin yöntemi ile boyanmış preparatlar ve formalin ile fiks edilerek parafine gömülü olarak saklanan akciğer doku örnekleri incelendi. Olgulara ait klinik bilgiler, hastane genel arşivindeki hasta dosyaları, patoloji arşivi ve ilgili kliniklerin arşivleri taranarak elde edilmeye çalışıldı. Böylece; hastaların yaşları, cinsiyetleri, hastalık süreleri, yeterli ilaç tedavisi alıp almadıkları, tedaviye yanıtları ve gönderilen akciğer dokusunun niteliği hakkındaki bilgiler elde edildi. Hastalık süresi, hastadaki şikayetlerin başlangıç zamanı veya tanı zamanı dikkate alınarak saptandı.

Olgularda, en az 9 aylık bir süre veya balgamda basil çıkışı negatif olana kadar uygulanan kombinė ilaç tedavisi yeterli tedavi olarak kabul edildi.

Hematoksilen-eozin ile boyanmış preparatlar, kesitlerde gözlenen granülomların düzeni, granülomlardaki nekroz miktarı, alveoler makrofaj yoğunluğu ve fibrozis yönünden semikantitatif olarak değerlendirildi.

Granüлом yapılarının değerlendirilmesi için, literatür taramaları sonucunda bu konuda belirlenmiş bir yöntem bulamadık ve kendi geliştirdiğimiz yöntemi kullandık. Buna göre; granülomların sınırlarının düzenliliği ve birbirleriyle birleşme eğiliminde olup olmamaları temel

kriterler olarak dikkate alındı. Sınırları düzenli olan ve birbirleriyle birleşme eğilimi göstermeyen granülomlar çoğunlukta ise 1 pozitif; düzensiz sınırlı ve birleşme eğiliminde olanlar fazla ise 2 pozitif; birbirleriyle tamamen birleşmiş ve tipik granüloom yapısı izlenemeyen olgular ise 3 pozitif olarak değerlendirildi.

Nekroz miktarı genel olarak, granülomların orta kısmında ve az ise 1 pozitif; incelenen doku örneklerinin büyük çoğunluğunda ve geniş alanlarda ise 3 pozitif; bu iki kriter arasındakiler ise 2 pozitif olarak değerlendirildi.

Alveoler makrofaj yoğunluğu, alveoller içinde tek tük ve az sayıda ise 1 pozitif; alveoller tamamen dolduracak kadar yoğun ise 3 pozitif; bu ikisi arasında kalan olgular ise 2 pozitif olarak kabul edildi.

Granülomlardaki fibrozis için değerlendirme, fibrozis miktarı gözönüne alınmaksızın, "var" veya "yok" olarak yapıldı.

Olgulara ait Hematoksilen-Eozin yöntemi ile boyanmış preparatlar incelenerek, granulom yapılarını en yoğun içeren ve olgunun karakteristiğini en iyi yansıtığı düşünülen parafin blok seçildi.

Doku örneklerinde, tüberküloz basilini ışık mikroskopunda görmek amacıyla doku kesitlerine Kinyoun boyama yöntemi uygulandı. Bu yöntem için doku örneklerinden 4-5 mikrometre kalınlığında kesitler lam üzerine alındı. Doku kesitlerindeki parafini uzaklaştırmak amacıyla, alınan bu doku kesitleri 56°C'lik sıcaklıktaki etüv içinde 2 saat bekletildi ve sonra 2 kez 5'er dakika süreyle ksilol içinde tutuldu. Sonraki aşamada, dokunun hidrasyonunu sağlamak için, kesitler azalan derecelerdeki alkol ve son olarak ta distile su içinde tutuldu.

Kinyoun boyama yönteminde kullanılan solusyonlar:

Carbol fuchsin solusyonu;

Basic fuchsin	4.0 g.
Phenol crystal eriyiği	8.0 ml.
Alkol %95	20.0 ml.
Distile su	100.0 ml.

%1 Asid alkol solusyonu;

Alkol %70	1000.0 ml.
Hidroklorik asid, konsantre	10.0 ml.

Metilen mavisi stok solusyonu;

Metilen mavisi	1.4 g.
Alkol %95	100 ml.

Metilen mavisi çalışma solusyonu;

Metilen mavisi(stok)	10.0 ml.
Musluk suyu	90.0 ml.

Kinyoun boyama yönteminin aşamaları;

- 1- Deparafinize ve hidrate edilen kesitler, carbol fuchsinde 56°C'de 1 saat bekletildi.
- 2- Kesitler akan su içinde yıkandı.
- 3- Asid alkol ile, doku soluk pembe bir renk alana kadar muamele edildi.
- 4- Dokular, akan su içinde yıkandı.
- 5- Karşıt boyaya uygulamak amacıyla, metilen mavisi çalışma solusyonunda 2 dakika bekletildi.
- 6- Artan derecelerdeki alkoller içinde bekletilerek dehidrate edildi; bir süre ksilolde bekletildi ve üzerleri lam ile kapatıldı.

Boyama sonucunda, aside dirençli bakterilerin parlak kırmızı; dokunun ise açık mavi boyanması beklandı. Kontrol amacıyla, önceden aside dirençli bakterilerin boyandığı bilinen, tüberküloz basili ile enfekte üriner sisteme ait doku örneği kullanıldı.

Seçilen bloklardan elde edilen doku kesitlerine immunohistokimyasal olarak “streptoavidin-biotin kompleks yöntemi” ile rabbit antihuman fibronektin, mouse antihuman laminin, rabbit antihuman kollajen Tip 1, mouse antihuman kollajen Tip 4 ve rabbit antihuman TGF-beta 1 antikorları uygulandı (Tablo 1).

	Klon No	Kaynak	Cod No	Dilüsyon Oranı	Pozitif Kontrol
Fibronektin	Poliklonal	Dako	A0245	1/800	Tonsil
Kollajen Tip 4	Monoklonal	Dako	M0785	1/50	Plasenta
Kollajen Tip 1	Poliklonal	Novocastra	NCL-COL-1p	1/40	Plasenta
Laminin	Monoklonal	Novocastra	NCL-Laminin	1/50	Tonsil
TGF-beta 1	Poliklonal	Santa Cruz	Cat # sc-146	1/500	Incebarsak

Tablo 1. Kullanılan antikorların özellikleri.

İmmunohistokimyasal yöntemle boyanacak doku kesitleri, kesitlerin lam üzerinden kaymasını ve dökülmesini önlemek için chromalium-gelatin adhesive ile kaplanmış lamlar üzerine 4-5 mikrometre kalınlığında kesilerek alındı. 56°C ısısı ayarlı etüvde yaklaşık 1.5 saat tutuldu ve ksilolde 2 kez 5'er dakika bekletilerek deparafinize edildi. Sonraki aşamada, kesitler azalan derecelerde alkol ortamlarında ve en son olarak ta distile suda bekletilerek hidrate olmaları sağlandı. Bundan sonra, doku kesitlerine抗原ların yeniden kazanılması amacıyla, kesitler 0.01 molar ve pH6 olacak şekilde hazırlanan trisodyumsitrat solusyonu içinde sıvı düzeyi lamların üzerini kapatacak ve kesitlerin kurumasını engelleyecek biçimde 90°C'de 10 dk. mikrodalga fırında bekletilerek, “antigen retrieval”

işlemi uygulandı. Bu işlemden sonra kesitlerin trisodyumsitrat solusyonundan çıkarılmadan kendi halinde soğuması beklandı ve streptavidin-biotin peroksidaz immunohistokimyasal boyama yöntemi, aşağıda belirtilen aşamalardan geçilerek uygulandı.

- 1- Kesitler proteolitik enzim (Proteinaz K, Dako) ile 20 dakika inkübe edildi.
- 2- Dokulardaki endojen peroksidaz enziminin blokasyonu için, kesitler %3'lük H₂O₂ solusyonu ile 10 dakika inkübe edildi. Bu işlemden sonra kesitler tamponlanmış fosfat solusyonunda 5 dakika bekletilerek yıkandı.
- 3- Primer antikorla üzerleri kaplanan doku kesitleri, TGF-beta 1 için 2 saat, diğerleri için 60 dakika kadar inkübe edildi.
- 4- Primer antikor ile enzim taşıyan antikor arasında bağlayıcılık görevi yapan Linking Reagent (Dako) ile kesitler 20 dakika inkübe edildi ve sonra tamponlanmış fosfat solusyonunda 5 dakika bekletildi.
- 5- Labelling reagent streptoavidin ile konjuge edilmiş “horseradish peroksidaz” ile dokular 20 dakika inkübe edildi ve sonra tekrar tamponlanmış fosfat solusyonunda dokular 5 dakika bekletildi.
- 6- Dokular, chromogenic substrate (DAB) ile 20 dakika inkübe edildi.
- 7- Kesitlere Hematoksilen-Eozin ile zıt boyama uygulandı ve üzerleri lamelle kapatıldı.

Tüm bu inkübasyon basamakları, oda sıcaklığında ve nemli ortamda gerçekleştirildi. Renklendirici olarak Diaminobenzidine (DAB) kullanılarak oluşan kahverengi renk reaksiyonu değerlendirildi.

Uygulanan her bir antikor için oluşan reaksiyonun şiddetini değerlendirmek amacıyla, granülomların çevresi, granülomların içi, epiteloid histiyositler, dev hücreler, lenfositler, fibroblastlar, damarlar, alveol epiteli, alveoler makrofajlar, bronşiol epitheli ve bronşiol bazal

membranı incelendi. Granülomların çevresinde ve içindeki matrikste ve hücrelerin sitoplazmalarında oluşan kahverengi reaksiyonun yoğunluğu; 1 pozitif (hafif), 2 pozitif (orta) ve 3 pozitif (şiddetli) olarak semikantitatif yöntemle değerlendirildi.

İstatistiksel yöntemler: İstatistiksel değerlendirmeler, SPSS 10.0 yazılımı kullanılarak yapıldı. Karşılaştırmalar için, Mann-Whitney U testi ve Fisher'in kesin ki kare testi; korelasyonlar için Spearman'ın korelasyon testi kullanıldı.

BULGULAR

Klinikopatolojik Bulgular

Olgulardan 32 tanesinin yaşı belirlenebildi. Buna göre, yaş aralığı 10-72; ortalama yaşı 44.5 olarak saptandı.

Cinsiyet dağılımı incelendiğinde; 29 erkek, 13 kadın olgu belirlendi; 1 olgunun ise cinsiyeti ile ilgili bilgi elde edilemedi. Erkek olgular için yaş ortalaması 43, kadın olgular için 47.8 olarak saptandı.

Olguların hastalık süreleri, 22 olguda belirlenebildi. Buna göre, en uzun hastalık süresi 12 yıl olarak saptandı. Ayrıca, 1 olguda 10 yıl olduğu, 10 olguda tanının yeni konduğu, 10 olguda hastalık süresinin 3 yıldan daha az olduğu görüldü.

Tedavi süreleri, 14 olguda saptanabildi ve 11 olgunun yeterli, 3 olgunun yetersiz ilaç tedavisi aldığı belirlendi.

Olguların ilaç tedavisine verdikleri yanıt 13 olgu için saptanabildi. Buna göre, 10 olgunun tedaviye iyi, 3 olgunun kötü yanıt verdiği belirlendi.

Makroskobik Bulgular

Olgulara ait dokulardan 23 tanesinin çeşitli büyüklüklerde akciğer biopsisi, 15 tanesinin lobektomi, 4 tanesinin pnömonektomi, 1 tanesinin de bronş biopsisi olduğu belirlendi.

Olgulara ait klinik ve makroskobik bulgular Tablo 2'de sunulmuştur.

Olgı	Yaş	Cinsiyet	Hastalık süresi	Tedavi süresi	Tedaviye yanıt	Doku örneği ve boyutları (cm.)
1.	49	Kadın	Saptanamadı	Saptanamadı	Saptanamadı	Biyopsi 4x3x1,5
2.	53	Erkek	Saptanamadı	Saptanamadı	Saptanamadı	Lobektomi 14x5x2,5
3.	63	Kadın	Saptanamadı	Saptanamadı	Saptanamadı	Biyopsi 2,5x1x0,4
4.	10	Erkek	Saptanamadı	Saptanamadı	Saptanamadı	Biyopsi 2x1,5x1
5.	-	Kadın	Saptanamadı	Saptanamadı	Saptanamadı	Sol pnomenektomi 16x10x4
6.	-	Kadın	Saptanamadı	Saptanamadı	Saptanamadı	Sol üst lobektomi 15x8x3
7.	-	Erkek	Yeni teşhis	Yeterli	İyi	Sağ üst lobektomi 13,5x9,5x5
8.	-	Erkek	Saptanamadı	Saptanamadı	Saptanamadı	Biyopsi 3,5x3x2
9.	44	Erkek	3 yıl	Yetersiz	Kötü	Sol pnornonektomi 13x11,5x6
10.	-	Erkek	Saptanamadı	Saptanamadı	Saptanamadı	Sağ alt lobektomi 10x9x8
11.	25	Erkek	1 yıl	Yetersiz	Saptanamadı	Lobektomi 12x11x3
12.	22	Erkek	1 yıl	Saptanamadı	Saptanamadı	Sol alt lobektomi 14x9x4
13.	-	-	Saptanamadı	Saptanamadı	Saptanamadı	Biyopsi
14.	67	Kadın	Yeni teşhis	Saptanamadı	Saptanamadı	Biyopsi 2,5x1,8x1
15.	50	Erkek	Yeni teşhis	Yeterli	İyi	Biyopsi 7x5x2,5
16.	43	Erkek	Saptanamadı	Saptanamadı	Saptanamadı	Sağ üst lobektomi 12,5x8x4,5
17.	55	Erkek	Yeni teşhis	Yeterli	İyi	Biyopsi 3x2,5x0,6
18.	24	Erkek	Saptanamadı	Saptanamadı	Saptanamadı	Sağ üst lobektomi 14x9,5x4,5
19.	58	Erkek	Saptanamadı	Saptanamadı	Saptanamadı	Biyopsi 4,5x1,5x1
20.	61	Kadın	2 yıl	Saptanamadı	Saptanamadı	Biyopsi 6x4x1,5
21.	56	Erkek	Yeni teşhis	Saptanamadı	Saptanamadı	Biyopsi 5x2,5x0,6
22.	72	Erkek	12 yıl	Saptanamadı	Saptanamadı	Lobektomi 9x7x2,5
23.	45	Erkek	1 yıl	Saptanamadı	Saptanamadı	Lobektomi 15x13x5,5
24.	53	Erkek	Yeni teşhis	Yeterli	İyi	Biyopsi 2x1,5x1,2
25.	56	Erkek	Saptanamadı	Saptanamadı	Saptanamadı	Lobektomi 10x7x3
26.	-	Erkek	Yeni teşhis	Yeterli	Saptanamadı	Biyopsi 1x0,7x0,2
27.	28	Kadın	Yeni teşhis	Yeterli	İyi	Biyopsi 1,3x1,1x0,8
28.	55	Kadın	3 yıl	Yetersiz	İyi	Biyopsi 1,2x0,7x0,5
29.	66	Erkek	Yeni teşhis	Saptanamadı	Saptanamadı	Sağ orta ve üst lobektomi 17x10x3
30.	47	Kadın	Saptanamadı	Saptanamadı	Saptanamadı	Sol lobektomi 18x11x5,5
31.	35	Erkek	1 yıl	Yeterli	Kötü	Biyopsi 3x2,5x1,5
32.	49	Erkek	1 yıl	Yeterli	Kötü	Biyopsi 5x4x2
33.	-	Erkek	10 yıl	Saptanamadı	Saptanamadı	Biyopsi 3,5x1x0,7
34.	-	Erkek	Saptanamadı	Saptanamadı	Saptanamadı	Biyopsi 5x2,5x2
35.	22	Kadın	1 yıl	Yeterli	İyi	Bronş biyopsisi 0,3x0,2x0,1
36.	33	Kadın	1 yıl	Yeterli	İyi	Sağ alt lobektomi 13x9,5x4,5
37.	20	Erkek	Saptanamadı	Saptanamadı	Saptanamadı	Biyopsi 6,5x6x2
38.	-	Kadın	Saptanamadı	Saptanamadı	Saptanamadı	Sağ alt lobektomi 7x7x4,5
39.	43	Erkek	Yeni teşhis	Yeterli	İyi	Sol pnornonektomi
40.	28	Erkek	Saptanamadı	Saptanamadı	Saptanamadı	Biyopsi 2x1,5x1,5
41.	38	Erkek	Saptanamadı	Saptanamadı	Saptanamadı	Biyopsi 2,5x2,5x2
42.	53	Kadın	Saptanamadı	Saptanamadı	Saptanamadı	Sağ pnornonektomi 16x12x6
43.	-	Erkek	Saptanamadı	Saptanamadı	Saptanamadı	Biyopsi 4,2x2,4x1

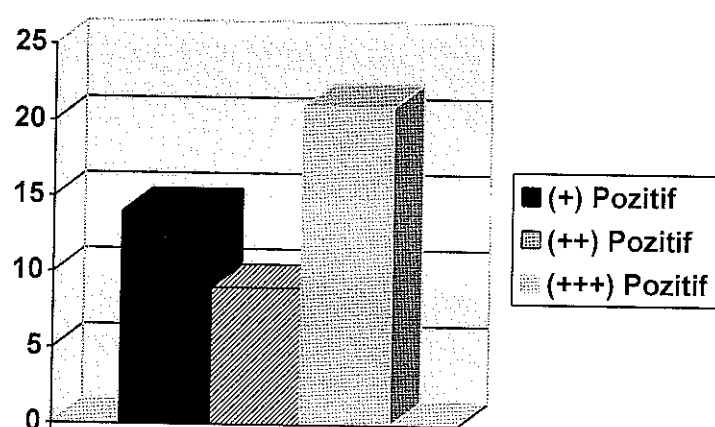
Tablo 2: Olgulara ait klinik ve makroskobik bulgular

Mikroskopik Bulgular

Mikroskopik olarak, tüm olgularda H.E. ile boyalı preparatlar ışık mikroskopunda tekrar değerlendirildi. Tüm olgularda granülomatöz yanğı ile uyumlu granülom yapıları izlendi (Resim 1 ve 2). Doku örnekleri, granülom yapılarının sınırlarının düzeni, granülomların birbirleriyle birleşme eğilimi, nekroz oranı, alveoler makrofaj yoğunluğu ve fibrozis miktarı açısından incelendi.

Granülom yapılarının düzeni, 23 olguda 1 pozitif, 20 olguda 2 pozitif olarak saptandı. Hiçbir olguda 3 pozitiflik izlenmedi.

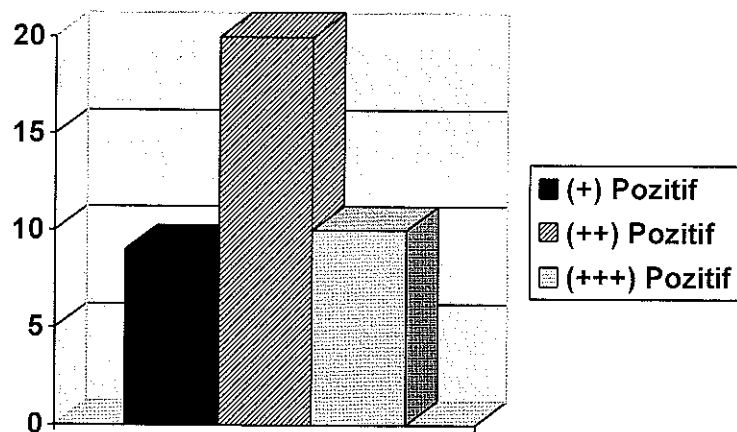
Nekroz oranı için; 13 olgu 1 pozitif, 9 olgu 2 pozitif, 21 olgu 3 pozitif olarak değerlendirildi. Granulom yapılarında nekroz içermeyen olgu saptanmadı (Şekil 1).



Şekil 1: Olguların nekroz oranına göre dağılımı

9 olguda fibrotik görünümde granülomların var olduğu görüldü; diğer 34 olguda ise fibrozis izlenmedi.

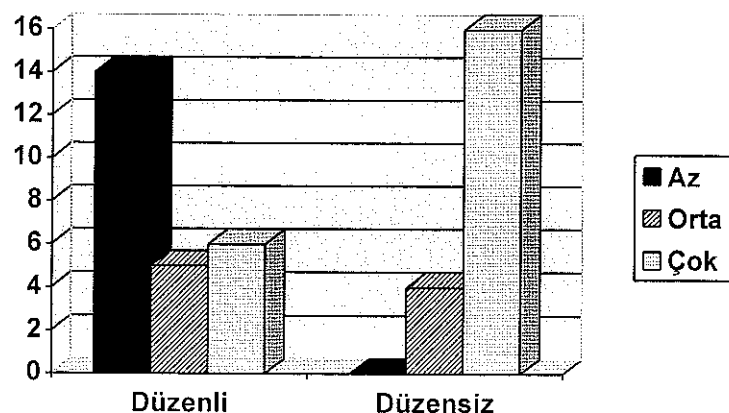
Olgulardaki alveoler makrofaj yoğunluğu, 39 olguda belirlendi. Buna göre 9 olgu 1, 20 olgu 2, 10 olgu ise 3 pozitif olarak değerlendirildi (Şekil 2).



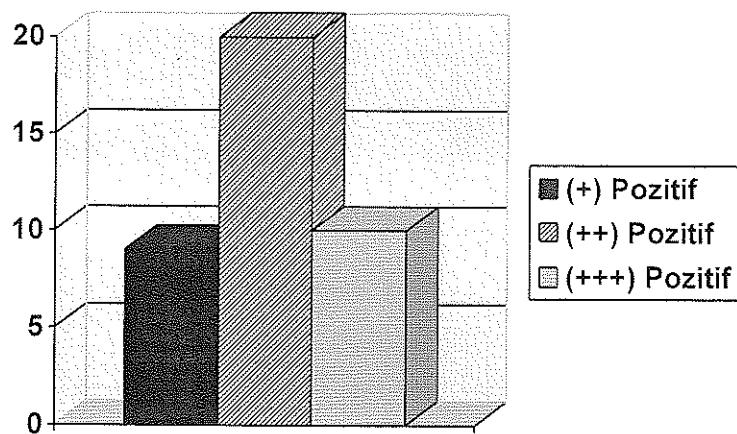
Şekil 2: Alveoler makrofaj yoğunluğu

İstatistiksel değerlendirme sonucunda; olgularda, hastalık süresi-granulom düzeni; hastalık süresi-nekroz oranları; tedaviye yanıt-yaş; tedaviye yanıt-cinsiyet; tedaviye yanıt-granülom düzeni; tedaviye yanıt-nekroz oranı arasında anlamlı bir ilişki saptanmadı

Olgulardaki nekroz oranı ile granülom düzensizliği arasında ise pozitif bir korelasyon olduğu belirlendi ($p = 0.001$) (Şekil 3).



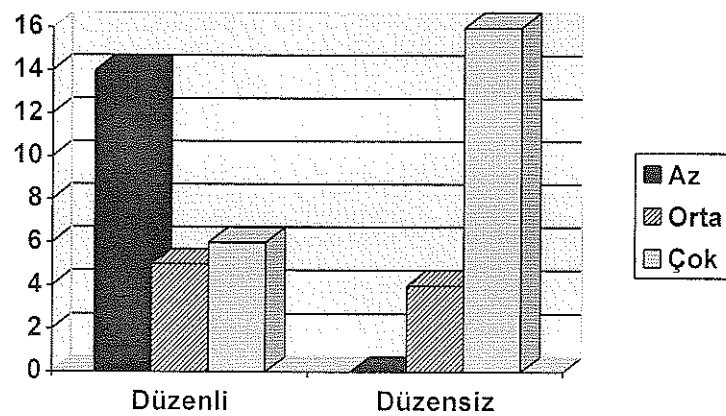
Şekil 3: Granülom yapısının düzenli olup olmamasına göre nekroz miktarının dağılımı



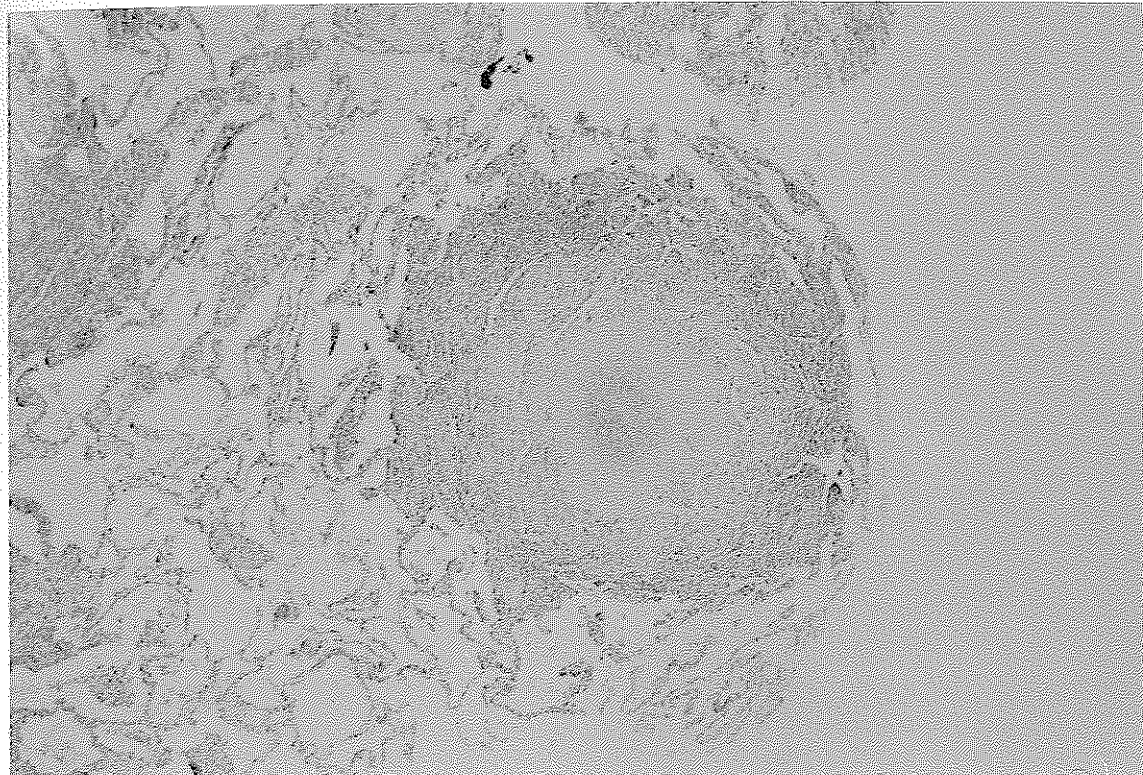
Şekil 2: Alveoler makrofaj yoğunluğu

İstatistiksel değerlendirme sonucunda; olgularda, hastalık süresi-granulom düzeni; hastalık süresi-nekroz oranları; tedaviye yanıt-yaş; tedaviye yanıt-cinsiyet; tedaviye yanıt-granülom düzeni; tedaviye yanıt-nekroz oranı arasında anlamlı bir ilişki saptanmadı.

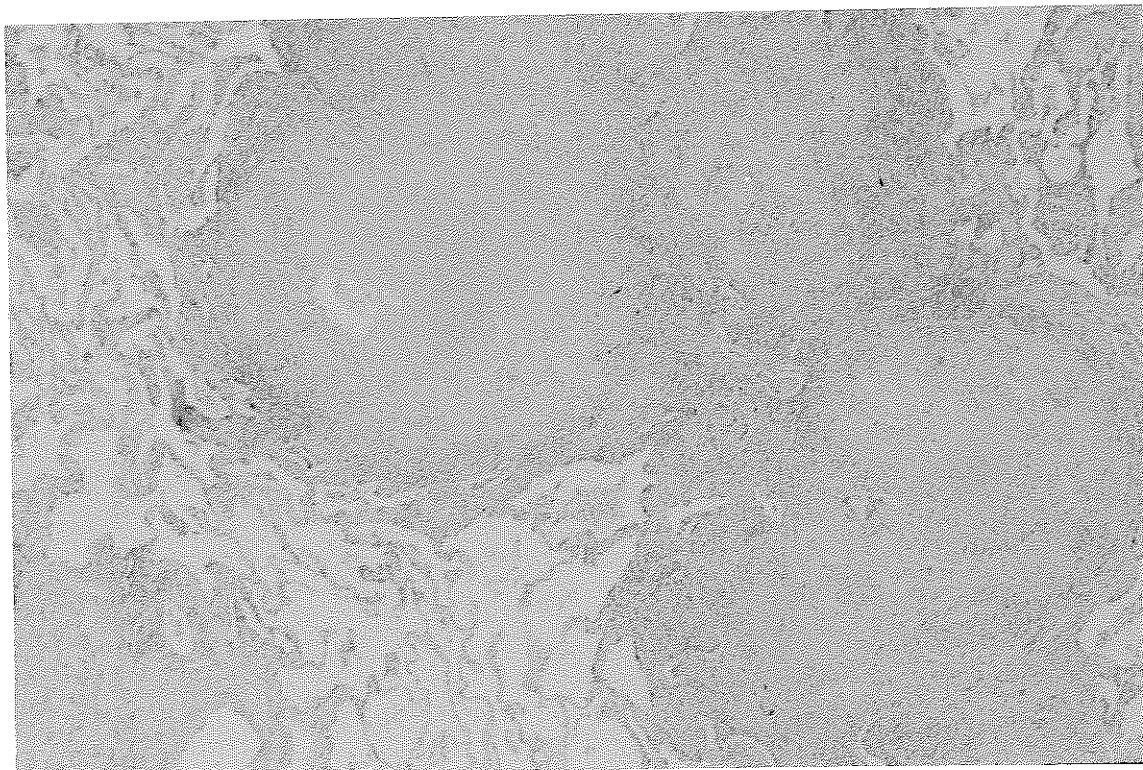
Olgulardaki nekroz oranı ile granülom düzensizliği arasında ise pozitif bir korelasyon olduğu belirlendi ($p = 0.001$) (Şekil 3).



Şekil 3: Granülom yapısının düzenli olup olmamasına göre nekroz miktarının dağılımı



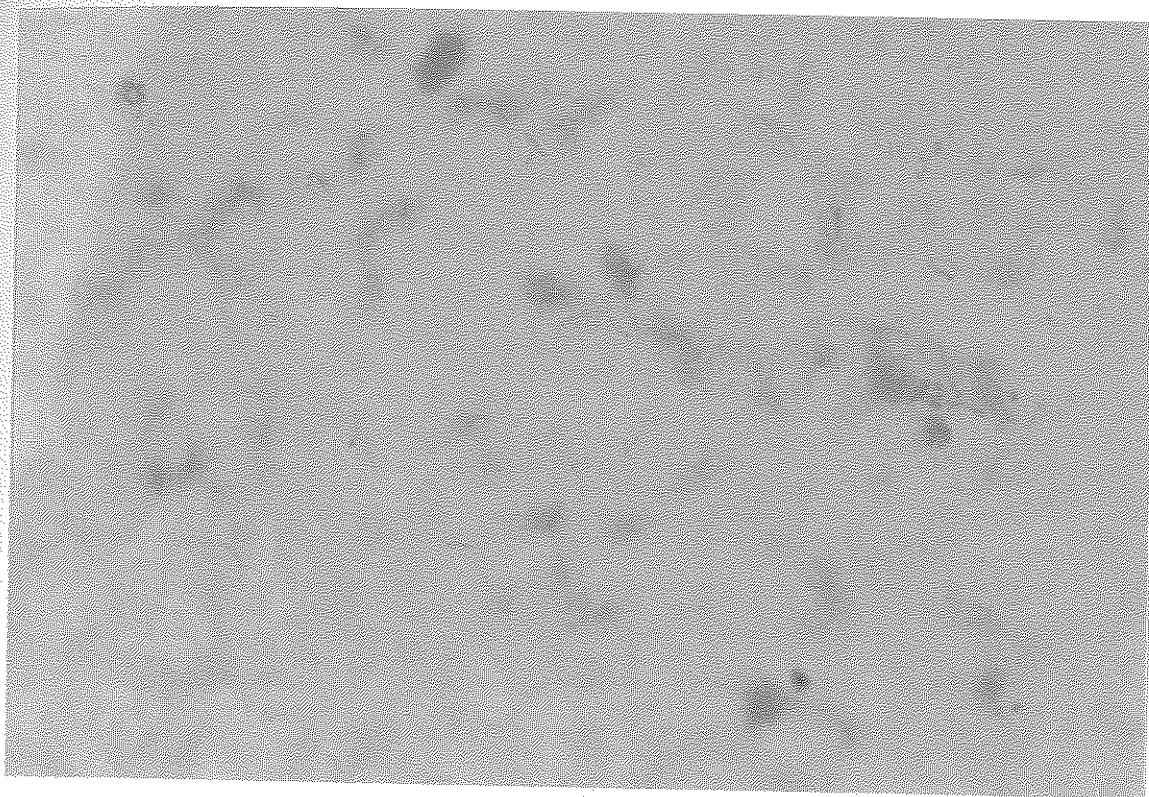
Resim 1 : Akciğer tüberkülozunda tipik granülom yapısı (HE X 4).



Resim 2: Akciğer tüberkülozunda birleşme eğilimi gösteren granülomlar (HE X4).

Histokimyasal Bulgular:

Olguların doku örneklerinde, histokimyasal olarak uygulanan Kinyoun boyama yöntemi ile, olgulardan sadece 1 tanesinde basilleri boyama başarısı sağlanabildi (Resim 3)



Resim 3 : Kazeifikasiyon nekrozu içindeki tüberküloz basilleri (Kinyoun X 100)

İmmunohistokimyasal Bulgular

Fibronektin;

Granülomların çevresinde, olguların tamamında fibronektin ekspresyonu saptandı. Boyanma yoğunluğunun, olguların çoğunda şiddetli ($n = 27$) ve orta ($n = 13$) derecede olduğu gözlendi (Resim 4).

Granülomların içinde ise, yine çoğu olguda pozitiflik belirlenmekle birlikte, boyanma yoğunluğu, birçogunda hafif ($n = 16$) ve orta ($n = 16$) derecede izlendi.

Epiteloid histiyositlerde, fibronektin ekspresyonu, olguların çoğunda hafif ($n = 21$) ve orta ($n = 5$) şiddette belirlendi. 13 olguda ise boyanma saptanmadı.

Langhans tipi dev hücrelerde, fibronektin ile olguların çoğunda hafif ($n = 11$) ve orta ($n = 12$) yoğunlukta pozitiflik saptandı. 17 olguda, ekspresyon izlenmedi (Resim 5).

Fibronektin ekspresyonu, granülomlar çevresindeki fibroblastlarda, çoğunuğu orta ($n = 22$) ve şiddetli ($n = 15$) derecelerde izlendi (Resim 6).

Olguların tamamında, tüm damar duvarlarında, fibronektin ekspresyonu olguların çoğunda orta derecede ($n = 33$) olmak üzere saptandı (Resim 7).

Bronşiol epitelinde, baskın bir boyanma şiddeti belirlenmedi. Bazı olgularda pozitiflik izlenmezken bazlarında değişen derecelerde boyanma saptandı.

Bronşiol bazal membranında, fibronektin ile pozitiflik, olguların çoğunuğunda hafif ($n = 15$) ve orta ($n = 5$) şiddette izlendi (Resim 8).

Alveol epitelinde, çoğu olguda boyanma görülmezken ($n = 27$), bazı olgularda hafif ($n = 7$) ve orta ($n = 7$) şiddette pozitiflik izlendi (Resim 9).

Alveoler makrofajlarda, fibronektin ekspresyonu, çoğu olguda orta ($n = 22$) derecede izlenirken, 1 olguda boyanma saptanmadı (Resim 9).

Boyanma özelliklerine ait bulgular Tablo 3'de gösterilmiştir.

İstatistiksel olarak, hastalık süreleri ve tedaviye verilen yanıtlar ile fibronektinin herhangi bir bölgedeki ekspresyonu arasında anlamlı bir korelasyon görülmedi.

Olgu	G.C.	G. İ.	D.H.	E.H.	Fib.	Len.	Dm.	B.E.	B.B.M.	A.E.	A.M.
1	+	-	+	-	+	-	+	-	+	-	+
2	+++	-	Y	Y	++	-	++	-	+	++	++
3	++	+	+	+	Y	-	++	+	Y	-	+
4	++	+	++	+	++	-	+	+	-	+	++
5	++	++	Y	Y	++	-	++	Y	Y	-	+
6	+++	++	++	++	+++	-	+++	Y	Y	+	++
7	+++	+++	++	++	+++	-	++	Y	Y	++	++
8	+++	+++	++	+	++	-	++	+++	+	++	+++
9	++	+	++	+	++	-	++	Y	Y	-	++
10	+++	++	++	++	+++	-	++	++	++	-	+++
11	+++	++	+	++	+++	-	++	Y	Y	-	+++
12	+++	++	++	+	++	-	+	Y	Y	++	++
13	++	+	+	-	+	-	++	++	+	-	++
14	++	+	++	+	++	-	+++	+	++	+	+++
15	+++	++	-	-	++	-	+	+	+	-	++
16	+++	++	-	+	++	-	++	++	+	+	++
17	+++	+	+	+	+++	-	++	Y	Y	-	++
18	+++	++	-	-	+++	-	++	+++	++	++	++
19	++	+	-	+	++	-	++	Y	Y	-	+
20	++	+	-	-	+	-	++	-	-	-	++
21	++	+	+	+	++	-	++	Y	Y	-	+
22	+++	+++	Y	Y	+++	-	++	Y	Y	-	++
23	+++	+++	-	-	+++	-	++	-	+	-	+++
24	++	+	-	+	++	-	++	Y	Y	-	++
25	+	+	-	+	-	-	++	++	++	+	++
26	+++	++	-	+	+++	-	++	+++	+	+	+++
27	+++	+	+	+	+++	-	++	Y	Y	-	++
28	++	+	-	-	++	-	+	Y	Y	-	++
29	+++	-	-	-	+++	-	++	++	+++	-	+++
30	+++	++	++	++	++	-	++	++	++	-	++
31	+++	+++	++	+++	+++	-	++	Y	Y	Y	Y
32	+++	++	-	+	+++	-	++	Y	Y	-	-
33	+++	++	-	+	+++	-	++	-	+	-	+++
34	++	+	+	-	++	-	++	-	+	-	+
35	+++	++	-	-	-	-	+++	++	+	++	+++
36	+	+	-	-	++	-	++	-	+	-	++
37	+++	++	++	+	++	-	++	+	+	-	++
38	+++	++	-	-	++	-	+	Y	Y	Y	Y
39	+++	+++	++	+	++	-	++	Y	Y	++	++
40	++	+	-	-	++	-	+	-	+	-	+
41	+++	++	+	+	++	-	++	Y	Y	+	+++
42	+++	+++	+	+	+++	-	++	-	+	-	+
43	+++	+++	+	+	++	-	++	Y	Y	-	++

Tablo 3: Olgularda izlenen fibronektin ekspresyon yoğunluğu.

G.C.= Granüلوم çevresi

G.İ.= Granüلوم içi

D.H.= Dev hücreler

E.H.= Epiteloid histiyositler

Fib.= Fibroblastlar

Len.= Lenfositler

Dm.= Damarlar

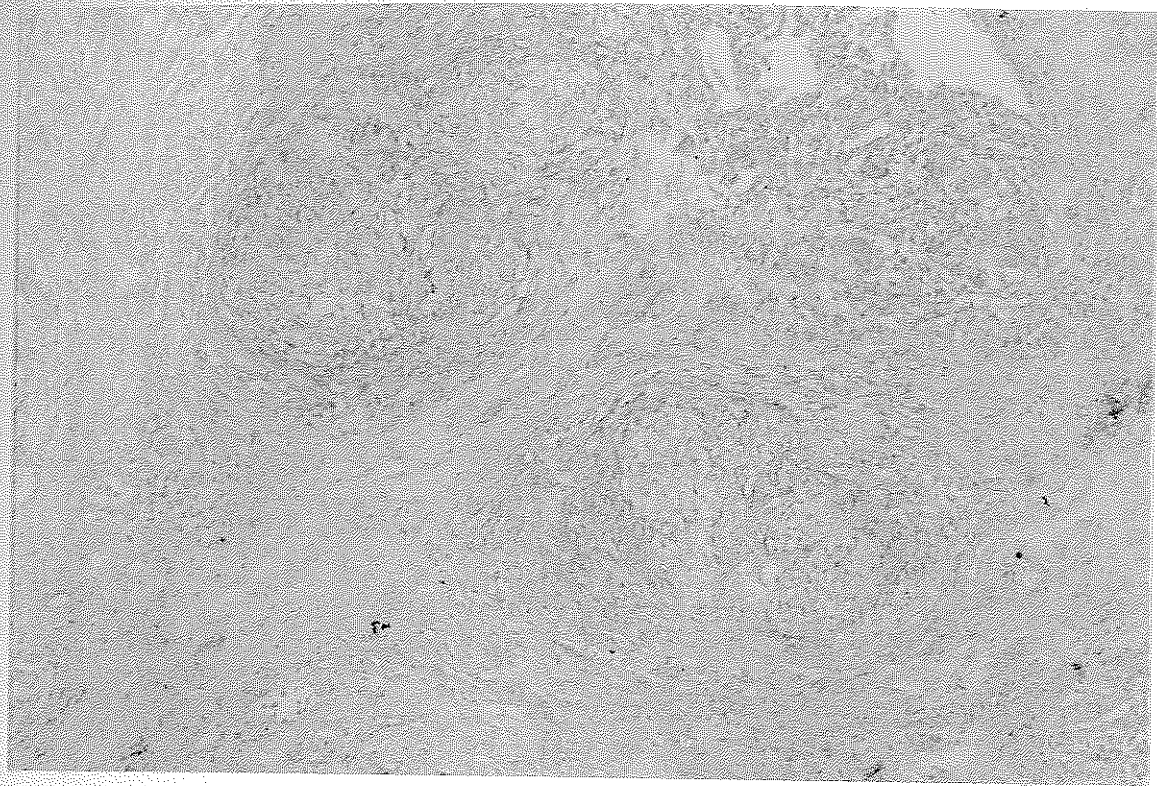
B.E.=Bronşiol epiteli

B.B.M.= Bronşiol bazal membranı

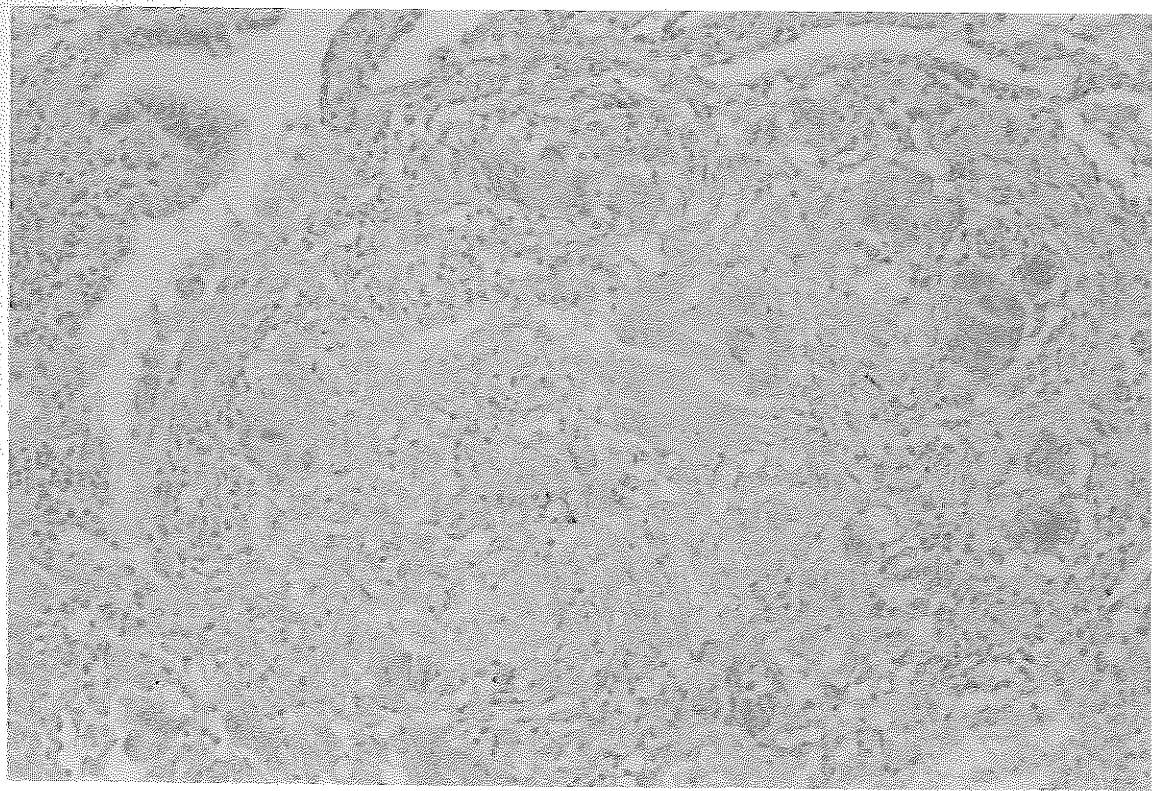
A.E.= Alveol epiteli

A.M.= Alveoler makrofajlar

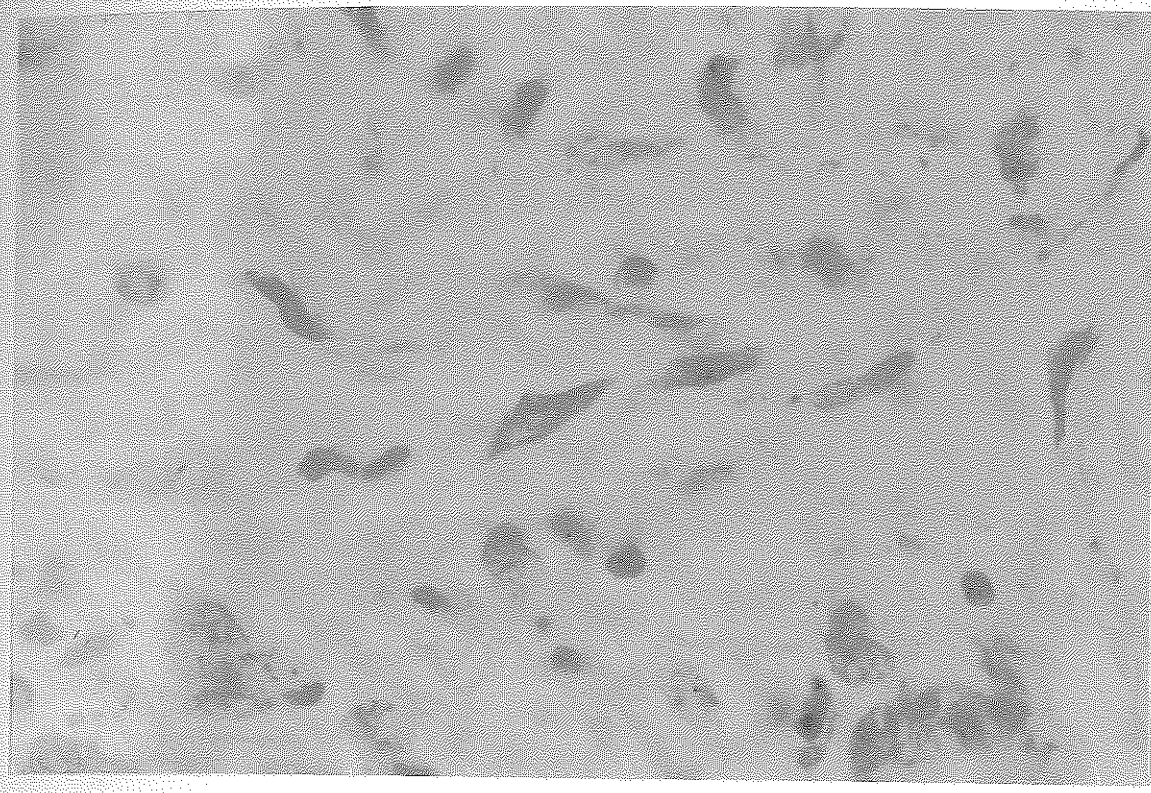
Y= Kesitte yok



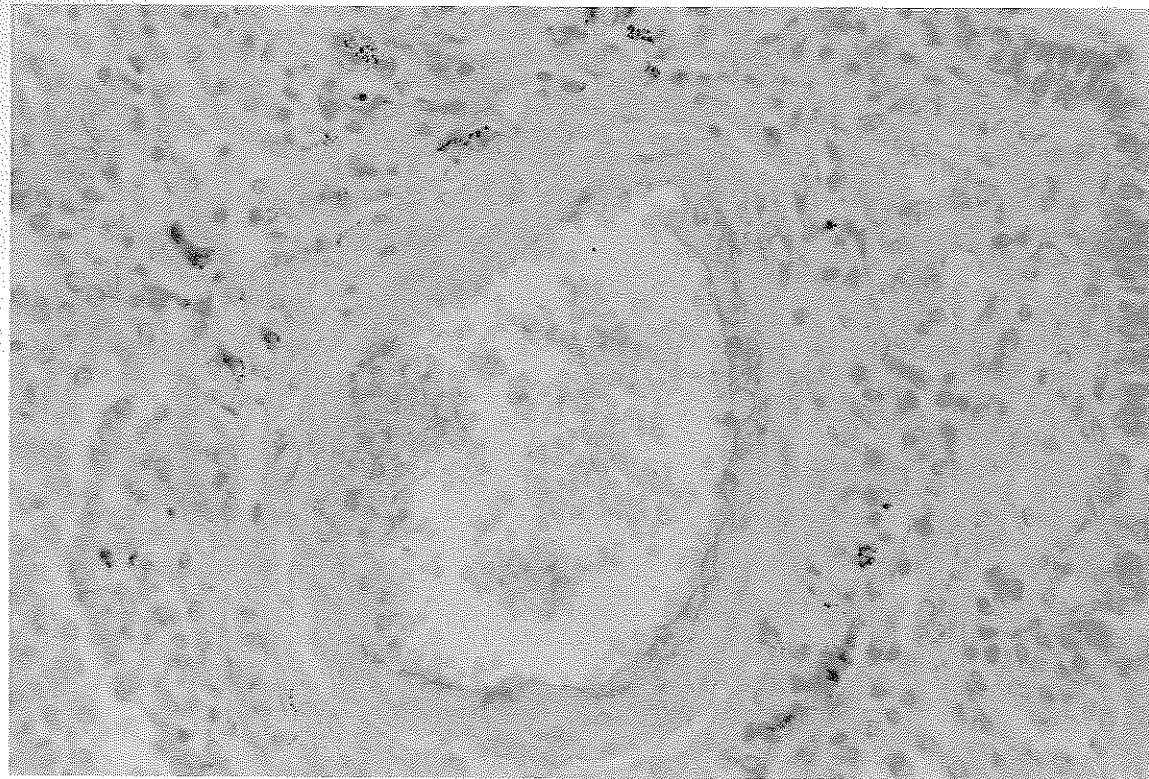
Resim 4: Granülomlar çevresinde fibronektin immünoreaktivitesi (Fibronektin X4)



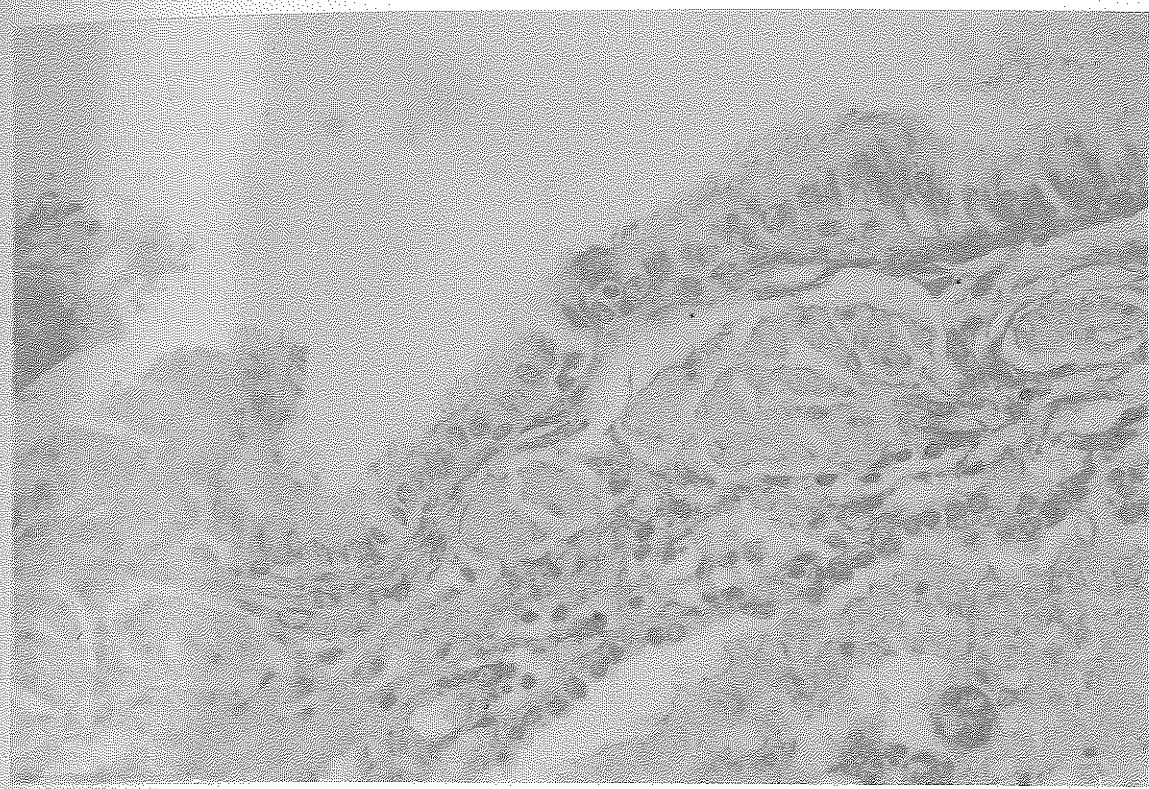
Resim 5: Dev hücreler ve epiteloid histiyositlerde fibronektin immünoreaktivitesi (Fibronektin X20).



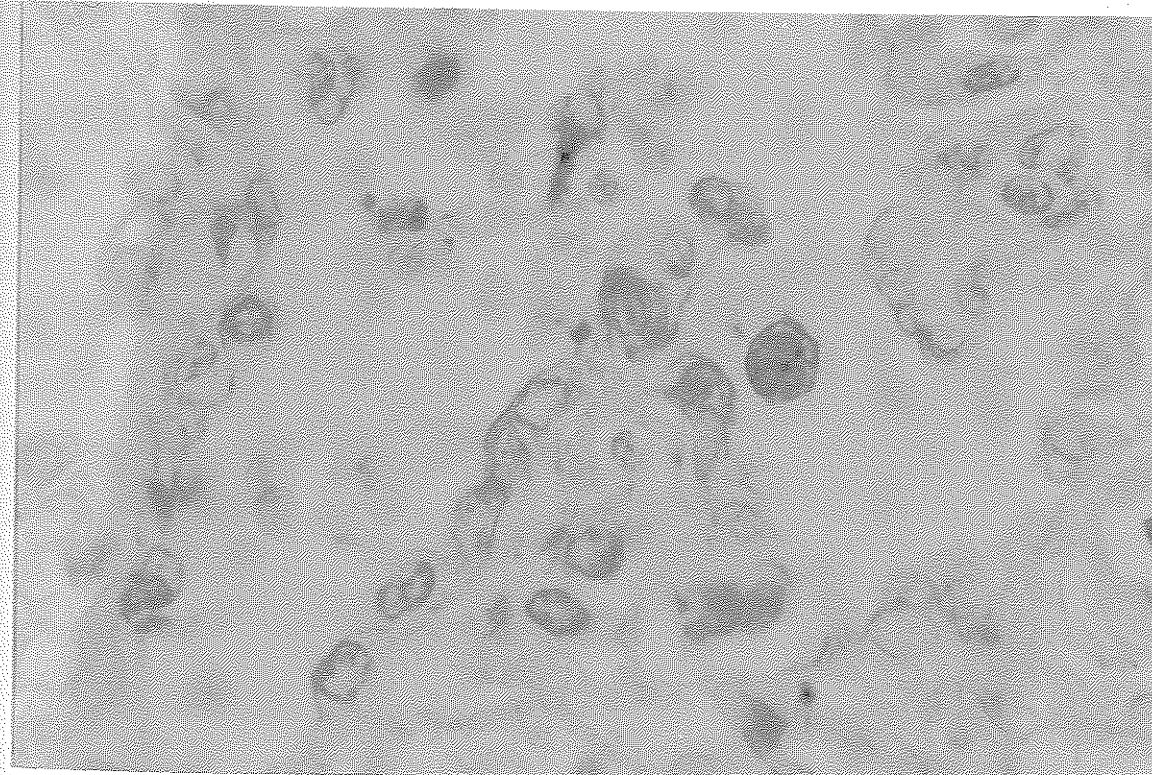
Resim 6: Granülomlar çevresindeki fibroblastlarda fibronektin immünoreaktivitesi (FibronektinX100).



Resim 7: Damar duvarında fibronektin pozitifliği (FibronektinX40).



Resim 8: Bronşiol bazal membranında fibronektin pozitifliği (FibronektinX40).



Resim 9: Alveol epiteli ve alveoler makrofajlarda fibronektin immünoreaktivitesi (FibronektinX100).

Laminin;

Granülom çevresinde, laminin pozitifliği, olguların çoğunda hafif yoğunlukta ($n = 19$) izlenirken; önemli bir kısmında pozitif reaksiyon saptanmadı ($n = 18$). Laminin için yoğun boyanma hiçbir olguda görülmeli. 6 olguda ise orta şiddette reaksiyon görüldü (Resim 10).

Granülom içinde ise, olguların büyük çoğunuğunda laminin ekspresyonu izlenmedi ($n = 35$). Reaksiyon izlenen olgularda, ekspresyon şiddetinin hafif veya orta şiddette olduğu görüldü ($n = 8$).

Laminin için epiteloid histiyositler ve dev hücrelerde birkaç olgu dışında boyanma saptanmadı.

Fibroblastlarda, laminin ekspresyonu bazı olgularda, hafif ve orta şiddette saptandı ($n = 17$).

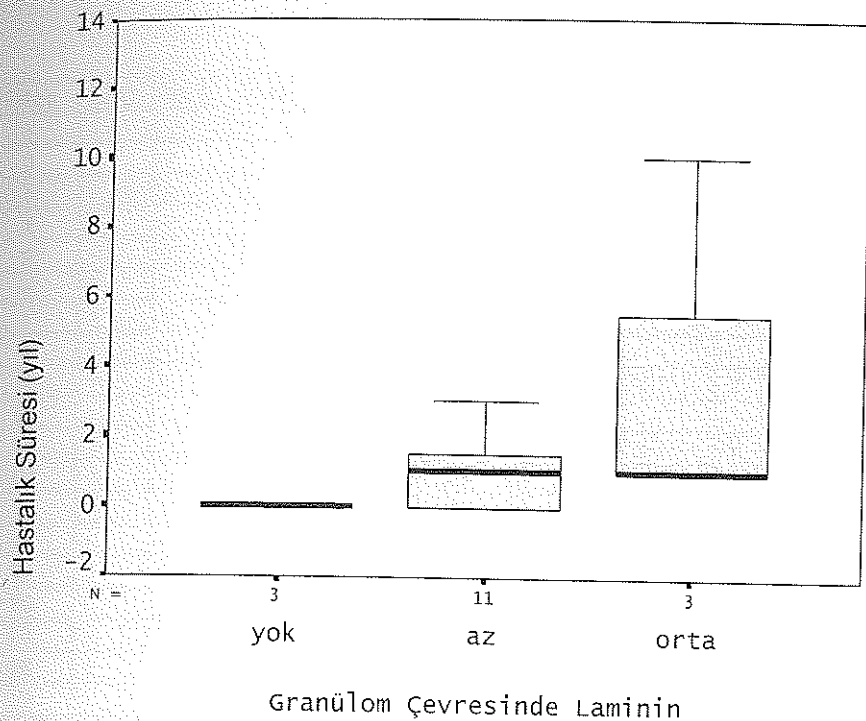
Damarlar için, tüm olgularda, orta ($n = 26$) ve şiddetli ($n = 17$) yoğunlukta boyanma görüldü (Resim 10).

Bronşiol epitelinde, birkaç olguda hafif ve orta derecede laminin ekspresyonu bulunurken bronşiol basal membranında olguların bir kısmında hafif yoğunlukta pozitiflik saptandı.

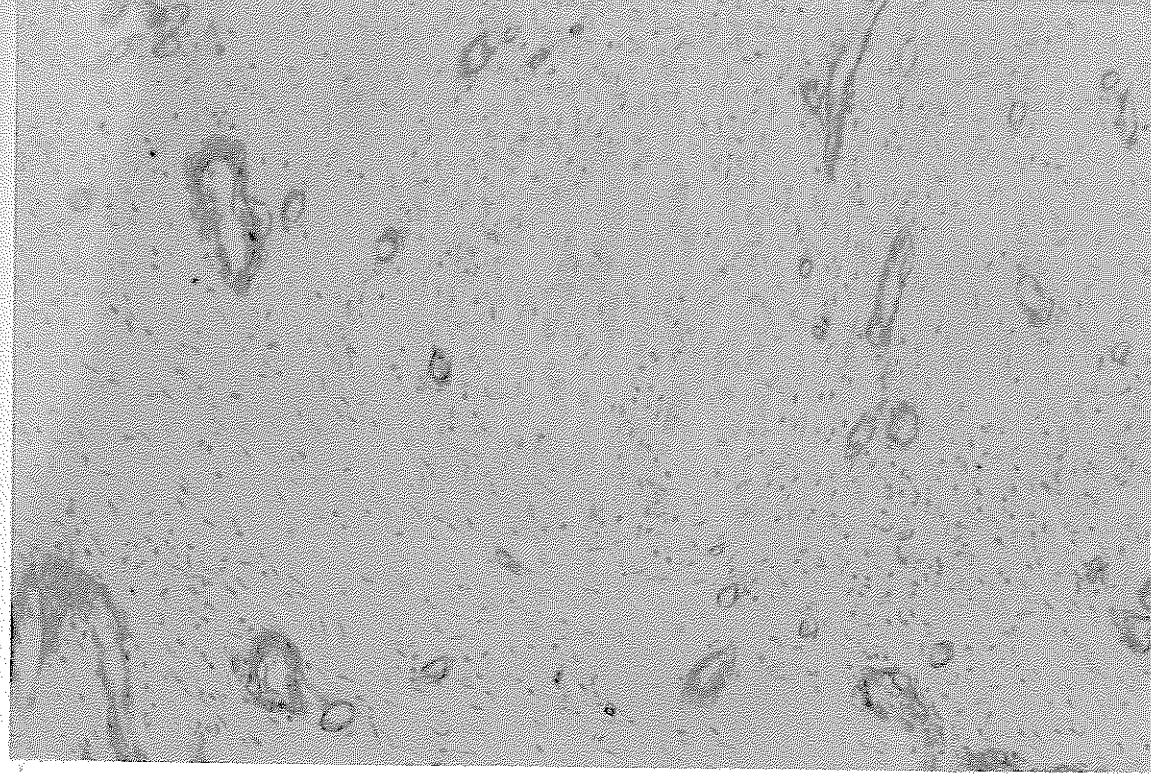
Alveol epiteli ve alveoler makrofajlarda, olguların çoğunda boyanma görülmeli.

Boyanma özelliklerine ait bulgular Tablo 4'de gösterilmiştir.

Istatistiksel olarak, laminin ekspresyonu ile tedaviye verilen yanıt arasında herhangi bir anlamlı ilişki saptanmadı. Buna karşın hastalık süreleri ile granülomların çevresindeki ve içindeki laminin ekspresyonları arasında pozitif bir korelasyon olduğu belirlendi ($p = 0.029$ ve $p = 0.030$) (Şekil 4).



Şekil 4: Hastalık süresine göre granüлом çevresinde laminin boyanma şiddeti. Her bir kutu % 25- 75 arasını, Kutuların ortasındaki kalın çizgi ortancayı, İnce yatay çizgiler maksimum değeri temsil etmektedir.



Resim 10: Granüлом kenarındaki matrikste hafif, damarlarda yoğun laminin immünoreaktivitesi (LamininX20).

Olgı	G.C.	G.İ.	D.H.	E.H.	Fib.	Len.	Dm.	B.E.	B.B.M.	A.E.	A.M.
1	-	-	-	-	-	-	++	-	+	-	-
2	-	-	Y	Y	-	-	+++	-	-	-	-
3	-	-	-	-	-	-	++	-	-	-	-
4	+	-	-	-	-	-	++	Y	Y	-	-
5	-	-	Y	Y	+	-	++	Y	Y	-	-
6	+	+	-	-	-	-	++	Y	Y	-	-
7	+	-	-	-	+	-	++	Y	Y	-	-
8	-	-	-	-	-	-	++	-	-	-	-
9	+	-	-	-	-	-	+++	Y	Y	-	-
10	-	-	-	-	-	-	++	-	-	-	-
11	++	-	-	++	++	-	++	Y	Y	-	-
12	+	-	-	-	++	-	+++	-	+	+	+
13	-	-	-	-	-	-	++	-	-	-	-
14	-	-	-	-	-	-	++	-	-	-	-
15	+	-	-	-	-	-	+++	-	-	-	-
16	-	-	-	-	-	-	++	-	+	-	-
17	+	-	-	-	-	-	+++	Y	Y	-	-
18	+	-	-	-	-	-	+++	-	+	-	-
19	-	-	-	-	-	-	++	Y	Y	-	-
20	+	-	-	-	-	-	++	+	-	-	++
21	-	-	-	-	-	-	++	Y	Y	-	-
22	+	+	Y	Y	-	-	++	Y	Y	-	-
23	+	-	-	-	-	-	++	-	-	-	-
24	-	-	-	-	++	-	++	Y	Y	-	-
25	+	+	-	-	-	-	+++	+++	+	+	+++
26	+	-	++	+	++	-	++	++	+	-	+
27	-	-	-	-	+	-	++	Y	Y	-	+
28	-	-	-	-	-	-	++	Y	Y	-	-
29	+	-	-	-	++	-	+++	-	+	-	-
30	+	-	-	-	+	-	+++	-	+	-	-
31	++	+	-	-	+	-	+++	Y	Y	Y	Y
32	++	++	-	-	++	-	+++	Y	Y	-	-
33	++	+	-	-	++	-	+++	-	-	-	-
34	+	-	-	-	++	-	+++	+	-	-	-
35	-	-	-	-	-	-	+++	++	+	+	+++
36	-	-	-	-	-	-	++	-	-	-	-
37	+	-	-	-	+	-	+++	Y	Y	-	-
38	-	-	Y	Y	-	-	++	Y	Y	-	-
39	++	++	-	-	+	-	+++	Y	Y	-	-
40	+	-	-	-	-	-	++	-	-	-	-
41	+	-	-	-	+	-	++	Y	Y	-	-
41	-	-	-	-	-	-	++	-	+	-	-
43	++	+	-	-	++	-	+++	Y	Y	-	-

Tablo 4: Olgularda izlenen laminin ekspresyon yoğunluğu.

Tip 4 Kollajen;

Granülomlar çevresinde, olguların çoğunda hafif ($n = 15$) ve orta ($n = 21$) şiddette pozitif reaksiyon izlendi (Resim 11).

Granülomlar içinde, kollajen 4 için çoğu olguda hafif ($n = 20$) ve orta ($n = 5$) yoğunlukta pozitiflik izlenirken, bir grup olguda kollajen 4 ekspresyonu görülmedi ($n = 17$). Şiddetli derecede reaksiyon ise 1 olguda saptandı.

Epiteloid histiyositler ve Langhans tipi dev hücrelerde olguların hiçbirinde kollajen 4 pozitifliği saptanmadı.

Granüloom çevresindeki fibroblast görünümündeki hücrelerde, olguların önemli bir kısmında hafif ($n = 11$) ve orta ($n = 13$) yoğunlukta pozitif reaksiyon görüldü (Resim 12).

Damarlardaki kollajen 4 ekspresyonu, doku kesitlerindeki hemen hemen tüm damarlarda orta ($n = 16$) ve yoğun ($n = 27$) derecelerde izlendi (Resim 13).

Bronşiol epiteli, alveol epiteli ve alveoler makrofajlarda, birkaç olgudaki hafif derecede pozitif reaksiyon dışında, olguların çoğunda reaksiyon görülmedi.

Bronşiol bazal membranında bir grup olguda hafif ve orta derecede pozitiflik saptandı ($n = 13$) (Resim 14).

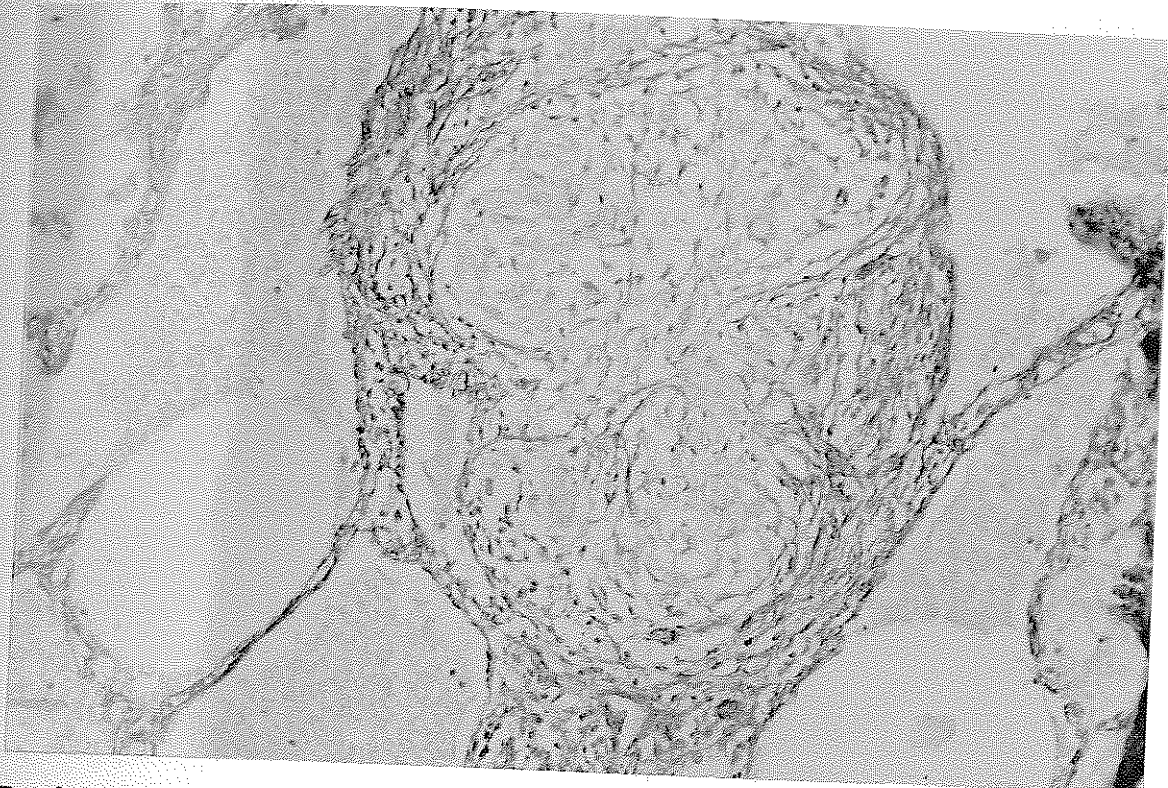
Boyanma özelliklerine ait bulgular Tablo 5'de gösterilmiştir.

İstatistiksel olarak, hastalık süresi ve tedaviye verilen yanıt ile kollajen 4 ekspresyonu arasında anlamlı bir ilişki izlenmedi.

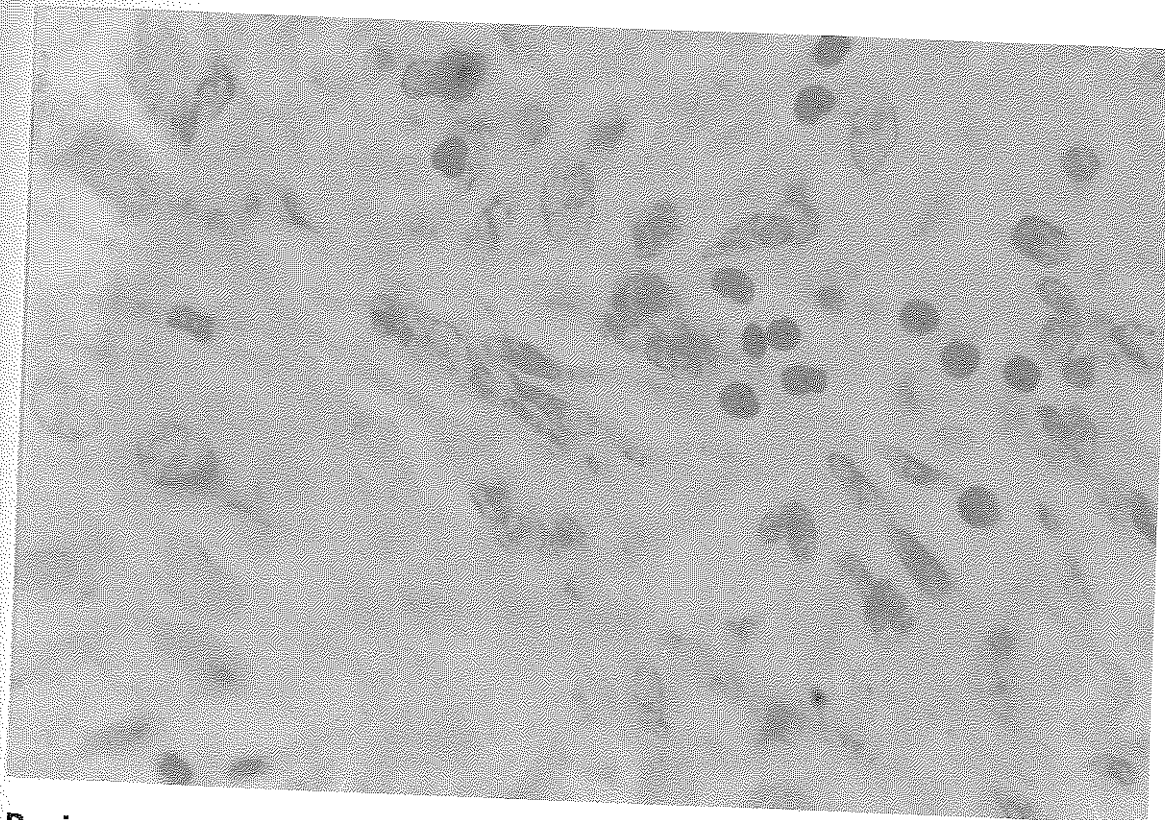
Kollajen 4'ün bronşiyol epitelindeki ekspresyon şiddeti hafif derecede ve az sayıda olguda pozitif olarak saptandı.

Olgu	G.C.	G. İ.	D.H.	E.H.	Fib.	Len.	Dm.	B.E.	B.B.M.	A.E.	A.M.
1	+	+	-	-	-	-	+++	-	++	-	-
2	++	-	Y	Y	++	-	+++	-	Y	-	-
3	-	-	-	-	-	-	++	-	-	-	-
4	+	-	-	-	Y	-	++	Y	Y	-	-
5	+++	-	Y	Y	++	-	+++	Y	Y	++	-
6	++	+	-	-	++	-	+++	Y	Y	+	+
7	++	++	-	-	++	-	++	Y	Y	-	-
8	+++	++	-	-	+++	-	+++	Y	Y	+	+
9	++	+	-	-	+	-	+++	Y	Y	-	-
10	++	+	-	-	+	-	++	-	++	-	-
11	-	-	-	-	-	-	++	Y	Y	++	-
12	+	-	-	-	+	-	+++	Y	Y	+	-
13	-	-	-	-	-	-	+++	-	Y	Y	-
14	+	-	-	-	-	-	++	-	Y	Y	-
15	++	++	-	-	-	-	+++	-	++	-	-
16	++	+	-	+	++	-	+++	-	++	-	-
17	++	+	-	-	-	-	++	-	++	-	+
18	+	-	-	-	+	-	+++	-	Y	+	+
19	++	+	-	-	+	-	++	-	+	-	-
20	+	-	-	-	Y	-	+++	-	Y	-	-
21	+	-	-	-	Y	-	+++	+	++	+	+
22	++	+	Y	-	++	-	++	Y	Y	-	-
23	++	++	-	-	++	-	++	Y	Y	-	-
24	+	-	-	-	Y	-	++	Y	Y	-	-
25	-	-	-	-	-	-	++	-	-	-	-
26	++	+	-	-	-	-	+++	-	Y	Y	-
27	++	+	-	-	-	-	+++	Y	Y	-	-
28	+	-	-	-	+	-	+++	Y	Y	-	-
29	++	-	-	-	++	-	+++	-	++	-	-
30	++	+	-	-	++	-	+++	-	++	-	-
31	++	+	-	-	++	-	+++	Y	Y	Y	Y
32	++	+	-	-	++	-	+++	Y	Y	-	-
33	++	+	-	-	+	-	+++	-	++	-	-
34	+	++	-	-	++	-	+++	-	+	-	-
35	+	+	-	-	Y	-	++	+	+	-	-
36	+	+	-	-	Y	-	+++	-	+	-	-
37	+	-	-	-	+	-	+++	-	++	-	-
38	++	+	-	-	+	-	++	Y	Y	-	-
39	++	-	-	-	++	-	+++	Y	Y	Y	Y
40	+	+	-	-	Y	-	++	-	++	-	-
41	+	+	-	-	+	-	++	Y	Y	-	-
42	++	+	-	-	+	-	+++	Y	Y	-	-
43	+++	+++	-	-	-	-	+++	Y	Y	-	-

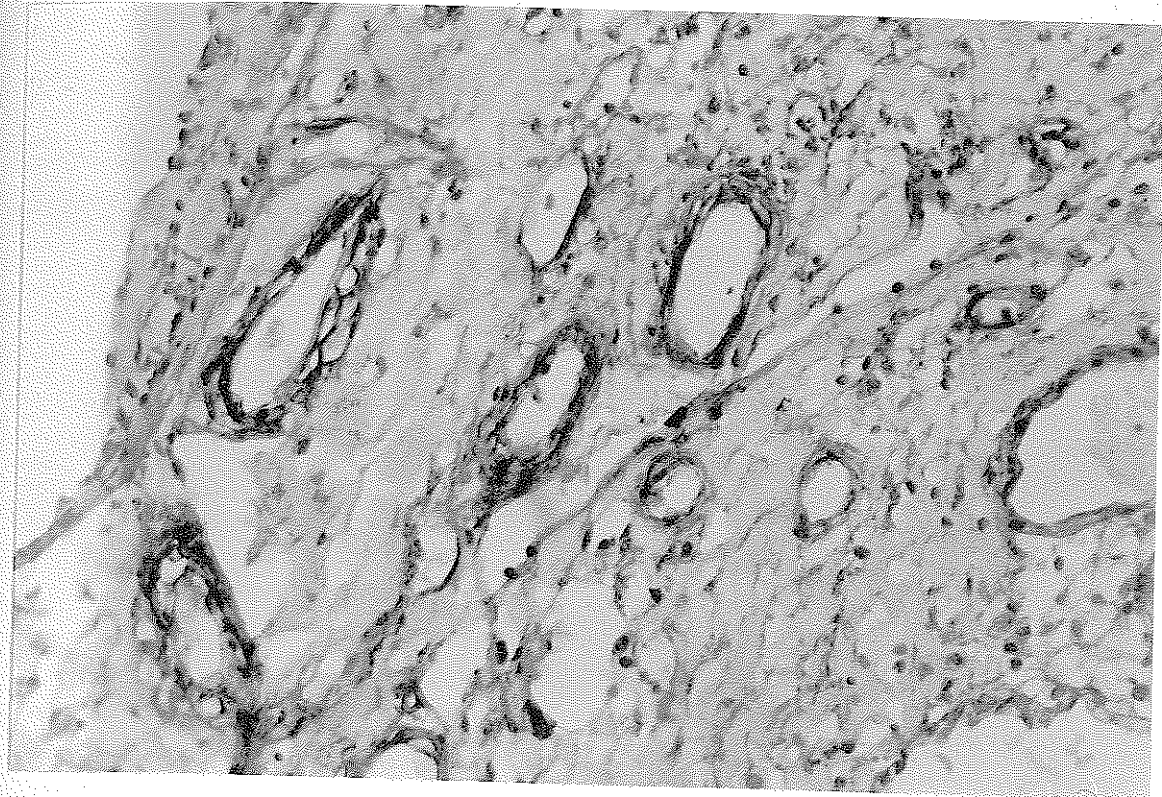
Tablo 5: Olgularda izlenen kollajen 4 ekspresyon yoğunluğu.



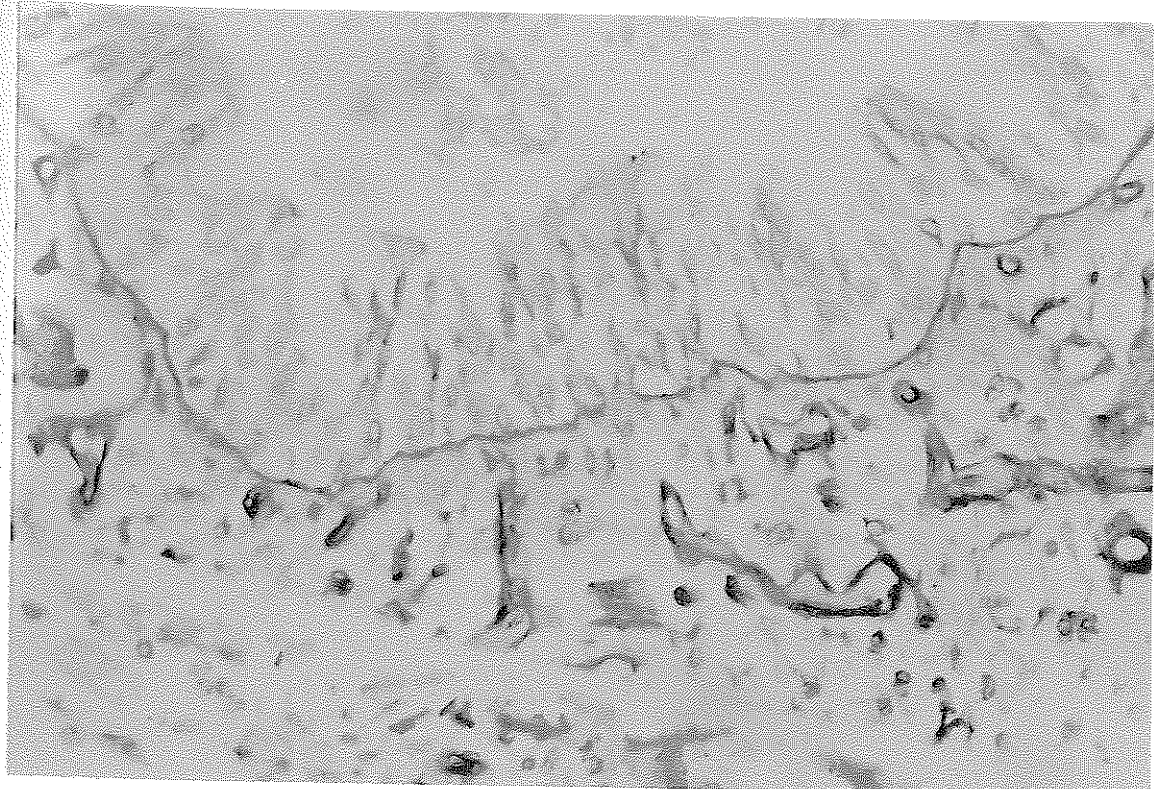
Resim 11: Granüлом çevresinde ve içinde kollajen 4 immünoreaktivitesi (Kollajen4X20).



Resim 12: Granülomlar çevresindeki fibroblastlarda kollajen 4 immünoreaktivitesi (Kollajen 4x100).



Resim 13 :Damar duvarlarında kollajen 4 pozitifliği (Kollajen 4X40).



Resim 14: Bronşiol basal membranında kollajen 4 pozitifliği (Kollajen4X40).

Tip 1 Kollajen;

Granülomlar çevresinde kollajen 1 pozitifliği, tüm olgularda izlenirken reaksiyon şiddetinin, olguların çoğunuğunda orta ($n = 16$) ve şiddetli ($n = 21$) yoğunlukta olduğu belirlendi (Resim 15).

Granülomların içinde ise, yoğunluk şiddeti çoğu olguda hafif ($n = 19$) ve orta ($n = 15$) derecede saptandı.

Kollajen 1 pozitifliği, epiteloid histiyositlerde bir grup olguda hafif ($n = 6$) ve orta ($n = 1$) yoğunlukta izlenirken; dev hücrelerde de benzer şekilde hafif ($n = 6$) ve orta ($n = 1$) derecede saptandı.

Granülomlar çevresindeki fibroblastlarda, çoğu olguda orta ($n = 20$), bazlarında ise hafif ($n = 5$) ve şiddetli ($n = 6$) derecelerde pozitiflik belirlendi (Resim 16).

Kollajen 1 ekspresyonu, damarlarda olguların büyük çoğunuğunda, orta ($n = 20$) ve şiddetli ($n = 21$) yoğunlukta olmak üzere tüm damarlarda saptandı (Resim 17).

Kollajen 1, bronşiol epitelinde, birkaç olguda değişken boyanma şiddetlerinde izlendi. Aynı şekilde bronşiol basal membranlarında da bir grup olguda farklı ekspresyon derecelerinde saptandı.

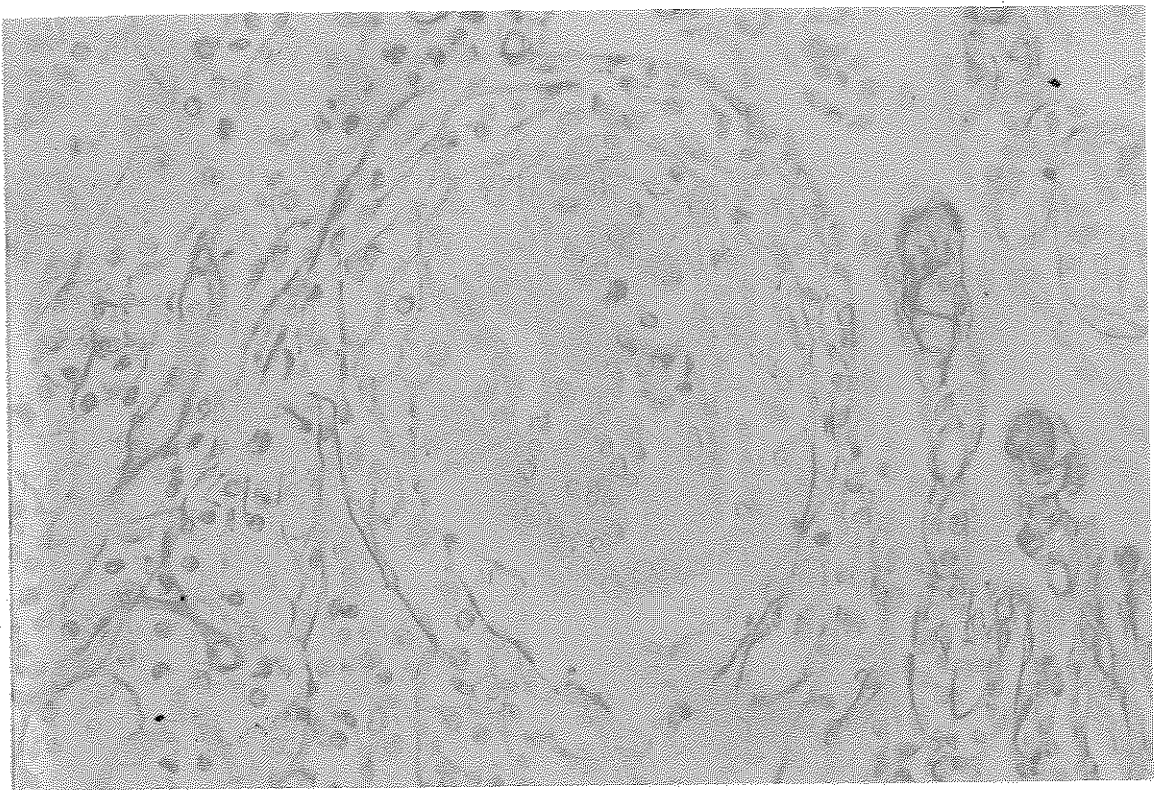
Kollajen 1 için, alveol epitelinde ve alveoler makrofajlarda birkaç olgudaki hafif ve orta dereceli boyanma dışında pozitiflik saptanmadı.

Boyanma özelliklerine ait bulgular Tablo 6'da gösterilmiştir.

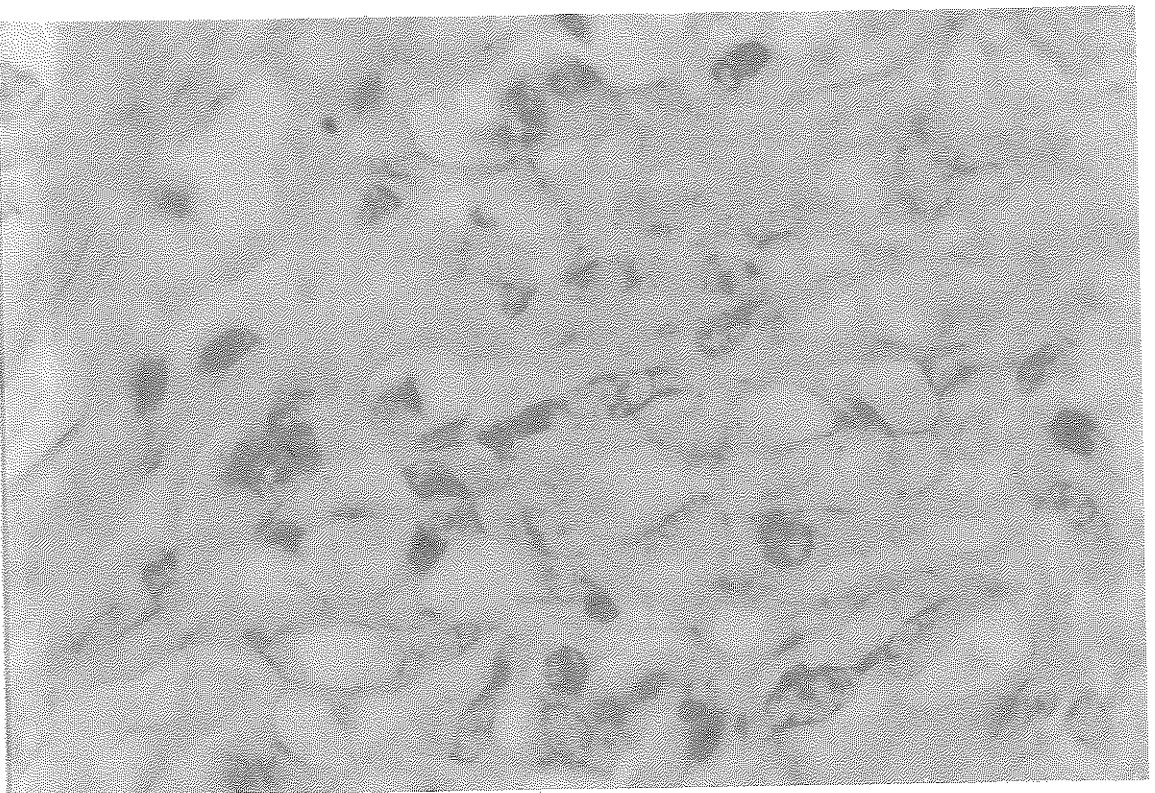
İstatistiksel olarak, hastalık süreleri ve tedaviye verilen yanıtlar ile kollajan 1 ekspresyonları arasında herhangi bir anlamlı ilişki bulunmadı.

Olgu	G.C.	G. İ.	D.H.	E.H.	Fib.	Len.	Dm.	B.E.	B.B.M.	A.E.	A.M.
1	++	+	-	-	Y	-	+++	-	++	+	-
2	+++	++	Y	Y	++	-	+++	+	++	-	-
3	++	+	-	-	++	-	++	Y	Y	-	-
4	+	-	-	-	Y	-	++	Y	Y	-	-
5	+++	-	Y	Y	Y	-	+++	Y	Y	-	-
6	+++	++	+	+	+++	-	+++	Y	Y	+	+
7	++	+	-	-	++	-	+++	Y	Y	-	-
8	+++	++	-	-	++	-	+++	Y	Y	-	-
9	++	+	-	-	++	-	++	Y	Y	-	-
10	++	+	-	-	+	-	++	-	Y	-	-
11	+	-	-	-	+	-	++	Y	Y	++	+
12	++	+	-	-	+	-	++	Y	Y	-	-
13	++	+	-	-	+	-	++	Y	Y	-	-
14	++	+	-	-	++	-	++	-	+	-	-
15	+++	+++	-	-	++	-	+++	-	+	-	-
16	+++	++	-	-	++	-	+++	-	Y	-	--
17	+++	+	-	-	++	-	++	-	Y	-	-
18	++	+	-	-	++	-	++	+++	+	+	++
19	++	+	+	+	Y	-	++	Y	Y	-	+
20	+++	++	-	-	Y	-	++	+	++	-	+
21	+	-	-	-	Y	-	++	+	++	-	-
22	+++	++	Y	Y	+++	-	++	Y	Y	-	-
23	+++	+++	-	-	++	-	+++	-	++	-	-
24	++	++	-	-	Y	-	+++	Y	Y	-	-
25	++	+	+	++	++	-	++	+	-	++	+++
26	+++	++	-	-	++	-	+++	-	Y	-	-
27	+++	++	-	-	++	-	+++	Y	Y	-	-
28	+	-	-	-	++	-	++	-	Y	-	-
29	+++	+	-	-	++	-	++	-	++	-	-
30	+++	++	+	+	+++	-	+++	++	+++	++	++
31	+++	++	++	+	+++	-	++	Y	Y	Y	Y
32	+++	++	-	-	+++	-	++	Y	Y	+	+
33	++	+	+	+	++	-	+++	+	+	+	++
34	++	+	+	+	+	-	+++	-	-	-	-
35	+	+	-	-	Y	-	+++	+++	+++	-	-
36	++	+	-	-	Y	-	++	-	-	-	-
37	+++	++	-	-	++	-	+++	-	Y	-	-
38	+++	++	-	-	Y	-	++	Y	Y	Y	Y
39	+++	+++	-	-	+++	-	+++	Y	Y	-	-
40	+	+	-	-	Y	-	+	-	-	-	-
41	++	+	-	-	Y	-	+++	Y	Y	-	-
42	+++	++	-	-	++	-	+++	Y	Y	-	-
43	+++	+++	-	-	++	-	+++	Y	Y	-	-

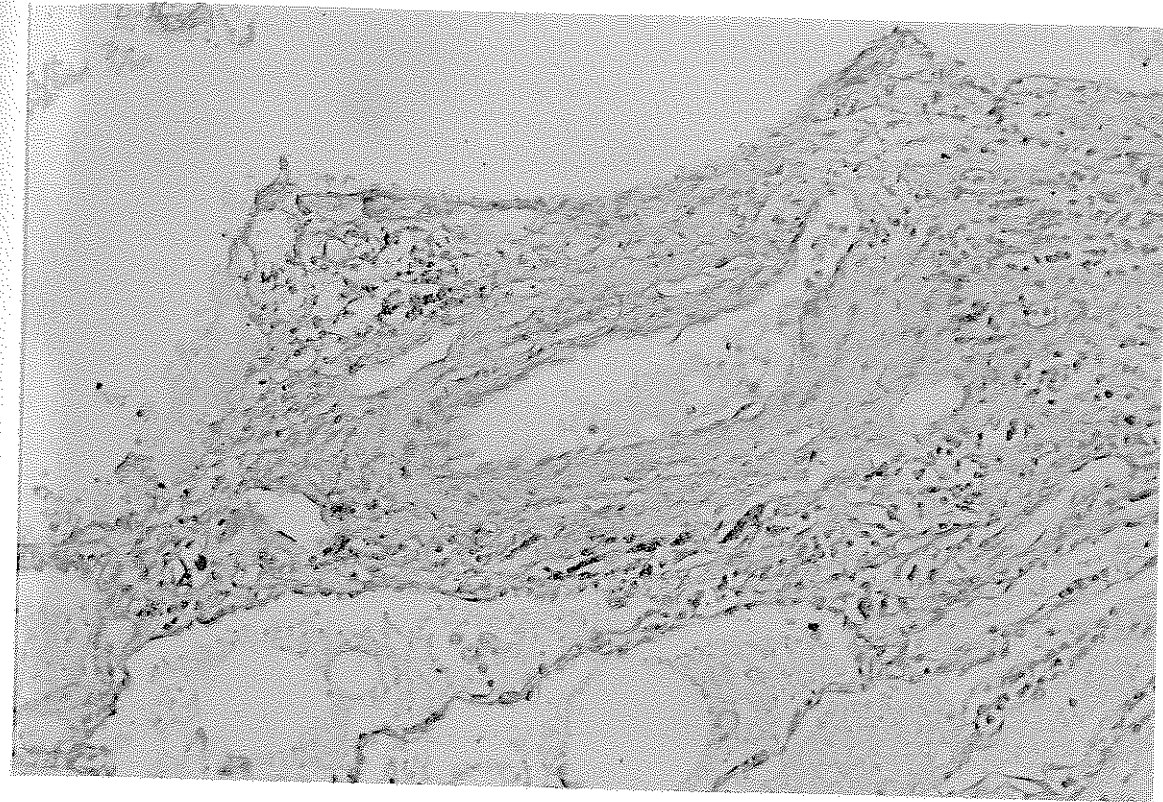
Tablo 6: Olgularda izlenen kollajen 1 ekspresyon yoğunluğu.



Resim 15 :Granüлом yapısında kollajen 1 immünoreaktivitesi (Kollajen1X20).



Resim 16: Granüлом çevresindeki fibroblastlarda kollajen 1 immünoreaktivitesi (Kollajen1X100).



Resim 17: Damar duvarında kollajen 1 pozitifliği (Kollajen1X20).

TGF-beta 1;

Granülomlar çevresindeki matrikste, birkaç olgudaki hafif ve orta yoğunluktaki pozitiflik ($n = 9$) dışında TGF-beta 1 ekspresyonu görülmeli.

Granülomlar içinde, az sayıda olguda TGF-beta 1 pozitifliği hafif ve orta şiddette ($n = 5$) izlendi.

Epiteloid histiyositlerde, bir grup olguda hafif ($n = 16$) ve orta ($n = 13$) şiddette TGF-beta 1 pozitifliği izlenirken; dev hücrelerde de aynı şekilde hafif ($n = 13$) ve orta ($n = 13$) yoğunlukta pozitif reaksiyon görüldü (Resim 18).

Granülomlar çevresindeki fibroblastlarda, bazı olgularda, hafif ($n = 12$) ve orta ($n = 8$) yoğunlukta pozitif reaksiyon saptandı (Resim 19).

Damar endotel hücrelerinde, TGF-beta 1 ekspresyonu bir grup olguda hafif ($n = 14$) ve birkaç olguda orta ($n = 7$) derecede izlenirken diğerlerinde görülmeli.

Bronşiyol epitelinde, bir grup olguda hafif ($n = 5$) ve orta ($n = 12$) şiddette pozitiflik saptanırken; bronşiol bazal membranında hiçbir olguda reaksiyon görülmeli (Resim 20).

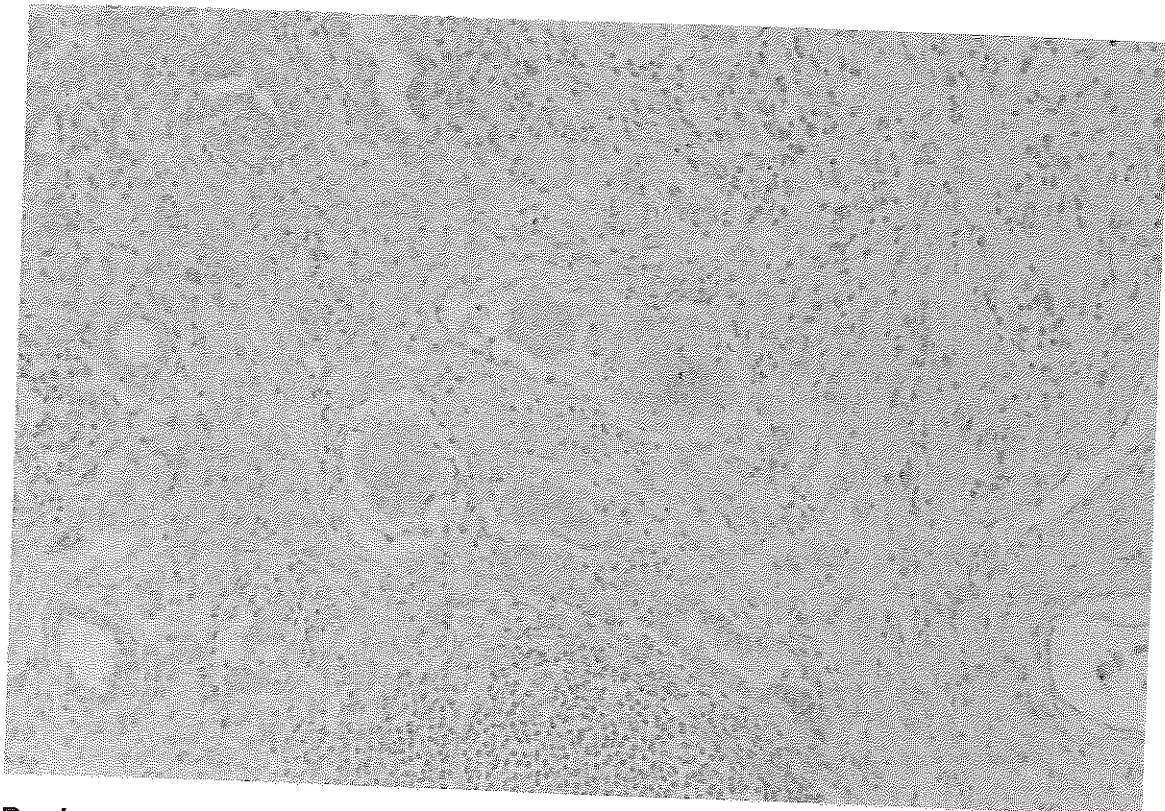
TGF-beta 1 pozitifliği, alveol epitelinde, bir grup olguda hafif ($n = 12$) ve orta ($n = 13$) şiddette izlendi (Resim 21).

Alveoler makrofajlarda, olguların çoğunda hafif ($n = 5$), orta ($n = 22$) ve şiddetli ($n = 5$) derecelerde TGF-beta 1 ekspresyonu saptandı (Resim 22).

Boyanma özelliklerine ait bulgular Tablo 7'de gösterilmiştir.

Olgu	G.C.	G. İ.	D.H.	E.H.	Fib.	Len.	Dm.	B.E.	B.B.M.	A.E.	A.M.
1	-	-	-	-	-	-	-	-	-	++	++
2	-	-	Y	Y	-	-	++	-	-	-	+
3	-	-	-	-	-	-	-	-	-	-	-
4	+	-	++	+	+	-	-	-	-	++	++
5	-	-	Y	Y	-	-	-	Y	Y	-	-
6	+	-	++	++	++	-	++	Y	Y	++	+++
7	-	-	+	+	-	-	-	Y	Y	+	+
8	++	++	+	++	++	-	++	-	-	+	++
9	-	-	++	++	+	-	+	Y	Y	++	++
10	-	-	+	+	-	-	-	+	-	-	+
11	-	-	+	+	+	-	+	++	-	++	++
12	-	-	++	++	+	-	+	+	-	+	++
13	-	-	-	-	-	-	-	-	-	-	-
14	-	-	++	+	-	-	+	+	-	+	++
15	-	-	-	-	-	-	-	-	-	-	-
16	-	-	++	++	++	-	+	++	-	+	+++
17	-	-	++	++	+	-	+	-	-	++	++
18	-	-	-	+	+	-	-	-	-	-	+
19	-	-	+	+	-	-	-	Y	Y	++	++
20	-	-	-	+	-	-	-	++	-	++	++
21	-	-	-	-	-	-	-	-	-	-	-
22	++	-	++	++	+++	-	++	++	-	++	+++
23	++	++	+++	++	+++	-	++	++	-	+	++
24	-	-	-	-	-	-	-	-	-	-	-
25	-	-	+	+	-	-	-	++	-	+	+++
26	-	-	++	+	++	-	++	++	-	-	+++
27	-	-	+	+	+	-	+	Y	Y	++	++
28	-	-	-	-	-	-	-	Y	Y	-	-
29	-	-	-	+	+	+	+	++	-	++	++
30	-	-	+	+	-	-	+	-	-	+	++
31	-	-	++	++	+	+	+	Y	Y	Y	Y
32	+	+	+	+	+	-	+	Y	Y	+	++
33	-	-	+	+	-	-	+	-	+	+	++
34	-	-	+	-	-	+	-	++	-	-	+
35	-	-	-	-	-	-	-	++	-	++	++
36	-	-	++	++	-	++	-	++	-	-	-
37	-	-	++	++	++	-	++	++	-	-	++
38	+	+	-	-	++	-	-	Y	Y	Y	Y
39	+	-	-	+	+	-	+	Y	Y	-	-
40	-	-	-	-	-	-	+	+++	-	+	++
41	-	-	++	++	+	-	+	Y	Y	+	++
42	++	++	+	+	++	-	-	-	-	-	++
43	-	-	+	++	++	-	+	Y	Y	++	++

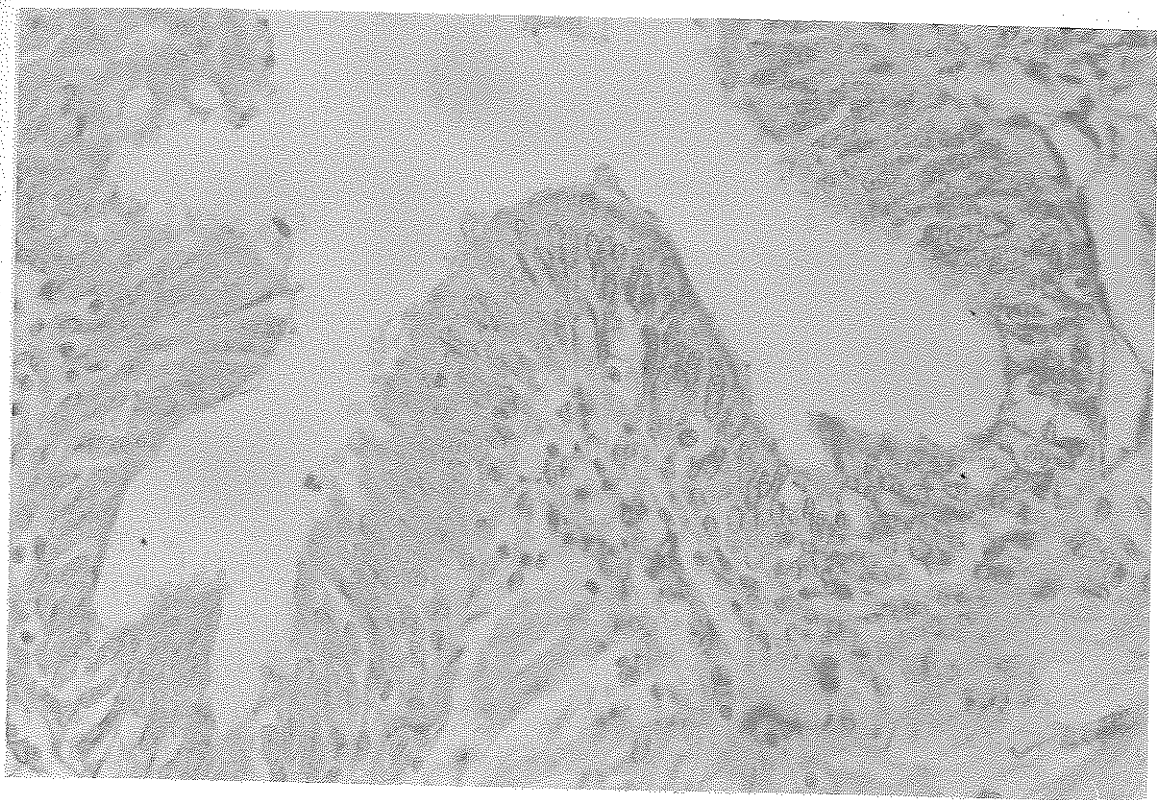
Tablo 7: Olgularda izlenen TGF-beta1 ekspresyon yoğunluğu



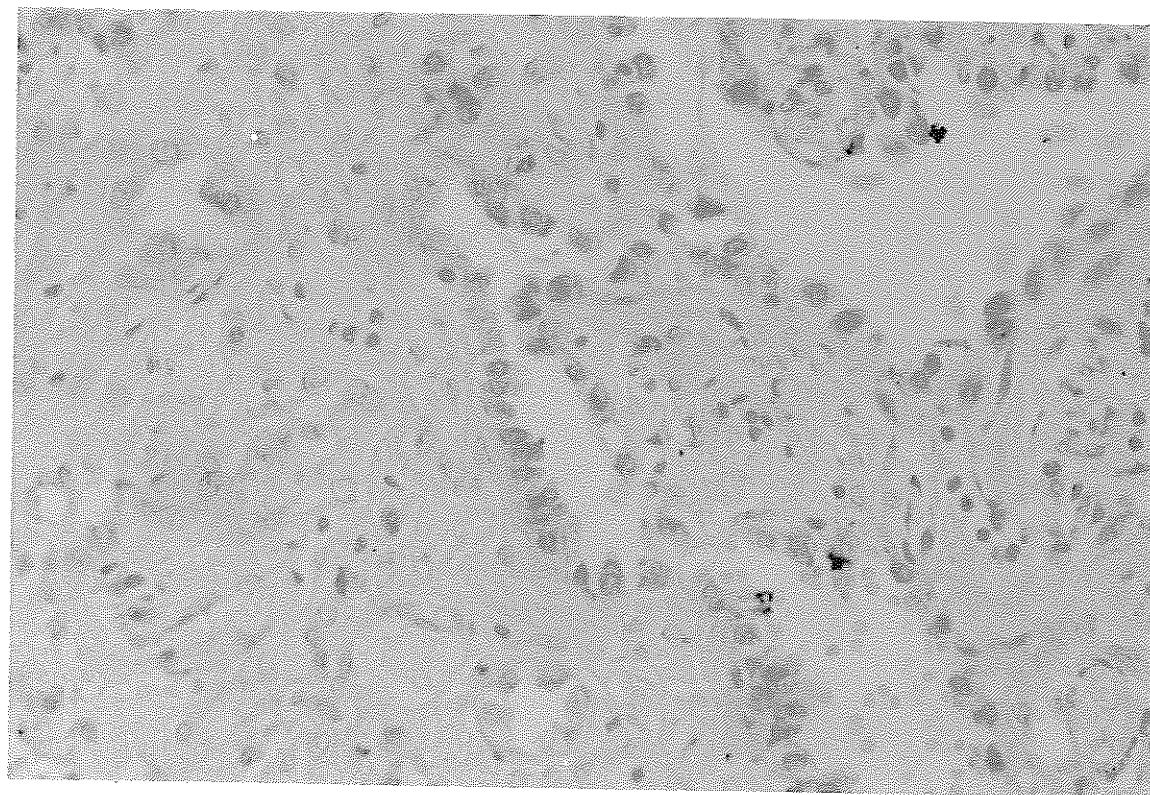
Resim 18 :Dev hücrelerde TGF-beta1 immünoreaktivitesi (TGF-beta1X20).



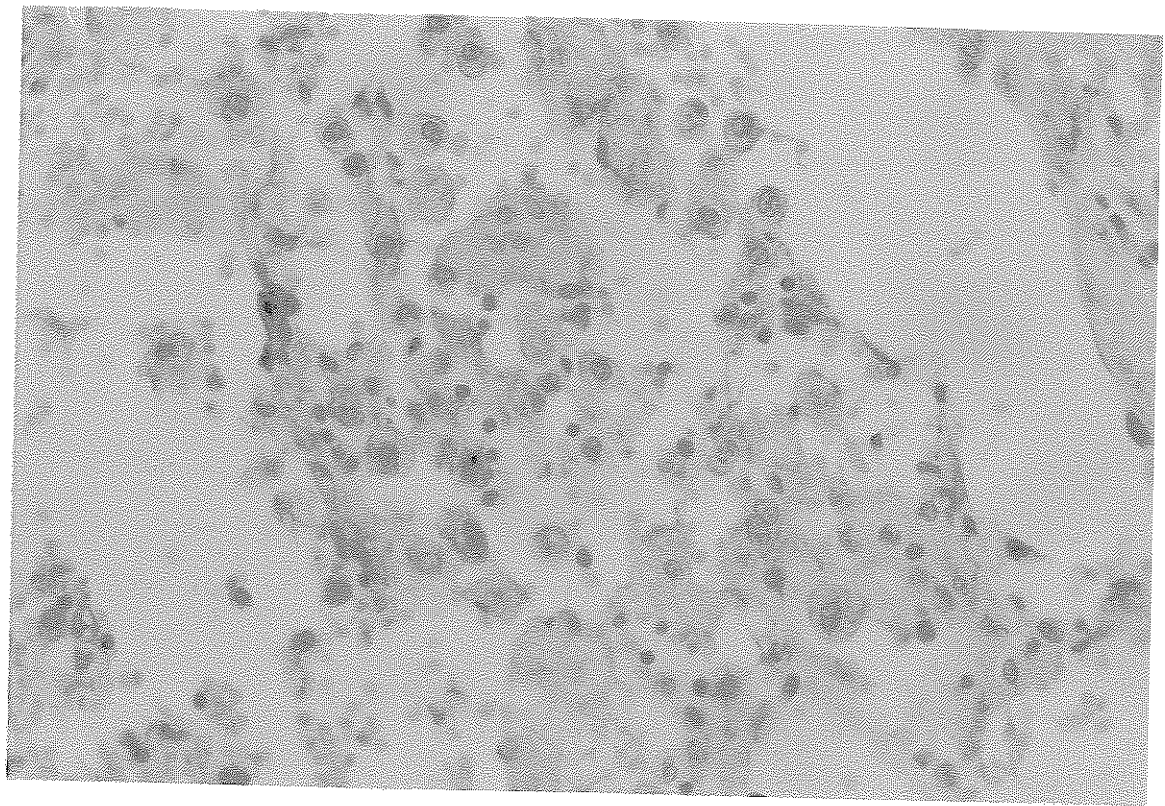
Resim 19:Granülom çevresindeki fibroblastlarda TGF-beta1 immünoreaktivitesi (TGF-beta1X100).



Resim 20 :Bronşiol epitelinde TGF-beta1 immünoreaktivitesi (TGF-beta1X40)

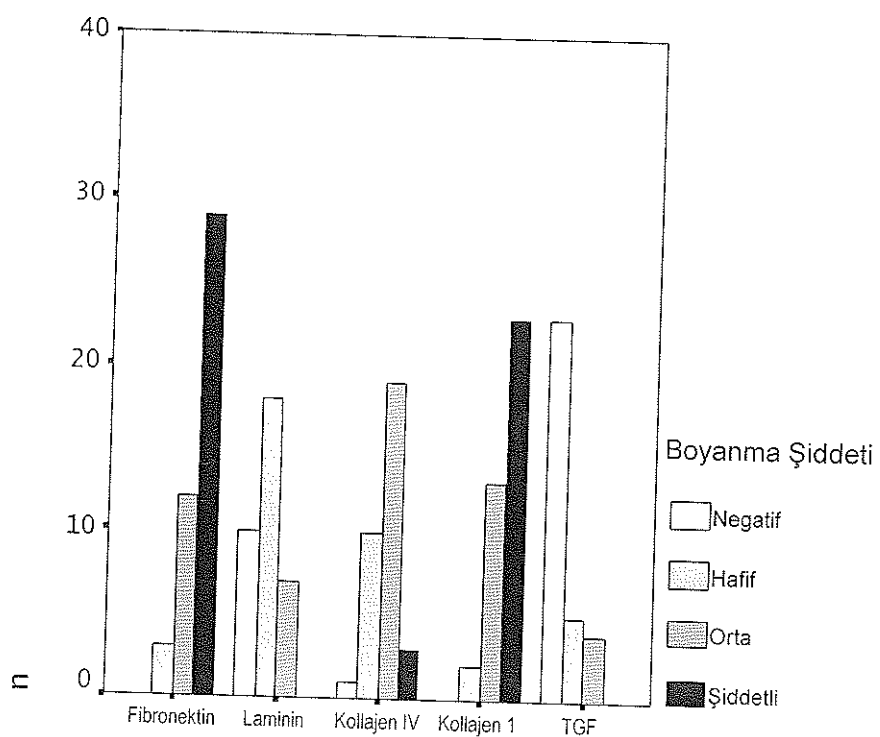


Resim 21: Alveol epitelinde TGF-beta1 pozitifliği (TGF-beta1X40).



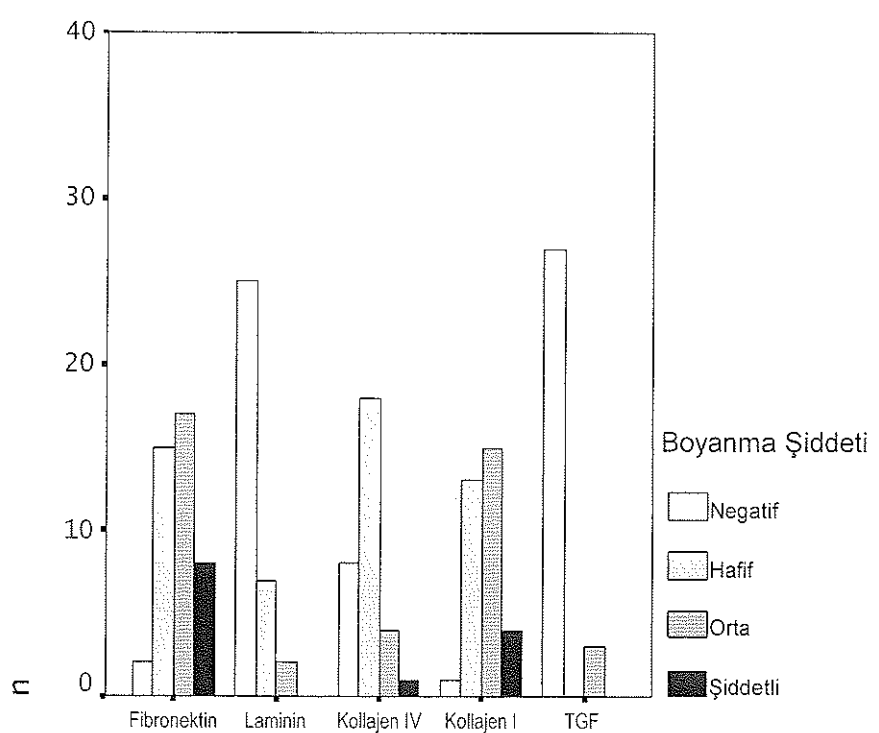
Resim 22 :Alveoler makrofajlarda TGF-beta1 pozitifliği (TGF-beta1X40).

İstatistiksel olarak, granülomlar çevresindeki ECM elementleri arasındaki ilişki incelendiğinde; granülomlar çevresindeki fibronektin ekspresyon yoğunluğu ile kollajen 4 ($p = 0.020$) ve kollajen 1 ekspresyon yoğunluğu ($p = 0.000$) arasında ve ayrıca kollajen 4 ile kollajen 1 yoğunlukları ($p = 0.001$) arasında pozitif bir korelasyon saptandı (Şekil 5).



Şekil 5: Granülomlar çevresindeki ECM elementlerinin yoğunluk dağılımı.

Granülomlar içindeki ECM elemanlarının birbirleriyle olan ilişkileri için, istatistiksel olarak; granülomlar içindeki fibronektin ekspresyon yoğunluğu ile granülomlar içindeki laminin ($p = 0.044$), kollajen 4 ($p = 0.025$) ve kollajen 1 yoğunlukları ($p = 0.004$) arasında pozitif bir korelasyon olduğu belirlendi. Ayrıca, granülomlar içindeki kollajen 4 ile kollajen 1 ekspresyon yoğunlukları da birbirleriyle korele bulundu ($p = 0.019$) (Şekil 6).



Şekil 6: Granülomlar içindeki ECM elemanlarının yoğunluk dağılımı

Granülomların çevresi ve iç kısmı arasında, ECM elemanlarının dağılımı açısından, her bir ECM elemanın kendisi ile, yani fibronektin ile fibronektin ($p = 0.000$), laminin ile laminin ($p = 0.000$), kollajen 1 ile kollajen 1 ($p = 0.000$) ve kollajen 4 ile kollajen 4 ($p = 0.002$) arasında pozitif korelasyon saptandı.

Fibroblastlardaki ECM elemanlarının ekspresyonu ile granülomlardaki ECM elemanlarının yoğunluğu arasındaki ilişki incelendiğinde; istatistiksel olarak, fibroblastlardaki fibronektin ile granülomlar çevresindeki ($p = 0.000$), granülomlar içindeki ($p = 0.002$) ve epiteloid histiyositlerdeki ($p = 0.000$) fibronektin ekspresyonu arasında pozitif bir korelasyon izlendi. Aynı şekilde, fibroblastlardaki laminin ekspresyonu ile granülomlar çevresindeki laminin yoğunluğu ($p = 0.000$); fibroblastlardaki kollajen 4 ile granülomlar çevresindeki kollajen 4 ekspresyonu ($p = 0.003$); fibroblastlardaki kollajen 1 ile granülomlar çevresindeki kollajen 1 ($p = 0.004$) ve granülomlar içindeki kollajen 1 ($p = 0.037$) ekspresyonları birbirleriyle korele bulundu.

Epiteloid hücrelerdeki fibronektin ekspresyonu ile granülomlar çevresindeki ve içindeki fibronektin ekspresyonları arasında da anlamlı bir korelasyon belirlendi ($p = 0.000$ ve $p = 0.001$).

Dev hücrelerdeki fibronektin ekspresyonu ile granülomlar çevresindeki ve içindeki fibronektin yoğunluğu birbiri ile korele bulundu.

Fibronektin için, dev hücreler ve epiteloid histiyositlerdeki ekspresyonları arasında da pozitif korelasyon saptandı ($p = 0.000$).

Alveol epitelindeki fibronektin ekspresyonu ile bronşiol epiteli ve alveoler makrofajlardaki fibronektin ekspresyonları da korele bulundu ($p = 0.019$ ve $p = 0.045$). Benzer şekilde bronşiol epiteli ile alveoler makrofajlardaki fibronektin ekspresyonları arasında da korelasyon izlendi ($p = 0.029$).

Bronşiol epitelindeki fibronektin ve kollajen 1 ekspresyonları da korele bulundu ($p = 0.033$).

Olguların hastalık süreleri ile granüloom yapılarının içerdiği ECM elemanlarının yoğunlukları arasında, istatistiksel olarak herhangi bir anlamlı ilişki saptanmadı.

Granünlardaki ECM elemanlarının yoğunluğu ile ilaç tedavisine verilen yanıt ta istatistiksel olarak ilişkisiz bulundu.

TGF-beta 1 ile granünlardaki ECM elemanları arasındaki ilişki incelendiğinde; granünlar çevresinde izlenen TGF-beta 1 ekspresyon yoğunluğu ile granünlar çevresindeki kollajen 1 ve granünların iç kismındaki kollajen 1 ekspresyonları arasında istatistiksel olarak paralel bir ilişki izlendi ($p = 0.010$ ve $p = 0.006$). Benzer şekilde, granünlar içindeki fibronektin yoğunluğu ile granünlar çevresi ve içindeki TGF-beta 1 ekspresyonları arasında pozitif bir korelasyon saptandı($p = 0.004$ ve $p = 0.005$).

Ayrıca granünlar içindeki kollajen 4 yoğunluğu ile granünlar içindeki TGF -beta 1 ekspresyonu da paralel bulundu ($p = 0.041$).

Granünlardaki laminin ile TGF-beta 1 ekspresyonları arasında herhangi bir istatistiksel anlamlılık izlenmedi.

Fibroblastlardaki TGF-beta 1 ekspresyon yoğunluğu ile granünlar çevresindeki ve içindeki fibronektin; fibroblastlardaki fibronektin ve granünlar içindeki kollajen 1 yoğunlukları da birbiri ile korele bulundu($p = 0.001$; $p = 0.001$; $p = 0.019$; $p = 0.010$).

Epiteloid hücrelerdeki TGF -beta 1 ekspresyonu ile ECM elemanlarının ekspresyonları arasındaki ilişki incelendiğinde; granünlar çevresindeki ve içindeki fibronektin; epithelial histiyositlerdeki fibronektin ve dev hücrelerdeki fibronektin ekspresyonları ile epithelial histiyositlerdeki TGF- beta 1 ekspresyonu arasında istatistiksel bir korelasyon saptandı($p = 0.027$; $p = 0.013$; $p = 0.014$; $p = 0.030$).

TGF-beta-1'in dev hücreler ve epithelial histiyositlerdeki ekspresyon şiddeti de birbiri ile korele bulundu ($p = 0.000$).

TARTIŞMA

Tüberküloz, insanlık tarihinin bilinen en eski hastalıklarından birisidir. Enfeksiyon hastalıklarının etkenlerinin tanımlanması, oluşum mekanizmalarının belirlenmesi ve hastaların tedavilerinin sağlanması yönünde yüzlerce yıldır yapılan çalışmalar sonucunda, tüberküloz hastalığının oluşum mekanizmasını belirlemede ve bu hastalığın tedavisini sağlamada elde edilen başarılar küçümsenmeyecek düzeydedir. Ancak, tüm bu başarırlara karşın tüberküloz hastalığı varoluşunu devam ettirmiştir ve günümüzde de toplumlar için, ekonomik kayıplara ve insan ölümlerine yolaçan önemli bir sorun olarak varlığını sürdürmektedir. Yakın geçmişe kadar sağlık hizmetleri yetersiz ve ekonomik yönden zayıf ülkeler için daha büyük bir sorun iken, son yıllarda, AIDS hastalığının yaygınlaşması ve antibiyotiklere dirençli bakterilerin ortaya çıkması ile gelişmiş ülke toplumları için de önemli bir sorun olarak gündeme gelmiştir.

Tüberküloz enfeksiyonuna karşı insan vücudunda oluşan yanıksal yanıt, granülomatöz yanğı ile sonuçlanan T hücre aracılı gecikmiş tipte reaksiyondur.

Tüberkülozdada oluşan granülomlarda, orta kısımda kazeifikasyon nekrozu, nekroz çevresinde epiteloid histiyositler, Langhans tipi dev hücreler, lenfositler, en dışta da fibroblastlar ve bağ dokusu yer almaktadır. Granülomatöz yanğı, tüberkülozdan başka, sarkoidozis, kedi tirmiği hastalığı, lenfogranüloma inguinale, lepra, brusella, sifiliz ve bazı mikotik enfeksiyonlarda da oluşmaktadır.

Granüلومatöz yanının oluşum mekanizmasına dair birçok şey bilinmesine karşın, halen tam olarak açıklanamayan birçok yönü vardır. Granüلومatöz yanıcı oluşumunda temel koşul, yanıcıya neden olan ajanın vücutun savunma sistemleri tarafından kolayca parçalanamaması ve yok edilememesidir. Oluşan yanıcı reaksiyon, durağan değildir; oluşumunda ve devamlılığının sağlanmasında sitokinlerin etkileri önemlidir.

Tüberküloza karşı vücutun savunulmasında ve hastalığın sınırlandırılmasında, T lenfositlerin aracılık ettiği, makrofajların aktivasyonu, epiteloid histiyositlerin ve dev hücrelerin oluşumu ile karakterize, granüлом gelişimi ile sonuçlanan hücresel immün yanıt temel mekanizmadır. Bu hücresel immün yanıta ek olarak, ECM elemanlarının da granüлом oluşumunda ve tüberküloz enfeksiyonunun sınırlandırılmasında yoğun katkıları vardır.

Granüلومatöz yanında, ECM elemanlarının granünlardaki ekspresyonunu ve granüлом yapılanmasındaki rolünü belirlemek amacıyla yapılmış az sayıda çalışma vardır. Bu çalışmaların çoğunuğu da sarkoidozisli olgularda yapılmıştır.

Sarkoidozis, nedeni bilinmeyen, kazeifikasyon nekrozu içermeyen granüлом oluşumu ile karakterize, sistemik bir hastalıktır. Sarkoidoziste en sık etkilenen organ, akciğerlerdir. Akciğer tutulumunun ön planda oluşu, granünların kazeifikasyon nekrozu içermemesi dışında yapısal olarak tüberküloz granünlarına benzerliği ve immüโนlojik anomaliliklerin varlığı sarkoidozis'in tüberküloz hastalığı ile birçok ortak yönü olduğunu göstermektedir. Tüberküloz ile sarkoidozis arasındaki tüm bu ortak yönlerin varlığı ve granüلومatöz yanıcı gelişmesi için vücutun savunma mekanizmları tarafından tam olarak yok edilemeyecek bir etkenin gerekliliği, sarkoidozisin nedeninin Mycobacteriumlar olabileceğini düşündürmüştür.

araştırcıların bu yönde çalışmalar yapmalarına yolaçmıştır. PCR tekniği kullanılarak, sarkoidozisli dokularda Mycobacteriumlara ait DNA dizilerinin varlığının gösterilmesi temeline dayanan bu araştırmalarda birbiri ile çelişen sonuçlara ulaşılmıştır. H. Helmut ve arkadaşları tarafından yapılan bir araştırmada, akciğer sarkoidozisli 35 olgunun 11'inde Mycobacteriumlara ait DNA dizilerinin varlığı saptanmıştır ve bazı sarkoidozis olgularında Mycobacteriumların etken olabileceği ileri sürülmüştür¹¹⁶.

M.L.Wilsher ve arkadaşları tarafından yapılan bir çalışmada ise, sarkoidozisli olguların akciğer dokularında Mycobacteriumlara ait DNA dizisi, yine PCR yöntemi ile aranmış; ancak varlığı gösterilememiştir¹¹⁷. Bu araştırcılar, sarkoidoziste Mycobacteriumların etken olmadığı sonucuna varmışlardır.

Benzer bir çalışmada, Ikuo Ishige ve arkadaşları, sarkoidozisli olguların lenf nodüllerinde Mycobacteriumlardan daha çok Propionibacterialara ait DNA dizilerinin var olduğunu PCR yöntemi ile belirlemişler ve sarkoidozisin Propionibacterilarla, Mycobacteriumlardan daha fazla ilişkili olabileceğini bildirmiştir¹¹⁸.

Tüm bu çelişkili sonuçlara karşın, sarkoidozis ile tüberküloz arasında klinik, histolojik ve immünolojik özellikler açısından birçok ortak yön vardır.

Sarkoidozisteki granülom yapılarında ECM elemanlarının dağılımını ve iyileşmedeki rolünü belirlemeye yönelik çalışmalar, tüberküloz enfeksiyonundaki hastalığı sınırlandırma ve iyileşme mekanizmalarında ECM elemanlarının rolünü belirlemede yol gösterici olabilir. Sarkoidoziste iyileşme olayı genellikle granülomlarda fibrozis ve hyalinizasyon gelişimi ile oluşmaktadır ve bu süreç interstisyel pulmoner fibrozis ile sonuçlanabilmektedir. Akciğer tüberkülozunda da bağ dokusu artışı ve

fibrozis gelişimi enfeksiyonun sınırlanmasında önemli bir rol oynuyor olabilir.

ECM, lokal olarak salgılanan ve hücreler çevresindeki boşluklarda toplanarak hücreleri bir ağ gibi saran makromoleküllerden oluşur. ECM hücreler için sadece bir destek yapı olmaktan öte birçok işlevi vardır. Hücreleri çevreleyen ECM, bu hücreler ile doğrudan ve sürekli bir ilişki içindedir ve hücrelerin çoğalma, hareket ve farklılaşma gibi birçok fonksiyonunu direk olarak etkiler. Hücreler üzerindeki doğrudan etkileri dışında; yumuşak dokuların turgorunu sağlayan su, kemik dokuların yapısına katılan mineraller, hücre çoğalmasını kontrol eden büyümeye faktörleri gibi birçok eleman için rezervuar görevi görür. Bunlardan başka; morfogenezis, yara iyileşmesi ve hatta tümör invazyonu ve metastaz gibi birçok olaya doğrudan katılır⁹.

ECM'in granülotatöz yanının oluşumuna katılımını ve yanının sınırlandırılmasındaki rolünü belirlemek için yapılmış az sayıda araştırma vardır. Sarkoidozis ve tüberkülozis gibi granülotatöz hastalıklarda, akciğerde irreversible skar oluşumu oldukça sık görülen bir olaydır. Her iki hastalık da, T lenfosit ve makrofaj aktivasyonu, gecikmiş tipte hipersensitivite reaksiyonu ve inflamatuar sitokinlerin varlığı ile karakterizedir. Kronik yanından fibrozis gelişimine doğru gidişte, interlökin-1-beta (IL-1-beta), TNF-alfa, TGF-beta ve platelet derived growth factor (PDGF) gibi bazı sitokinlerin katkıları vardır. TNF-alfa'nın, pulmoner fibrozis gelişimi, granülotom oluşumu ve devamlılığının sağlanması olaylarında katkıları olduğu fare ve insanlarda gösterilmiştir. TGF-beta ve PDGF'nin, doku onarımının sağlanmasında önemli katkıları vardır. Ancak, aşırı miktarda bulunduklarında ortadan kaldırılamayan yangı ve fibrozis gelişimine neden olabilirler. Tüberküloz ve sarkoidoziste,

kronik yanından fibrozise gidişte TGF-beta ve PDGF'nin katkıları olduğuna dair birçok kanıt vardır¹¹².

TGF-beta grubunu oluşturan sitokinler, ECM'in düzenlenmesi ve yara iyileşmesinde yoğun etkileri olduğu bilinen en önemli etmenlerdendir. TGF-beta, ECM'i oluşturan yapıların ekspresyonunu doğrudan uyararak ve ECM'i yikan proteazların düzeylerini azaltarak ve aynı zamanda proteaz inhibitörlerini stimüle ederek ECM düzenlenmesine katkıda bulunur. TGF-beta'nın, birçok farklı dokulardaki fibroblastlarda farklı kollajen tiplerinin üretimini artırdığı; fibronektin ve fibronektin reseptörü ekspresyonunu çoğalttığı; bazı mezankimal ve epitelyal hücrelerden kondroitin/dermatan sülfat proteoglikanlarının salınımını artırdığı; bleomisine bağlı gelişen akciğer fibrozisinde temel uyarıcı etken olduğu; yara iyileşmesi sırasında yanık hücrelerinin kemotaksi, anjioneogenez, ECM birikimi, granülasyon dokusu gelişimi, reepitelizasyon, fibroblastların miyofibroblastlara dönüşümü gibi birçok olayda merkezi bir rol oynadığı saptanmıştır.

Granülotomatöz yanıkta ECM elemanlarının rolü ve TGF-beta'nın etkilerini araştırmak için yapılmış az sayıda araştırma vardır.

Zahra Toossi ve arkadaşları tarafından yapılan bir çalışmada; tüberkülozlu hastalardan elde edilen kan monositlerinden oluşan kültür ortamında, spontan TGF-beta salınımının kontrol olarak kullanılan sağlıklı bireylerinkine göre belirgin olarak artmış olduğu belirlenmiştir. Aynı çalışmada, TGF-beta 1 mRNA'sının ekspresyonunun tüberkülozlu olguların monositlerinde, kontrollere göre artmış olduğu da saptanmıştır. Bu araştırmacılar, kan monositlerindeki TGF-beta artışının Mycobacteriumlara ait hücresel elemanların uyarısı sonucu olduğunu ve bu TGF-beta artışının tüberkülozda T hücre yanıtının baskılanmasına yol açabileceğini belirtmişlerdir. Bu çalışmada, akciğer dokusu elde edilebilen 2 olguda immunohistokimyasal olarak TGF-beta 1'in

granülomlardaki ekspresyonu da araştırılmış ve TGF-beta 1'in özellikle Langhans tipi dev hücreler ve daha az olarak ta epiteloid histiyositlerin sitoplasmalarında eksprese edildiği görülmüştür. Araştırcılar, dev hücrelerin ve epiteloid histiyositlerin kan monositlerinden köken aldığıni belirtmişler ve yerel alveoler makrofajlardan çok monositlerin TGF - beta'nın kaynağı olduğunu ileri sürmüşlerdir⁹³.

Biz de araştırmamızda, akciğer tüberkülozundaki granülomlarda TGF-beta 1'in epiteloid histiyositler ve Langhans tipi dev hücrelerde hafif ve orta şiddette eksprese olduğunu saptadık. Langhans tipi dev hücreler ile epiteloid histiyositlerde, TGF-beta 1 ekspresyon şiddeti açısından bir farklılık izlenmedi ve ekspresyonun birbiri ile korele olduğu saptandı ($p = 0.000$). TGF-beta-1 ekspresyonunun, dev hücreler ve epiteloid histiyositlerde eşit ve korele oluşu, her iki hücrenin aynı kökenden geldiğini destekleyen bir bulgu olarak değerlendirilebilir. Bizim araştırmamızda, TGF-beta 1 ekspresyonu alveoler makrofajlarda olguların çoğunuğunda orta derecede, bir kısmında ise hafif ve şiddetli derecelerde olmak üzere hemen hemen tüm olgularda izlendi. Bu bulgu Zahra Toossi ve arkadaşlarının öne sürdükleri bulgular ile çelişmektedir ve T hücre baskılanmasında alveoler makrofajlarca eksprese edilen TGF-beta 1'inde bu olayda rolü olabileceğini düşündürmektedir.

Maeda ve arkadaşları tarafından, plevra tüberkülozu olan 5 olguya ait biyopsi örneklerinde, TGF-beta 1'in latent formunun bir komponentine karşı kullanılan antikor ile immunohistokimyasal yöntemle yapılan çalışmada, pozitif reaksiyon, granülomlar çevresindeki immatür fibrotik alanlarda ve özellikle de mezotelyal ve fibroblastik hücrelerde izlenmiştir. Araştırcılar, granülomlar içinde TGF-beta 1 için pozitif reaksiyon saptamamışlardır. Aynı çalışmada, plevra sıvısında ELISA yöntemi ile ölçülen TGF-beta 1 ve IFN gamma düzeyleri kontrol olgulara göre belirgin

olarak yüksek bulunmuştur. Bu bulgularla, araştırmacılar, plevral tüberkülozda TGF-beta 1'in ana kaynağının mezotel hücreleri ve fibroblastlar olduğunu, normal plevrade TGF-beta 1'in çok az üretildiğini belirtmişlerdir. Ayrıca, plevral tüberküloz olgularında, TGF-beta'nın doku onarımı ve plevral fibrozis gelişiminde önemli bir rolü olabileceğini bildirmiştir¹¹⁵.

Bizim çalışmamızda, TGF-beta 1 ekspresyonu granülomlar çevresindeki fibroblastlarda, olguların çoğunda orta şiddette olmak üzere birçok olguda izlendi. Bu durum, fibroblastların granülotöz yangında TGF beta 1 üretimine katıldıklarını göstermektedir. Maeda ve arkadaşlarının tersine, biz TGF-beta 1 ekspresyonunu dev hücreler ve epiteloid histiyositlerde de izledik.

Marshall ve arkadaşları tarafından 8 adet tüberküloz ve 6 adet sarkoidoz olgusuna ait cilt biyopsisinde yapılan bir çalışmada; immunohistokimyasal olarak anti human panTGF-beta ekspresyonu incelenmiş ve tüberküloz olgularında TGF-beta ekspresyonu granülomu çevreleyen ECM te ve fibroblastlarda görülmüş; granülom içinde ise saptanmamıştır. Sarkoidoz olgularında ise TGF-beta'nın tüm granülomlar boyunca ve granülomlar içindeki makrofajlarda ve çevredekı fibroblastlarda eksprese edildiği belirlenmiştir. Aynı çalışmada Tip 1 prokollajen ve fibronektinin immunohistokimyasal ekspresyonu da değerlendirilmiştir. Tip 1 prokollajen için, tüberkülozlu olgularda fibroblast morfolojisindeki hücrelerde granülomun merkezine doğru dağıtık olarak; granülom kenarlarında ise granülomları birbirinden ayıracak biçimde pozitif boyanma izlenmiştir. Sarkoidoz spesmenlerinde ise, Tip 1 prokollajen, tüberkülozlu olgulara göre granülomların merkezinde ve kenarlarındaki hücrelerde daha az belirgin olarak saptanmıştır. Fibronektin ekspresyonu, hem tüberküloz ve hem de sarkoidoz granulomları için,

çevredeki matrikste ve fibroblastlarda izlenmiştir. Aynı çalışmada, tüberküloz basili ile kontak öyküsü olan 36 olgu ve sağlıklı 12 olguya PPD testi uygulanmış ve aralıklı biopsilerle Tip 1 prokollajen, fibronektin ve alfa düz kas aktinindeki değişimler immunohistokimyasal yöntemle incelenmiştir. Tip 1 prokollajen için, hücresel boyanma ve matriks boyanmasında birinci günden itibaren orta derecede ancak belirgin olarak artış gözlenmiş ve bu artışın ondördüncü günden maksimuma ulaştığı saptanmıştır. Fibronektin artışı, hücrelerde birinci günden üçüncü güne kadar belirgin olarak izlenmiş ve bundan sonra sabit olarak kalmıştır. Matrikste ise fibronektin artışı altıncı günden sonra izlenmiştir. Alfa düz kas aktini artışı birinci günden onuncu güne kadar izlenmiştir¹¹².

Bu çalışma sonucunda araştırmacılar, Tip 1 prokollajen artışının yeni kollajen yapımının bir göstergesi olduğunu; fibronektin üretiminin, granülom oluşumunda önemli olan hücre migrasyonu ve granülomun devamlılığının sağlanmasında katkıları olduğunu; granünlarda lokal fibrotik sürecin TGF-beta üretimi ile sağlanıyor olabileceğini belirtmişlerdir. Ayrıca araştırmacılar, TGF-beta'nın *Mycobacterium tuberculosis*'in makrofajlar içindeki çoğalmasını artırıcı etkisi ve diğer sitokinlerle oluşturulan makrofaj aktivasyonunu engelleyici etkilerini göz önüne alarak TGF-beta'nın fibrozis oluşumuna katkısı ile oluşan yararlı etkisinin, bakterinin vücut tarafından tamamen öldürülüştükten sonra ortaya çıkabileceğini ileri sürmüşlerdir.

A.H.Limper ve arkadaşları tarafından 7 adet akciğer sarkoidozlu olgunun biyopsi materyallerinin değerlendirildiği bir başka çalışmada, TGF-beta 1 ekspresyonu özellikle epiteloid hücrelerde ve daha az yoğunlukta da dev hücrelerde saptanmıştır. Ayrıca, alveoler makrofajlar, bronşiol epители, Tip II pnömositler ve alveoler septalardaki kapiller damarlarda hastalıksız kontrol olguları da dahil olmak üzere tüm

sarkoidozis olgularında pozitif boyanma görülmüştür. Aynı çalışmada, fibronektin, alfa5beta1 fibronektin reseptörü ve TGF-beta 1'i bağlayıcı bir proteoglikan olan decorin de incelenmiş ve fibronektin ile fibronektin reseptörü epiteloid histiyositlerde, çevre dokudaki fibroblastlarda ve çok az olarak ta dev hücrelerde saptanmıştır. Çevre akciğer parankiminde ise; fibronektin ekspresyonu, alveoler kapillerlerde ve belirgin olarak ta alveoler makrofajlarda gözlenmiştir. Fibronektin reseptörü ekspresyonu ise, büyük damarları çevreleyen bağ dokusunda ve daha az olarak ta alveoler septalarda izlenmiştir¹¹³.

Katsunori Shigehara ve arkadaşları tarafından yapılan bir çalışmada sarkoidozlu 25 olguya ait scalen lenf nodüllerinde TGF-beta 1, bazı integrinler ve ECM elemanlarının immunohistokimyasal ekspresyonunun, granülom yapılarının stageleri de dikkate alınarak, değerlendirildiği bir çalışmada; TGF-beta 1'in granünlardaki epiteloid hücrelerde ve dev hücrelerde, matür granünlarda daha belirgin olmak üzere, granünların tüm stagelerinde eksprese olduğu belirlenmiştir. Ekspresyon yoğunluğunun, aktif dönemdeki granünlarda diğer dönemlere göre daha belirgin olduğu saptanmıştır. Ayrıca TGF-beta 1 pozitifliği fibroblastlarda da izlenmiştir. Bu çalışmada, ECM elemanlarından kollajen 1, 3, 4, fibronektin, laminin, vitronektin ve tenaskin ekspresyonu değerlendirilmiştir. İmmatür granünlarda, fibronektinin granünların periferinde konsantrik olarak bulunduğu; aktif dönemde, kollajen 4 ve laminin dışındaki ECM elemanlarının granünların periferinde konsantrik tarzda belirgin olarak ve granünların içinde ve kenarlarında fibriler yapıda zayıf olarak boyandığı saptanmıştır. Granünların fibrotik görünümde olduğu ve epitoid hücrelerin dejener olarak atrofiye uğradığı regresif dönemde ise kollajen 4 ve laminin dışındaki tüm ECM elemanlarının, granünların tamamında yaygın ve yoğun olarak varolduğu

belirlenmiştir. Ayrıca bu dönemde, diğer dönemlere göre fibroblastların aktif olarak prolifere olduğu ve yine diğer dönemlere göre kollajen 4 ve laminin dışındaki ECM elemanlarının fibroblastlarda daha yoğun bir biçimde eksprese edildiği görülmüştür. Bir başka bulgu olarak, tüm ECM elemanlarının pozitif boyanma açısından, kapillerler de dahil olmak üzere, damarlarla ilişkili olduğu saptanmıştır. Bu araştırcılar, sarkoidozisteki fibrozis gelişim mekanizmasının tam olarak anlaşılamamış olduğunu, ancak TGF-beta 1'in sarkoid granülomlarının regresyonunda ve fibrozis gelişiminde önemli bir rolü olduğunu belirtmişlerdir. Araştırcılar, ayrıca granülom oluşumunda, fibronektin ile alfa5beta1 integrin arasındaki etkileşimin de önemli olabileceğini bildirmiştir¹¹⁴.

Bizim çalışmamızda, granülomlardaki ECM elemanlarının ekspresyonu değerlendirildiğinde, granülomlar çevresinde ve içinde en yoğun ekspresyon fibronektin için saptandı. Kollajen Tip 1 ekspresyonu, fibronektin kadar olmaya da ona yakın bir yoğunlukta izlendi. Kollajen Tip 4 için orta derecede bir ekspresyon yoğunluğu belirlendi. En az boyanma ise lamininde görüldü. Laminin için gözlenen minimal ekspresyon yoğunluğunun daha çok damarlar ile ilişkili olduğu izlenimi edinildi.

Granülom yapısına katılan ECM elemanlarından en yoğun olarak fibronektin'in izlenmesi, granülom gelişiminde diğer ECM elemanlarına göre fibronektin'in daha yoğun katkıları olduğunu düşündürmektedir. Ayrıca bizim çalışmamızda dev hücrelerde ve epiteloid histiyositlerde fibronektin ekspresyonunun saptanmış olması; diğer ECM elemanlarının ise birkaç olgudaki hafif boyanma dışında izlenmemesi bu düşünceyi desteklemektedir. Bu bulgular, daha önce yapılmış olan bazı çalışmalarla da uyumludur.

Granülomlar çevresindeki fibronektin, kollajen 1 ve kollajen 4; granülomlar içindeki fibronektin, kollajen 1, kollajen 4 ve laminin

arasındaki korelasyon ve ayrıca granülomların çevresi ve içindeki elemanların kendi kendileri ile istatistiksel korelasyon göstermesi, ECM elemanlarının granüлом oluşumuna birlikte katıldıklarını ve belki de aynı etkenler tarafından yönlendirildiklerini göstermektedir.

ECM elemanlarının granülomların çevresinde bulunan fibroblastlardaki ekspresyonu incelendiğinde; en yoğun ekspresyon, fibronektin ve kollajen 1 için saptandı. En zayıf boyanma yoğunluğu ise lamininde gözlendi. İstatistiksel olarak, fibroblastlardaki fibronektin ekspresyonu ile granülomlar çevresindeki ve granülomlar içindeki fibronektin pozitifliği arasındaki paralellik; dev hücreler ve epiteloid histiyositlerdeki fibronektin ile granülomlar çevresinde ve içindeki fibronektin arasındaki korelasyon, fibronektin'in kökeninin bu hücreler olduğunu doğrulayan bir durum olarak değerlendirildi. Aynı korelasyon diğer ECM elemanları için de saptandı.

Tüm ECM elemanlarının, granülomlar çevresindeki ve akciğerin diğer alanlarındaki damarlarda pozitif boyanma gösterdiği izlendi. ECM elemanlarının, kazeifikasyon nekrozu içeren alanlarda da damarları yansıtacak şekilde eksprese olduğu dikkati çekti.

ECM elemanlarının alveoler makrofajlardaki ekspresyonları incelendiğinde hemen hemen tüm olgularda, fibronektin'in alveoler makrofajlarda pozitif boyanma gösterdiği görüldü. Bu durum, A.H.Limper ve arkadaşları tarafından akciğer sarkoidozisi olgularında yapılan çalışmada da gözlenmiştir¹¹³. Diğer ECM elemanları için, alveoler makrofajlarda az sayıda olguda pozitiflik izlendi.

Fibronektin, ECM matriks içinde yer alan, adhesive glikoproteinlerden birisidir. Fibronektin'in ECM'teki primer rolü, hücrelerin matrikse tutunmasını sağlamaktır. Fibronektin, fibroblastlar, monositler, endotel hücreleri gibi birçok hücre tarafından üretilir⁹. Alveoler

makrofajlar, fibronektin için potansiyel bir kaynaktır¹¹⁹. Alveoler makrofajlarda, fibronektin üretiminin ve spontan salınımının bazı viral hastalıklarda arttığı gösterilmiştir¹²⁰. Bronkoalveoler lavaj sıvısında bulunan fibronektin'in, terminal hava yollarındaki mikroorganizmalar ve partiküllerin temizlenmesinde bir opsonin olarak görev yaptığı ve bronkoalveoler defansta önemli olabileceği bildirilmiştir¹²¹. Ayrıca, *Staphylococcus aureus*'un alveoler makrofajlar tarafından alınımını fibronektin'in artırdığı belirlenmiş ve fibronektin'in *S.aureus* için non-immün bir opsonin olarak temel bir rol oynadığı ileri sürülmüştür¹²². Alveoler makrofajlardan salgılanan fibronektin'in pulmoner fibrozis gelişiminde rol oynayabileceği bazı araştırmacılar tarafından öne sürülmüştür¹²³. M.A.Spiteri ve arkadaşları tarafından, akciğer sarkoidozisli olgularda, farklı antijenik özellikleri olan; yüksek miktarda fibronektin içeren; fagositoz kapasitesi ve lizozomal enzim aktivitesi fazla olan bir alveoler makrofaj alt tipi belirlenmiştir. Bu makrofaj alt tipinin, bronkoalveoler lavajda, normal bireylere göre sarkoidozis'li olgularda daha yüksek oranda bulunduğu saptamışlar ve sarkoidozis'e spesifik olan bu makrofaj tipinin hastlığın gidişini belirlemede önemli olabileceğini belirtmişlerdir¹²⁴.

Biz de çalışmamızda alveoler makrofajlarda, fibronektin ekspresyonunu saptadık. Ancak, alveoler makrofajlardaki fibronektin ekspresyonu ile hastaların tedaviye verdikleri yanıt arasında herhangi bir istatistiksel ilişki saptamadık. Aynı şekilde, diğer ECM elemanları ile de tedaviye yanıt arasında ilişki izlemediğ. Bu sonuçta, tedaviye verilen yanıt ile ilgili bilgileri az sayıda olguda elde edebilmiş olmamızın etkisi olabileceği gibi, gerçekten de bu iki parametre ilişkisiz olabilir.

Buna karşın, alveoler makrofajlarda, fibronektin için önemli oranda ekspresyon saptanması, bu durumun akciğer tüberkülozunda önemli olabileceğini düşündürmektedir.

Çalışmamızda, ECM elemanları için, bazı olguların bronşiol epitelî ve alveol epitelinde, daha çok fibronektin ve kollajen 4 için, hafif ve orta şiddette bir boyanma paterni gözlendi. Bronşiol bazal membranlarında da ECM elemanlarının ekspresyonu saptandı.

TGF-beta, birçok hücre tarafından üretilen ve insan organizmasında çeşitli işlevleri olan bir maddedir. TGF-beta'nın tüberküloz enfeksiyonu ve granüلومatöz yangı oluşumu üzerinde çok çeşitli etkilerinin olabileceğini gösteren birçok kanıt vardır.

Bizim çalışmamızda, TGF-beta 1'in granünlardaki ekspresyonunu incelediğimizde; granünların çevresi ve içindeki matrikste bazı olgularda hafif ve orta şiddette bir ekspresyon izledik. Granünlarda, TGF-beta 1 için en yoğun pozitifliği epiteloid histiyositler ve Langhans tipi dev hücrelerde saptadık. Granünlar çevresinde yer alan fibroblastlarda da birçok olguda TGF-beta 1 ekspresyonu olduğunu belirledik. Akciğer'in diğer alanlarında ise, en yoğun ekspresyonu alveoler makrofajlarda saptadık. Ayrıca birçok olguda, damar endoteli, bronşiol epitelî ve alveol epitelinde TGF-beta 1 ekspresyonu olduğunu izledik.

Granünlar çevresindeki, granünlar içindeki, fibroblastlardaki, dev hücreler ve epiteloid histiyositlerdeki TGF-beta 1 ekspresyonları ile granünların yapısına katılan bazı ECM elemanlarının yoğunlukları arasında izlediğimiz paralellikler, TGF-beta 1'in tüberküloz granünlere ECM elemanlarının katılımindâ etkili olabileceğini düşündürmektedir. Bu bulgu, TGF-beta 1'in çeşitli dokularda, bağ dokusu artışı ve fibrozis gelişimini uyarıcı etkileri ile de uyumludur. TGF-beta 1 ekspresyonları ile laminin arasında ise herhangi bir korelasyon saptamadık. Bunun nedeni,

laminin ekspresyonunun granülomlarda çok az oluşу ve daha çok damarlar ile ilişkili olarak izlenmesi olabilir.

TGF-beta 1'in T hücre fonksiyonlarını baskılıyıcı etkileri olduğunu; Mycobacteriumların makrofajlar içinde üremesini artırdığını ve makrofajların bakteriyi öldürme kapasitesini azalttığını gösteren birçok çalışma vardır.

Bizim araştırmamızın amaçlarından birisi de, TGF-beta 1'in akciğer tüberkülozundaki dokularda bakteri miktarı üzerindeki olası etkilerini belirlemekti. Ancak, aside dirençli bakteri boyama yöntemi ile, sadece 1 olguda bakterileri boyama başarısı sağlayabildik.

Çalışmamızda, boyama yöntemi olarak, Kinyoun yöntemini uyguladık ve daha önce başarılı boyanma sağlanmış ürünler sistem tüberkülozlu bir olguya ait parafin bloğa gömülü dokuörneğini pozitif kontrol olarak kullandık. Boyama yönteminin her uygulanışında, kontrol olarak kullandığımız dokuörneğinde bakteriler boyandı. Bu durum, yöntemi doğru uyguladığımızı göstermektedir.

A.Mert ve arkadaşları tarafından yapılan bir çalışmada, milier tüberkülozlu olgularda, olguların %37'sinde aside dirençli basil varlığı balgam ve bronkoalveoler lavajda saptanmış; olguların %90'ında bakteri kültürde üretilmiştir. Dokuda ise hiçbir olguda boyanma izlenmemiştir¹²⁵. Bu durum, bizim çalışmamızda da saptandığı gibi, akciğer dokusunda, aside dirençli bakteri boyama yönteminin başarı şansının düşük olduğunu göstermektedir.

Çalışmamızın diğer bir amacı da, olguların hastalık süreleri ve tedaviye verdikleri yanıt ile granülomların yapısal özellikleri ve TGF-beta 1 ekspresyonu arasındaki ilişkileri belirlemekti. İstatistiksel değerlendirme sonucunda; olgularda, hastalık süresi- granüлом düzeni; hastalık süresi-nekroz oranları; tedaviye yanıt-yaş; tedaviye yanıt-cinsiyet; tedaviye yanıt-

granüлом düzeni; tedaviye yanıt-nekroz oranı arasında anlamlı bir ilişki saptanmadı. Ayrıca TGF-beta 1'in granüلومlardaki ve akciğerin diğer alanlarındaki ekspresyon yoğunlukları ile tedaviye verilen yanıt arasında bir paralellik gözlenmedi. Bu parametreler arasında herhangi bir ilişki olmayıabilecegi gibi, hastaların hastalık süreleri ve tedaviye verdikleri yanıtlar hakkında elde ettiğimiz bilgilerin yetersiz oluşu da anlamlı bir ilişki saptayamayışımızın nedeni olabilir. Tedaviye verilen yanıt ile granüлом düzeni arasındaki ilişki açısından, Jean François Emile ve arkadaşlarının yaptıkları çalışma dikkate değerdir⁵⁴. Bu çalışmada, BCG uygulanan ve nedeni bilinmeyen yaygın bir BCG enfeksiyonu tablosu gelişen ,bilinen herhangi bir immün yetmezliği bulunmayan çocuk hastalar incelenmiştir. Doku örneklerinde, 2 tip granüлом yapısı izlenmiştir. Tip 1 veya tüberküloid olarak nitelenen granünlarda; kazeifikasyon nekrozu içeren, lenfositler ve fibrozis ile çevrili epiteloid histiyositler ve dev hücrelerden oluşan düzenli bir yapı izlenmiştir. Aside dirençli basil çok az sayıda saptanmış veya hiç izlenmemiştir. Tip 2 veya lepramatoid olarak nitelenen granünlarda ise; makrofajlar ve polimorfonükleer lökositlerden oluşan yaygın bir infiltrasyon saptanmış, dev hücre ya çok az izlenmiş veya hiç görülmemiştir. Makrofajların sitoplasmalarında çok sayıda bakteri bulunduğu görülmüştür. Araştırcılar Tip 1 granüлом yapısı bulunduran olgularda прогнозun iyi; Tip 2 olanlarda ise kötü olduğunu belirtmişlerdir.

Bizim çalışmamızdaki tüm olgularda, granüлом yapıları bu çalışmadaki Tip 1 granüлом yapısı ile uyumlu olarak belirlenmiş ve ayrıca, bir başka bulgu olarak da, granünlardaki nekroz miktarı ile granüлом düzensizliği arasında pozitif bir korelasyon olduğu saptanmıştır. Bu korelasyon granünların düzensizleşmesi, birbirleriyle birleşme eğilimleri ve bunların sonucu olarak kavitasyon gelişiminde, kazeifikasyon nekrozunun temel neden olabileceği düşündürmektedir.

SONUÇLAR

Çalışmamızda, akciğer tüberkülozlu 43 olgu ele alındı. Olgular klinikopatolojik bulgular, histokimyasal olarak aside dirençli bakteri boyama yöntemi ve immünohistokimyasal olarak TGF-beta 1, fibronektin, laminin, kollajen Tip 1, kollajen Tip 2 immünoreaktivitesi yönünden değerlendirildi. Bu değerlendirme sonucunda şu bulgular elde edildi:

- 1- Akciğer tüberkülozundaki granülomların yapısına çalışmamızda yer alan ECM elemanlarından tümünün katıldığı belirlendi.
- 2- Granülomların yapısına en yoğun katılım gösteren ECM elemanın fibronektin olduğu saptandı.
- 3- Granülomların yapısına en az katılım gösteren ECM elemanın laminin olduğu ve laminin ekspresyonunun daha çok damarlarla ilişkili olduğu gözlendi.
- 4- Granünlarda izlenen ECM elemanlarının yoğunluklarının birbirleriyle paralellikler göstermesi, ECM elemanlarının granülom oluşumuna birlikte katıldıklarını ve bu katılımın aynı etkenler tarafından yönlendirildiğini gösteren bir bulgu olarak değerlendirildi.
- 5- ECM elemanlarının tümünün fibroblastlardan köken aldığı ve ayrıca fibronektin için dev hücreler, epiteloid histiyositler ve alveoler makrofajların da kaynak olabileceğini düşündüren bulgular elde edildi.
- 6- Alveoler makrofajlarda fibronektin ekspresyonunun yoğun olarak izlenmesi, bu durumun akciğer tüberkülozunun patogenezinde

önemli olabileceğini düşündürdü. Ancak, bu bulgu ile olguların tedaviye verdikleri yanıtlar arasında istatistiksel bir ilişki belirlenemedi.

7- Çalışmamızda yer alan tüm ECM elemanlarının damarların yapısına katıldığı belirlendi.

8- TGF-beta 1 ekspresyonu granülomların çevresinde ve iç kısmındaki matrikste, epiteloid histiyositlerde, Langhans tipi dev hücrelerde ve fibroblastlarda; akciğerin diğer alanlarında ise, en yoğun alveoler makrofajlarda olmak üzere damar endotel hücreleri, bronşiol epitelii ve alveol epitelinde saptandı.

9- Granülomların yapısına katılan epiteloid hücreler ve dev hücrelerdeki TGF-beta 1 ekspresyonunun korele oluşu bu iki tip hücrenin kökenlerinin aynı olduğunu destekleyen bir bulgu olarak değerlendirildi.

10- Granülomların içinde ve çevresindeki matrikste, fibroblastlarda, dev hücrelerde ve epiteloid histiyositlerdeki TGF-beta 1 ekspresyonu ile granülomların yapısına katılan bazı ECM elemanları arasındaki paralellikler TGF-beta 1'in tüberküloz granülomlarına ECM elemanlarının katılımını yönlendirici etkileri olabileceğini gösteren bir bulgu olarak değerlendirildi.

11- Aside dirençli bakteri boyama yönteminin akciğer tüberkülozunda basilleri göstermek için etkili bir yöntem olmadığı saptandı.

12- TGF-beta 1'in akciğer tüberkülozundaki ekspresyonu ile dokulardaki basil miktarı arasında herhangibir ilişki olup olmadığı, aside dirençli bakteri boyama yöntemi ile 1 olgu dışında basillerin gösterilememesi nedeniyle, değerlendirilemedi.

13- Olguların hastalık süreleri ve tedaviye verdikleri yanıtlar ile hastaların yaşı, cinsiyeti, granülomların düzeni ve granülomlardaki nekroz oranları arasında istatistiksel bir ilişki saptanamadı.

14- TGF-beta 1'in granünlardaki ve diğer alanlardaki ekspresyon şiddeti ile olguların tedaviye verdikleri yanıtlar arasında istatistiksel anlamlılık gösteren herhangibir ilişki belirlenemedi.

15- Granünlardaki nekroz oranları ile granünların düzensiz oluşu arasında bir paralellik olduğu saptandı. Bu durum, akciğer tüberkülozunda granünlardaki kazeifikasiyon nekrozunun; granünların düzensizleşmesinin, birbirleri ile birleşme eğilimlerinin ve sonuç olarak da kavitasyon gelişiminin nedeni olabileceği yönünde değerlendirildi.

ÖZET

Tüberküloz enfeksiyonu, *Mycobacterium* grubu bakteriler tarafından oluşturulan, gecikmiş tipte hipersensitivite ve hücresel immün yanıt oluşumuna yol açan, granülomatöz yangı gelişimi ile karakterize bir hastalıktır. Granülomatöz yangı gelişmesine yol açan etkenlerin ortak özelliği, vücutun savunma mekanizmaları tarafından kolayca yok edilemeyen ajanlar olmalarıdır. Granülomatöz yangı oluşmasında hücresel immün yanının temel öğeleri olan T lenfositler, makrofajlar ve bunlardan salgılanan sitokinlerin önemli rolleri vardır.

ECM, dokuların fizyolojik iskeletini oluşturan; yara iyileşmesi, hücrelerin çoğalması, hareketi ve farklılaşması gibi birçok olaya katkıları olan, aktif bir yapıdır. ECM'in granülomatöz yangı gelişmesinde ve hastalığın sınırlandırılmasında önemli katkıları vardır.

ECM elemanlarının üretilmesini etkileyen birçok faktör vardır. TGF-beta 1, ECM üzerinde önemli etkileri olan polipeptid yapılı bir büyümeye faktörüdür. TGF-beta 1'in, fibroblastlarda ECM elemanlarının üretimini artırdığı; fibrozis gelişimini uyardığı; yara iyileşmesinde merkezi bir rol oynadığı birçok çalışmada gösterilmiştir.

TGF-beta 1'in tüberküloz enfeksiyonunda, ECM elemanlarını artırarak yangıyı sınırlayıcı bir rolü olabileceği gibi, immün sistemi baskılıyarak, bakterilerin makrofajlar içindeki çoğalmasını artırıcı yönde etkileri de olabileceği saptanmıştır.

Biz, çalışmamızda akciğer tüberkülozungundaki granülom yapılarına ECM elemanlarının katılım oranını belirlemeyi; TGF-beta 1'in granülomlardaki ve akciğerin diğer alanlarındaki ekspresyonunu

saptamayı; TGF-beta 1 ile ECM elemanları arasındaki olası ilişkiyi göstermeyi; hastaların, tedaviye verdikleri yanıt ile TGF-beta 1 ve ECM elemanlarının ekspresyon miktarları arasında bir bağlantı olup olmadığını belirlemeyi amaçladık.

Çalışmamızda, akciğer tüberkülozlu 43 olguya ait doku örnekleri, granülomların düzeni ve nekroz oranları; aside dirençli bakteri miktarı; granülomlarda ve çevre dokudaki kollajen 1, kollajen 4, fibronektin, laminein ve TGF-beta 1 ekspresyonlarını belirlemek amacıyla incelendi. Bakterileri göstermek için histokimyasal olarak Kinyoun boyama yöntemi, ECM elemanları ve TGF-beta 1 için ise İmmünohistokimyasal yöntemler kullanıldı. Elde edilen bulguların, birbirleriyle ve olguların antitüberküloz tedaviye verdikleri yanıt ile olan ilişkileri incelendi.

Sonuç olarak, ECM elemanlarının granülomların yapısına katıldıkları; TGF-beta 1 ile granülomların yapısına katılan ECM elemanları arasında paralellik olduğu belirlendi ve TGF-beta 1'in granülomlara katılan ECM elemanları üzerinde etkili olabileceği düşünüldü. Kinyoun boyama yöntemi ile 1 olgu dışında bakteri boyanması sağlanamadı. Olguların tedaviye verdikler yanıtlar ile granülomların düzeni, ECM elemanlarının granülomlardaki miktarı ve TGF-beta 1 ekspresyonu arasında herhangi bir ilişki belirlenemedi.

KAYNAKLAR

- 1- Ellner JJ. "Immune Dysregulation in Human Tuberculosis." *J Lab Clin Med* 1986;108:142-9
- 2- Formicola V, Milanesi Q, Scarsini C. "Evidence of Spinal Tuberculosis at the Beginning of the Fourth Millennium BC from Arene Candide Cave Liguria, Italy)." *Am J Phys Anthropol* 1987; 72(1): 1-6
- 3- Nerlich AG, Haas CJ, Zink A, et.al. " Molecular Evidence for Tuberculosis in an Ancient Egyptian Mummy." *The Lancet* 1997; 350 (8): 1404
- 4- Virginia Morell "Mummy Settles TB Antiquity Debate." *Science* 1994; 263 (25): 1686-7.
- 5- Das RK. "Tuberculosis – Historical Landmarks." *J Indian Med Assoc* 2000;98(3):112-4
- 6- Mc Dermott LJ, Glassroth J, Mehta JB, et.al. "Tuberculosis. Part I." *Dis Mon* 1997; 43 (3): 113-80
- 7- Telzak EE. "Tuberculosis and Human Immunodeficiency Virus Infection." *Med Clin North Am* 1997; 81 (2):345-60
- 8- Grange JM, Zumla A. "Paradox of the Global Emergency of Tuberculosis." *Lancet* 1999;353:996
- 9- Cotran RS, Kumar V, Collins T. "Infectious Diseases" In: Robbin's Pathologic Basis of Disease. 6.ed W.B. Saunders Company, Philadelphia, Pennsylvania 1999
- 10- Tomioka H. "Bacteriology of mycobacteria: taxonomic and morphological characteristics." *Nippon Rinsho* 1998;56(12):3001-7

- 11- Kitamura S, Shibuya Y. "Classification and concept of mycobacterial infections ." Nippon Rinsho 1998;56(12):3036-40
- 12- Van Soolingen D, van der Zanden AG, de Haas PE, et.al. "Diagnosis of Mycobacterium microti infections among human by using novel genetic markers." J Clin Microbiol 1998;36(7):1840-5
- 13- Thorel MF. "Isolation of Mycobacterium africanum from monkeys." Tubercle 1980;61(2):101-4
- 14- Frothingham R, Strickland PL, Bretzel G, et.al. "Phenotypic and genotypic characterization of Mycobacterium africanum isolates from West Africa." J Clin Microbiol 1999;37(6):1921-6
- 15- Frottier J, Eliaszewicz M, Arlet V, et.al. "Infections caused by Mycobacterium africanum." Bull Acad Natl Med 1990;174(1):29-33
- 16- Yano I. "The 72 nd Annual Meeting Education Lecture. Cord factor." Kekkaku 1998;73(1):37-42
- 17- Yamagami H, Matsumoto T, Fujiwara N, et.al. "Trehalose 6,6'-dimycolate (cord factor) of Mycobacterium tuberculosis induces foreign body and hypersensitivity type granulomas in mice." Infect Immun 2001;69(2):810-5
- 18- Saita N, Fujiwara N, Yano I, et.al. "Trehalose 6,6'-dimycolate (cord factor) of Mycobacterium tuberculosis induces corneal angiogenesis in rats." Infect Immun 2000;68(10):5991-7
- 19- Hamasaki N, Isowa K, Kamada K, et.al. "In vivo administration of mycobacterial cord factor (Trehalose 6,6'-dimycolate) can induce lung and liver granulomas and thymic atrophy in rabbits." Infect Immun 2000;68(6):3704-9

- 20- Yarkoni E, Wang L, Bekerkunst A. "Stimulation of macrophages by cord factor and by heat-killed and living BCG." *Infect Immun* 1977;16(1):1-8
- 21- Barnes PF, Chatterjee D, Abrams JS, et.al. "Cytokine production induced by *Mycobacterium tuberculosis* lipoarabinomannan. Relationship to chemical structure." *J Immunol* 1992;15;149(2):541-7
- 22- Chan J, Fan XD, Hunter SW, et.al. "Lipoarabinomannan, a possible virulence factor involved in persistence of *Mycobacterium tuberculosis* within macrophages." *Infect Immun* 1991;59(5):1755-61
- 23- Van Eden W, Hogervorst EJ, van der Zee R, et.al. "The mycobacterial 65 kD heat-shock protein and autoimmune arthritis." *Rheumatol Int* 1989;9(3-5):187-91
- 24- Vanham G, Toossi Z, Hirsch CS, et.al. "Examining a paradox in the pathogenesis of human pulmonary tuberculosis: immune activation and suppression/anergy." *Tuber Lung Dis* 1997;78(3&4):145-58
- 25- Arthur M, Dannenberg Jr. "Immune mechanisms in the pathogenesis of pulmonary tuberculosis." *Rev Infec Dis* 1989;11(2):S369-78
- 26- Kobayashi M, Fitz L, Ryan M, et.al. "Identification and purification of natural killer cell stimulatory factor (NKSF), a cytokine with multiple biologic effects on human lymphocytes." *J Exp Med* 1989;170(3):827-45
- 27- Fulton SA, Cross JV, Toossi Z, et.al. "Regulation of Interleukin-12 by Interleukin-10, Transforming Growth Factor-beta, Tumor Necrosis Factor-alfa, and Interferon-gamma in Human Monocytes Infected with *Mycobacterium tuberculosis* H37Ra." *J Infect Dis* 1998;178:1105-14

- 28- Trinchieri G. "Cytokines acting on or secreted by macrophages during intracellular infection (IL-10, IL-12, IFN-gamma)." *Curr Opin Immunol* 1997;9(1):17-23
- 29- Fulton SA, Johnsen JM, Wolf SF, et.al. "Interleukin-12 production by human monocytes infected with *Mycobacterium tuberculosis*: role of phagocytosis." *Infect Immun* 1996;64(7):2523-31
- 30- Kawakami K, Tohyama M, Xie Q, et.al. "IL-12 protect mice against pulmonary and disseminated infection caused by *Cryptococcus neoformans*." *Clin Exp Immunol* 1996;104(2):208-14
- 31- Orange JS, Biron CA. "An absolute and restricted requirement for IL-12 in natural killer cell IFN-gamma production and antiviral defense. Studies of natural killer and T cell responses in contrasting viral infections." *J Immunol* 1996;156(3):1138-42
- 32- Mahanty S, Ravichandran M, Raman U, et.al. "Regulation of parasite antigen-driven immune responses by interleukin-10 (IL-10) and IL-12 in lymphatic filariasis." *Infect Immun* 1997;65(5):1742-7
- 33- D'Andrea A, Rengaraju M, Valiante NM, et.al. "Production of natural killer cell stimulatory factor (Interleukin 12) by peripheral blood mononuclear cells." *J Exp Med* 1997;176(5):1387-98
- 34- Cassatella MA, Meda L, Gasperini S, et.al. "Interleukin-12 production by polymorphonuclear leukocytes." *Eur J Immunol* 1995;25(1):1-5
- 35- Henderson RA, Watkins SC, Flynn JL. "Activation of human dendritic cells following infection with *Mycobacterium tuberculosis*." *J Immunol* 1997;159(2):635-43

- 36- Scheicher C, Mehlig M, Dienes HP, et.al. "Uptake of microparticle-adsorbed protein antigen by bone marrow derived dendritic cells results in upregulation of interleukin-1 alpha and interleukin-12 p40/p35 and triggers prolonged, efficient antigen presentation." *Eur J Immunol* 1995;25(6):1566-72
- 37- Chehimi J, Starr SE, Frank I, et.al. "Natural killer (NK) cell stimulatory factor increases the cytotoxic activity of NK cells from both healthy donors and human immunodeficiency virus infected patients." *J Exp Med* 1992;1;175(3):789-96
- 38- Denis M. "Interferon-gamma-treated murine macrophages inhibit growth of tubercle bacilli via the generation of reactive nitrogen intermediates." *Cell Immunol* 1991;132(1):150-7.
- 39- Flesch IE, Kaufmann SH. "Attempts to characterize the mechanisms involved in mycobacterial growth inhibition by gamma-interferon-activated bone marrow macrophages." *Infect Immun* 1988;56(6):1464-9
- 40- Hmama Z, Gabathuler R, Jefferies WA, et.al. "Attenuation of HLA-DR expression by mononuclear phagocytes infected with Mycobacterium tuberculosis is related to intracellular sequestration of immature class II heterodimers." *J Immunol* 1998;161(9):4882-93
- 41- Condos R, Rom WN, Schluger NW. "Treatment of multidrug-resistant pulmonary tuberculosis with interferon-gamma via aerosol." *Lancet* 1997;349(9064):1513-5
- 42- Kawase I, Brooks CG, Kurabayashi K, et.al. "Interleukin 2 induces gamma-interferon production: participation of macrophages and NK-like cells." *J Immunol* 1983;131(1):288-92

- 43- Denis M. "Interleukin-12 (IL-12) augments cytolytic activity of natural killer cells toward *Mycobacterium tuberculosis*-infected human monocytes." *Cell Immunol* 1994;156:529-36
- 44- Wahl SM, Mc Cartney-Francis N, Hunt DA, et.al. "Monocyte interleukin 2 receptor gene expression and interleukin 2 augmentation of microbicidal activity." *J Immunol* 1987;139(4):1342-7
- 45- Toossi Z, Kleinhenz ME, Ellner JJ. "Defective interleukin 2 production and responsiveness in human pulmonary tuberculosis." *J Exp Med* 1986;163(5):1162-72
- 46- Kindler V, Sappino AP, Grau GE, et.al. "The inducing role of tumor necrosis factor in the development of bactericidal granulomas during BCG infection." *Cell* 1989;56(5):731-40
- 47- Kindler V, Sappino AP. "The beneficial effects of localized tumor necrosis factor production in BCG infection." *Behring Inst Mitt* 1991 Feb;(88):120-4
- 48- Sano C, Sato K, Shimizu T, et.al. "The modulating effects of proinflammatory cytokines interferon-gamma (IFN-gamma) and tumour necrosis factor -alpha (TNF-alpha), and immunoregulating cytokines IL-10 and transforming growth factor-beta (TGF-beta), on anti-microbial activity of murine peritoneal macrophages against *Mycobacterium avium-intracellulare* complex." *Clin Exp Immunol* 1999;115:435-42
- 49- Bermudez LE, Young LS. "Tumor necrosis factor, alone or in combination with IL-2, but not IFN-gamma, is associated with macrophage killing of *Mycobacterium avium* complex." *J Immunol* 1988;140(9):3006-13

- 50- Appelberg R, Sarmento A, Castro AG. "Tumour necrosis factor-alpha (TNF-alpha) in the host resistance to mycobacteria of distinct virulence." *Clin Exp Immunol* 1995;101(2):308-13
- 51- Roach DR, Briscoe H, Baumgart K, et.al. "Tumor necrosis factor (TNF) and a TNF-mimetic peptide modulate the granulomatous response to *Mycobacterium bovis* BCG infection in vivo." *Infect Immun* 1999;67(10):5473-76
- 52- Emori K, Tanaka A. "Granuloma formation by synthetic bacterial cell wall fragment: Muramyl dipeptide." *Infect Immun* 1978;19(2):613-20
- 53- Emori K, Nagao S, Shigematsu N, et.al. "Granuloma formation by muramyl dipeptide associated with branched fatty acids, a structure probably essential for tubercle formation by *Mycobacterium tuberculosis*." *Infect Immun* 1985;49(1):244-49
- 54- Emile JF, Patey N, Altare F, et.al. "Correlation of granuloma structure with clinical outcome defines two types of idiopathic disseminated BCG infection." *J Pathol* 1997;181:25-30
- 55- Pelton RW, Moses HL. "The Beta-Type Transforming Growth Factor." *Am Rev Respir Dis* 1990;142:S31-5
- 56- Centrella M, McCarthy TL, Canalis E. "Transforming growth factor beta is a bifunctional regulator of replication and collagen synthesis in osteoblast-enriched cell cultures from fetal rat bone." *J Biol Chem* 1987;262(6):2869-74
- 57- Tucker RF, Shipley GD, Moses HL, et.al. "Growth inhibitor from BSC-1 cells closely related to platelet type transforming growth factor." *Science* 1984;226(4675):705-7

- 58- Anzano MA, Roberts AB, Sporn MB. "Anchorage-independent growth of primary rat embryo cells induced by platelet-derived growth factor and inhibited by type-beta transforming growth factor." *J Cell Physiol* 1986;126(2):312-8
- 59- Graycar JL, Miller DA, Arrick BA, et.al. "Human transforming growth factor- beta 3: recombinant expression, purification, and biological activities in comparison with transforming growth factors-beta 1 and -beta 2." *Mol Endocrinol* 1989;3(12):1977-86
- 60- Ignotz RA, Massague J. "Type beta transforming growth factor controls the adipogenic differentiation of 3T3 fibroblasts." *Proc Natl Acad Sci USA* 1985;82(24):8530-4
- 61- Massague J, Cheifetz S, Endo T, et.al. "Type beta transforming growth factor is an inhibitor of myogenic differentiation." *Proc Natl Acad Sci USA* 1986;83(21):8206-10
- 62- Olson EN, Sternberg E, Hu JS, et.al. "Regulation of myogenic differentiation by type beta transforming growth factor." *J Cell Biol* 1986;103(5):1799-805
- 63- Potts JD, Dagle JM, Walder JA, et.al. "Epithelial -mesenchymal transformation of embryonic cardiac endothelial cells is inhibited by a modified antisense oligodeoxynucleotide to transforming growth factor beta 3." *Proc Natl Acad Sci USA* 1991;88(4):1516-20
- 64- Eickelberg O, Kohler E, Reichenberger F, et.al. "Extracellular matrix deposition by primary human lung fibroblasts in response to TGF-beta 1 and TGF-beta 3." *Am J Physiol* 1999;276(20):L814-24
- 65- Raghu G, Masta S, Meyers D, et.al. "Collagen synthesis by normal and fibrotic human lung fibroblasts and the effect of transforming growth factor beta." *Am Rev Respir Dis* 1989;140:95-100

- 66- Roberts CJ, Birkenmeier TM, McQuillan JJ, et.al. "Transforming growth factor beta stimulates the expression of fibronectin and of both subunits of the human fibronectin receptor by cultured human lung fibroblasts." *J Biol Chem* 1988;263(10):4586-92
- 67- Grande JP, Melder DC, Zinsmeister AR. "Modulation of collagen gene expression by cytokines: Stimulatory effect of transforming growth factor-beta 1, with divergent effects of epidermal growth factor and tumor necrosis factor-alpha on collagen type I and collagen type IV." *J Lab Clin Med* 1997;130:476-86
- 68- Bassols A, Massague J. "Transforming growth factor-beta regulates the expression and structure of extracellular matrix chondroitin/dermatan sulfate proteoglycans." *J Biol Chem* 1988;263(6):3039-45
- 69- Maniscalco WM, Campbell MH. "Transforming growth factor-beta induces a chondroitin sulfate/dermatan sulfate proteoglycan in alveolar type II cells." *Am J Physiol* 1994;266:L672-80
- 70- Maniscalco WM, Sinkin RA, Watkins RH, et.al. "Transforming growth factor-beta modulates type II cell fibronectin and surfactant protein C expression." *Am J Physiol* 1994;267:L569-77
- 71- Zhang K, Flanders KC, Phan SH. "Cellular localization of Transforming growth factor-beta expression in Bleomycine-induced pulmonary fibrosis." *Am J Pathol* 1995;147:352-61
- 72- Kanzler S, Lohse AW, Keil A, et.al. "TGF-beta1 in liver fibrosis: an inducible transgenic mouse model to study liver fibrogenesis." *Am J Physiol* 1999;276(39):G1059-68
- 73- Sun Y, Zhang JQ, Zhang J, et.al. "Cardiac remodeling by fibrous tissue after infarction in rats." *J Lab Clin Med* 2000;135:316-23

- 74- Yamazaki M, Minota S, Sakurai H, et.al. "Expression of Transforming Growth Factor-beta1 and its relation to endomysial fibrosis in Progressive Muscular Dystrophy." Am J Pathol 1994;144:221-6
- 75- Asakura S, Kato H, Fujino S, et.al. "Role of Transforming Growth Factor-beta1 and Decorin in development of central fibrosis in pulmonary adenocarcinoma." Hum Pathol 1999;30:195-8
- 76- Yang L, Qiu CX, Ludlow A, et.al. "Active Transforming Growth Factor-beta in Wound repair." Am J Pathol 1999;154:105-11
- 77- Wahl SM, Hunt DA, Wakefield LM, et.al. "Transforming growth factor type beta induces monocytes chemotaxis and growth factor production." Proc Natl Acad Sci USA 1987;84(16):5788-92
- 78- Roberts AB, Sporn MB, Assoian RK, et.al. "Transforming growth factor type beta: rapid induction of fibrosis and angiogenesis in vivo and stimulation of collagen formation in vitro." Proc Natl Acad Sci USA 1986;83(12):4167-71
- 79- Clark RA, McCoy GA, Folkvord JM, et.al. "TGF-beta 1 stimulates cultured human fibroblasts to proliferate and produce tissue-like fibroplasia: a fibronectin matrix-dependent event." J Cell Physiol 1997;170(1):69-80
- 80- Arora PD, Narani N, McCulloch CAG. "The compliance of collagen gels regulates Transforming Growth Factor-beta induction of alpha-smooth muscle actin in fibroblasts." Am J Pathol 1999;154:871-82
- 81- Chodon T, Sugihara T, Igawa HH, et.al. "Keloid derived fibroblasts are refractory to Fas-mediated apoptosis and neutralization of autocrine Transforming Growth Factor-beta1 can abrogate this resistance." Am J Pathol 2000;157:1661-9

- 82- Ahuja SS, Paliogianni F, Yamada H, et.al. "Effect of Transforming Growth Factor-beta on early and late activation events in human T cells." *J Immunol* 1993;150:3109-18
- 83- Kehrl JH, Wakefield LM, Roberts AB, et.al. "Production of transforming growth factor beta by human T lymphocytes and its potential role in the regulation of T cell growth." *J Exp Med* 1986;163(5):1037-50
- 84- Kekow J, Wachsman W, McCutchan JA, et.al. "Transforming growth factor beta and noncytopathic mechanisms of immunodeficiency in human immunodeficiency virus infection." *Proc Natl Acad Sci USA* 1990;87(21):8321-5
- 85- Espevik T, Figari IS, Ranges GE, et.al. "Transforming Growth Factor-beta 1 (TGF-beta1) and recombinant human tumor necrosis factor-alpha reciprocally regulate the generation of lymphokine-activated killer cell activity. Comparison between natural porcine platelet-derived TGF-beta 1 and TGF-beta 2, and recombinant human TGF-beta 1." *J Immunol* 1988;140(7):2312-6
- 86- Mule JJ, Schwarz SL, Roberts AB, et.al. "Transforming growth factor beta inhibits the in vitro generation of lymphokine-activated killer cells and cytotoxic T cells." *Cancer Immunol Immunother* 1988;26(2):95-100
- 87- Ranges GE, Figari IS, Espevik T, et.al. "Inhibition of cytotoxic T cell development by transforming growth factor beta and reversal by recombinant tumor necrosis factor alpha." *J Exp Med* 1987;166(4): 991-8
- 88- Tada T, Ohzeki S, Utsumi K, et.al. "Transforming growth factor beta induced inhibition of T cell function. Susceptibility difference in T cells of various phenotypes and functions and its relevance to

- immunosuppression in the tumor bearing state." J Immunol 1991;146(3):1077-82
- 89- Swain SL, Huston G, Tonkonogy S, et.al. "Transforming growth factor beta and IL-4 cause helper T cell precursors to develop into distinct effector helper cells that differ in lymphokine secretion pattern and cell surface phenotype." J Immunol 1991;147(9):2991-3000
- 90- Orthaldo JR, Mason AT, O'Shea JJ, et.al. "Mechanistic studies of transforming growth factor beta inhibition of IL-2 dependent activation of CD3- large granular lymphocyte functions. Regulation of IL-2R beta (p75) signal transduction." J Immunol 1991;146(11):3791-8
- 91- Kehrl JH, Roberts AB, Wakefield LM, et.al. "Transforming growth factor beta is an important immunomodulatory protein for human B lymphocytes." J Immunol 1986;137(12):3855-60
- 92- Ristow HJ. "BSC-1 growth inhibitor/type beta transforming growth factor is a strong inhibitor of thymocyte proliferation." Proc Natl Acad Sci USA 1986;83(15):5531-3
- 93- Toossi Z, Gogate P, Shiratsuchi H, et.al. "Enhanced production of TGF-beta by blood monocytes from patients with active tuberculosis and presence of TGF-beta in tuberculous granulomatous lung lesions." J Immunol 1995;154:465-73
- 94- Dlugovitzky D, Bay ML, Rateni L, et.al. "In vitro synthesis of interferon-gamma, interleukin-4, transforming growth factor-beta and interleukin-1- beta by peripheral blood mononuclear cells from tuberculosis patients: Relationship with the severity of pulmonary involvement." Scand J Immunol 1999;49:210-17

- 95- Toossi Z, Young TG, Averill LE, et.al. "Induction of transforming growth factor beta1 by purified protein derivative of *Mycobacterium tuberculosis*." *Infect Immun* 1995;63(1):224-8
- 96- Dahl KE, Shiratsuchi H, Hamilton BD, et.al. "Selective induction of transforming growth factor beta in human monocytes by lipoarabinomannan of *Mycobacterium tuberculosis*." *Infect Immun* 1996;64(2):399-405
- 97- Hirsch CS, Hussain R, Toossi Z, et.al. "Cross-modulation by transforming growth factor beta in human tuberculosis: suppression of antigen driven blastogenesis and interferon gamma production." *Proc Natl Acad Sci USA* 1996;16(8):3193-8
- 98- Bermudez LE. "Production of transforming growth factor beta by *Mycobacterium avium*-infected human macrophages is associated with unresponsiveness to IFN-gamma." *J Immunol* 1993;150:1838-45
- 99- Hirsch CS, Yoneda T, Averill L, et.al. "Enhancement of intracellular growth of *Mycobacterium tuberculosis* in human monocytes by transforming growth factor-beta 1." *J Infect Dis* 1994 Nov;170(5):1229-37
- 100- Somoskovi A, Zissel G, Zipfel PF, et.al. "Different cytokine patterns correlate with the extension of disease in pulmonary tuberculosis." *Eur Cytokine Netw* 1999;10(2):135-42
- 101- Othieno C, Hirsch CS, Hamilton BD, et.al. "Interaction of *Mycobacterium tuberculosis*-induced transforming growth factor-beta 1 and interleukin-10." *Infect Immun* 1999;67(11):5730-5
- 102- Warwick-Davies J, Lowrie DB, Cole PJ. "Selective deactivation of human monocyte functions by TGF-beta." *J Immunol* 1995;155(6):3186-93

- 103- Green SJ, Scheller LF, Marletta MA, et.al. "Nitric oxide: cytokine regulation of nitric oxide in host resistance to intracellular pathogens." Immunol Lett 1994;43(1-2):87-94
- 104- Owens MW, Milligan SA, Grisham MB. "Inhibition of rat pleural mesothelial cell nitric oxide synthesis by transforming growth factor-beta1." Inflammation 1996;20(6):637-46
- 105- Kwon OJ. "The role of nitric oxide in the immune response of tuberculosis." J Korean Med Sci 1997;12(6):481-7
- 106- Champsi J, Young LS, Bermudez LE. "Production of TNF-alpha, IL-6 and TGF-beta, and expression of receptors for TNF-alpha and IL-6, during murine *Mycobacterium avium* infection." Immunology 1995;84:549-54
- 107- Denis M, Ghadirian E. "Transforming growth factor beta (TGF-beta1) plays a detrimental role in the progression of experimental *Mycobacterium avium* infection; in vivo and in vitro evidence." Microbial Pathogenesis 1991;11:367-72
- 108- Hirsch CS, Ellner JJ, Blinkhorn R, et.al. "In vitro restoration of T cell responses in tuberculosis and augmentation of monocyte effector function against *Mycobacterium tuberculosis* by natural inhibitors of transforming growth factor beta." Proc Natl Acad Sci USA 1997;94(8):3926-31
- 109- Goletti D, Weissman D, Jackson RW, et.al. "The in vitro induction of Human Immunodeficiency Virus (HIV) replication in purified protein derivative-positive HIV-infected persons by recall antigen response to *Mycobacterium tuberculosis* is the result of a balance of the effects of endogenous interleukin-2 and proinflammatory and antiinflammatory cytokines." J Infect Dis 1998;177:1332-8

- 110- Shukla RR, Kumar A, Kimmel PL. "Transforming growth factor beta increases the expression of HIV-1 gene in transfected human mesangial cells." *Kidney Int* 1993;44(5):1022-9
- 111- Shiratsuchi H, Hamilton B, Toossi Z, et.al. "Evidence against a role for interleukin-10 in the regulation of growth of *Mycobacterium avium* in human monocytes." *J Infect Dis* 1996;173(2):410-7
- 112- Marshall BG, Wangoo A, Cook HT, et.al. "Increased inflammatory cytokines and new collagen formation in cutaneous tuberculosis and sarcoidosis." *Thorax* 1996;51:1253-61
- 113- Limper AH, Colby TV, Sanders MS, et.al. "Immunohistochemical localization of transforming growth factor-beta1 in the nonnecrotizing granulomas of pulmonary sarcoidosis." *Am J Respir Crit Care Med* 1994;149:197-204
- 114- Shigehara K, Shijubo N, Hirasawa M, et.al. "Immunolocalization of extracellular matrix proteins and integrins in sarcoid lymph nodes." *Virchows Arch* 1998;433:55-61
- 115- Maeda J, Ueki N, Ohkawa T, et.al. "Local production and localization of transforming growth factor-beta in tuberculous pleurisy." *Clin Exp Immunol* 1993;92:32-8
- 116- Helmut H, Popper MD, Huberta Klemen, et.al. "Presence of Mycobacterial DNA in Sarcoidosis." *Human Pathology* 1997;28(7):796-800
- 117- Wilsher ML, Menzies RE, Croxson MC. "Mycobacterium tuberculosis DNA in tissues affected by sarcoidosis." *Thorax* 1998;53:871-4

- 118- Ishige I, Usui Y, Takemura T, et.al. "Quantitative PCR of mycobacterial and propionibacterial DNA in lymph nodes of Japanese patients with sarcoidosis." Lancet 1999;354:120-3
- 119- Sinkin RA, LoMonaco MB, Finkelstein JN, et.al. "Increased fibronectin mRNA in alveolar macrophages following in vivo hyperoxia." Am J Respir Cell Mol Biol 1992;7(5):548-55
- 120- Cordier G, Cozon G, Greenland T, et.al. "In vivo activation of alveolar macrophages in ovine lentivirus infection." Clin Immunol Immunopathol 1990;55(3):355-67
- 121- Villiger B, McDonald JA. "Fibronectin: an important component of bronchoalveolar defense?" Schweiz Med Wochenschr 1983;113(3):102-3
- 122- Oishi K, Yamamoto M, Yoshida T, et.al. "Opsonic activity of plasma fibronectin for *Staphylococcus aureus* by human alveolar macrophages: inefficacy of trypsin sensitive staphylococcal fibronectin receptor." Tohoku J Exp Med 1986;149(1):95-102
- 123- Kinsella MB, Smith EA, Miller KS, et.al. "Spontaneous production of fibronectin by alveolar macrophages in patients with scleroderma." Arthritis Rheum 1989;32(5):577-83
- 124- Spiteri MA, Clarke SW, Poulter LW. "Alveolar macrophages that suppress T-cell responses may be crucial to the pathogenetic outcome of pulmonary sarcoidosis." Eur Respir J 1992;5(4):394-403
- 125- Mert A, Bilir M, Ozaras R, et.al. "Miliary tuberculosis: Clinical manifestations, diagnosis and outcome in 38 adults." Respirology 2001;6(3):217-24